





دانشکده: فیزیک

گروه: حالت جامد

رشد و مشخصه یابی لایه های نازک اکسید کادمیوم ایندیوم

دانشجو: محمود زاهدی

اساتید راهنما:

دکتر مرتضی ایزدی فرد

دکتر محمد ابراهیم قاضی

استاد مشاور:

دکتر بهرام بهرامیان

پایان نامه ارشد جهت اخذ درجه کارشناسی ارشد

شهریور ۱۳۹۰

دانشگاه صنعتی شاهرود

دانشکده: فیزیک

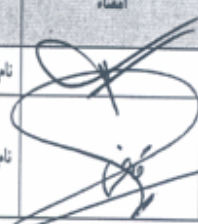
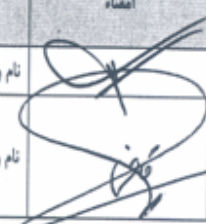
پایان نامه ارشد محمود زاهدی

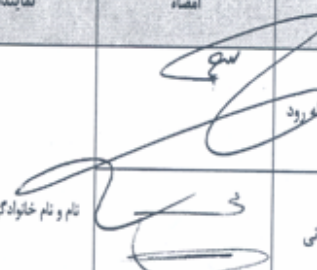
تحت عنوان:

CdIn₂O₄ رشد و مشخصه یابی لایه های نازک

در تاریخ ۳۱/۰۶/۹۰ توسط کمیته تخصصی زیر جهت اخذ مدرک کارشناسی ارشد مورد ارزیابی و با

درجه پس از درجه مورد پذیرش قرار گرفت.

اعضا	اساتید مشاور:	اعضا	اساتید راهنمای
	نام و نام خانوادگی: دکتر بهرام بهرامیان		نام و نام خانوادگی: دکتر مرتضی ایزدی فرد
	نام و نام خانوادگی: دکتر محمد ابراهیم قاشقایی		نام و نام خانوادگی: دکتر سعید حسامی پیغمبر

اعضا	نماینده تحصیلات تکمیلی	اعضا	اساتید داور:
			نام و نام خانوادگی: دکتر سعید حسامی پیغمبر
	نام و نام خانوادگی: دکتر حسین توکلی عثیران		نام و نام خانوادگی: دکتر محمد باقر رحمانی
			نام و نام خانوادگی:
			نام و نام خانوادگی:

به نام، همی، بخش زیبا و زیبا، بخش، همی

حمد خدای را که اول به آثار، همی اوست و قبل از او اوکی نبوده، آنراست بی آنکه پس از او آخوند باشد.

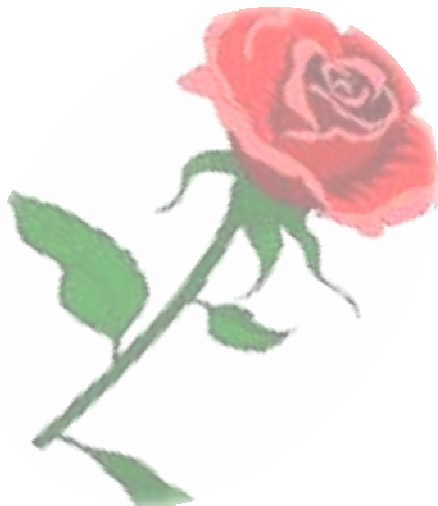
به نام خداوندی که پر و مادر امانت و نعمت قرار داد و بر سرفزندانشان ارزانی داشت،

بپاس تعبیر عظیم و انسانی شان از گلمه بیار و از خود گذشتگی، بپاس عالجه سرشار و کرمای امید بخش وجودشان که در این سرمه ترین روزگاران بهترین پیشیان است، بپاس قلب های

بزرگشان که فریادرس است و بپاس محبت های بی دریشان که هرگز فروکش نمی کند،

این مجموعه را بپر و مادر عزیزم تقدیم می کنم.

و تقدیم به همسر محب بانم که هواره حامی من بوده است و یاریکری صبور دکنارم.



تقدیر و تشکر

نگارنده بر خود می‌داند از تلاش‌های بی‌وقفه و راهنمایی‌های ارزشمند استاد گرامی جناب آقای دکتر مرتضی ایزدی فرد و جناب آقای دکتر محمد ابراهیم قاضی و همچنین استاد مشاور جناب آقای دکتر بهرام بهرامیان در راستای انجام این پایان نامه، تشکر و قدردانی نماید.

از همه استاد بزرگواری که در این سالهای پر مشقت از محضرشان فیض برده و همچنین از استاد ارجمند جناب آقای دکتر رحمانی و دکتر حسامی که داوری این پایان نامه را تقبل نموده اند صمیمانه تشکر می‌نمایم.

وقداران همه دوستانی که مرا یاری نموده اند می‌باشم.
از درگاه خداوند منان برای همه این عزیزان عاقبت به خیری و عافیت، مستلت دارم.



تعهد نامه

اینجانب محمود زاهدی دانشجوی دوره کارشناسی ارشد رشته فیزیک-حالت جامد دانشکده فیزیک دانشگاه صنعتی شاهرود نویسنده پایان نامه: رشد و مشخصه یابی لایه های نازک اکسید کادمیوم ایندیوم تحت راهنمائی دکتر مرتضی ایزدی فرد و دکتر محمد ابراهیم قاضی و مشاوره دکتر بهرام بهرامیان معهد می شوم:

- تحقیقات در این پایان نامه توسط اینجانب انجام شده است و از صحت و اصالت برخوردار است.
- در استفاده از نتایج پژوهش‌های محققان دیگر به مرجع مورد استفاده استناد شده است.
- مطالب مندرج در پایان نامه تاکنون توسط خود یا فرد دیگری برای دریافت هیچ نوع مدرک یا امتیازی در هیچ جا ارائه نشده است.
- کلیه حقوق معنوی این اثر متعلق به دانشگاه صنعتی شاهرود می باشد و مقالات مستخرج با نام «دانشگاه صنعتی شاهرود» و یا «Shahrood University of Technology» به چاپ خواهد رسید.
- حقوق معنوی تمام افرادی که در به دست آمدن نتایج اصلی پایان نامه تأثیرگذار بوده اند در مقالات مستخرج از پایان نامه رعایت می گردد.
- در کلیه مراحل انجام این پایان نامه ، در مواردی که از موجود زنده (یا باقتهای آنها) استفاده شده است ضوابط و اصول اخلاقی رعایت شده است.
- در کلیه مراحل انجام این پایان نامه، در مواردی که به حوزه اطلاعات شخصی افراد دسترسی یافته یا استفاده شده است اصل رازداری ، ضوابط و اصول اخلاق انسانی رعایت شده است.

تاریخ

امضا دانشجو

مالکیت نتایج و حق نشر

- کلیه حقوق معنوی این اثر و محصولات آن (مقالات مستخرج ، کتاب ، برنامه های رایانه ای ، نرم افزار ها و تجهیزات ساخته شده است) متعلق به دانشگاه صنعتی شاهرود می باشد . این مطلب باید به نحو مقتضی در تولیدات علمی مربوطه ذکر شود.
- استفاده از اطلاعات و نتایج موجود در پایان نامه بدون ذکر مرجع مجاز نمی باشد.

چکیده

در این تحقیق تجربی لایه های نازک اکسید کادمیوم ایندیوم ($CdIn_2O_4$) برروی زیرلایه های شیشه ای، به روش سل-ژل و با تکنیکهای غوطه وری و چرخشی و نیز با روش تجزیه گرمایی افشاره ای تهیه شده و همچنین نمونه های پودری به روش سل-ژل تهیه شدند. خواص اپتیکی و ساختاری لایه های نازک و نمونه های پودری اکسید کادمیوم ایندیوم مورد بررسی قرار گرفت. برای آنالیز لایه ها و پودرهای به دست آمده از اندازه گیری پراش پرتو ایکس، بیناب نمایی نوری فرابنفش - مرئی و میکروسکوپ الکترونی روبشی گسیل میدان استفاده گردید.

لایه های نازک تهیه شده با تکنیکهای غوطه وری و چرخشی با تعداد دفعات متفاوت لایه نشانی تهیه و در دماهای مختلف $^{\circ}C$ ۳۰۰ تا $^{\circ}C$ ۴۵۰ به مدت یک ساعت تحت عملیات بازپخت قرار گرفتند. برای تهیه نمونه های پودری به روش سل-ژل نیز، عملیات بازپخت در دماهای $^{\circ}C$ ۷۰۰ تا $^{\circ}C$ ۹۰۰ برای مدت ۲ ساعت انجام پذیرفت. همچنین برای نمونه های رشد داده شده به روش تجزیه گرمایی افشاره ای، اثر دمای بازپخت در دماهای متفاوت $^{\circ}C$ ۳۵۰ الی $^{\circ}C$ ۴۵۰ و اثر غلظت محلول مورد بررسی قرار گرفت. با استفاده از طیف پراش اشعه ایکس، برای همه نمونه ها تشکیل ساختار بلوری مکعبی با راستای ترجیحی (۳۱۱) نشان داده شد. همچنین طیف تراگسیل اپتیکی نمونه ها، به طور کل با افزایش دمای بازپخت، افزایش میزان عبور را نشان داد و با افزایش غلظت میزان عبور کاهش یافته است. همچنین عبور متوسط نمونه های خشک سازی شده توسط لامپ IR اندکی بیشتر از نمونه های خشک سازی شده با کوره الکتریکی بوده است. تصاویر ثبت شده از FESEM نشان داد که برای لایه های نازک رشد داده شده و نمونه های پودری، در دمای بهینه بلورینگی بهتر و نمونه یکنواخت تر می باشد.

کلید واژه ها : اکسید کادمیوم ایندیوم ($CdIn_2O_4$), لایه نازک، پودر، سل-ژل، تجزیه گرمایی افشاره ای.

لیست مقالات مستخرج از پایان نامه

۱. محمود زاهدی، مرتضی ایزدی فرد، محمدابراهیم قاضی، بهرام بهرامیان "بررسی اثر دمای بازپخت برروی خواص ساختاری و اپتیکی لایه های نازک اکسید کادمیوم ایندیوم رشد داده شده به روش سل- ژل" نوزدهمین همایش بلورشناسی و کانی شناسی ایران، دانشگاه گلستان(گرگان)، سال ۱۳۹۰

فهرست مطالب

صفحه

فهرست عنوان

فصل اول: معرفی لایه نشانی به روش سل - ژل و کاربردهای آن

۲	۱-۱- مقدمه
۲	۲-۱- مراحل تشکیل یک لایه نازک
۴	۱-۲-۱- رشد لایه به لایه
۴	۲-۲-۱- هسته بندی سه بعدی، تشکیل، رشد و به هم پیوستن جزیره ها
۴	۳-۲-۱- جذب سطحی تک لایه و بسته بندی بعدی روی این لایه
۵	۳-۲-۱- روش های ساخت لایه های نازک
۷	۴-۱- مقدمه ای بر روش سل - ژل
۸	۱-۵- مفاهیم اساسی در روش سل - ژل
۱۱	۱-۵-۱- ژلاسیون
۱۴	۲-۵-۱- طول عمر سل
۱۴	۳-۵-۱- خشک سازی
۱۵	۶-۱- تکنیک های مختلف روش سل - ژل
۱۵	۱-۶-۱- تکنیک غوطه وری
۱۸	۲-۶-۱- تکنیک چرخشی
۲۰	۳-۶-۱- تکنیک اسپری
۲۱	۴-۶-۱- تکنیک روان شدگی (آبشاری)
۲۱	۵-۶-۱- لایه نشانی با کمک تکنیک موینگی
۲۲	۶-۶-۱- تکنیک چاپی
۲۳	۷-۶-۱- تکنیک الکتروفورز
۲۴	۸-۶-۱- تکنیک ترموفورز
۲۴	۷-۱- کاربردهای روش سل - ژل

فصل دوم: روشهای آنالیز و مشخصه یابی نمونه ها

۲۶	۱-۲- مقدمه
۲۶	۲-۲- مشخصه یابی ساختاری
۲۶	۱-۲-۲- طرح پراش اشعه ایکس (XRD)
۲۹	۳-۲- مشخصه یابی اپتیکی
۲۹	۱-۳-۲- مقدمه
۳۰	۲-۳-۲- روش توزین

۳۰	۲-۳-۳-۲- روش های الکتریکی
۳۰	۲-۳-۴- روش های اپتیکی
۳۰	۲-۳-۴-۱- روش های مبتنی بر اندازه گیری ضریب جذب نور
۳۱	۲-۳-۴-۲- روش های تداخلی
۳۱	۲-۳-۴-۳- روش قطبش سنجی (بیضی سنجی)
۳۲	۲-۳-۴-۵- اندازه گیری آهنگ رونشانی با استفاده از انتقال تکانه
۳۲	۲-۳-۶- روش های مخصوص دیده بانی ضخامت
۳۲	۲-۳-۷- پدیده های بنیادی دانش نور
۳۷	۲-۳-۸-۱- دامنه های امواج بازتابش و تراگسیل
۴۰	۲-۳-۸- ضرایب عبور و بازتاب یک تیغه در هوا
۴۲	۲-۳-۹- تعیین ضرایب عبور و بازتاب سیستم لایه نازک - تیغه
۴۳	۲-۳-۱۰- روش های تعیین ثوابت اپتیکی لایه های نازک با استفاده از اندازه گیری های تراگسیل
۴۴	۲-۳-۱۰-۱- استفاده از دو اندازه گیری مستقل
۴۴	۲-۳-۱۰-۲- برازش روابط پراکندگی
۴۹	۲-۳-۱۰-۳- استفاده از اندازه گیری های مجازی
۵۱	۲-۳-۱۱- تعیین ثوابت اپتیکی لایه های نازک با استفاده از روش پوش منحنی (سوان پول)
۶۰	۲-۳-۱۲- روش بهینه سازی چامبولیرون
۶۱	۲-۴- مورفولوژی
۶۱	۲-۴-۱- میکروسکوپ های الکترونی
۶۱	۲-۴-۱-۱- میکروسکوپ های الکترونی عبوری
۶۲	۲-۴-۲- میکروسکوپ های الکترونی روبشی
۶۵	۲-۴-۳-۱- ویژگی های میکروسکوپ های الکترونی TEM و SEM
	فصل سوم: بررسی خواص اکسید کادمیوم ایندیوم
۶۷	۳-۱- مقدمه
۶۸	۳-۲- آشنایی با پیش ماده های اصلی $CdIn_2O_4$
۶۸	۳-۲-۱- کادمیوم و اکسید کادمیوم
۶۸	۳-۲-۲- ایندیوم و اکسید ایندیوم
۶۹	۳-۳- کاربردهای اکسید کادمیوم ایندیوم
۶۹	۳-۱-۳- سلول های خورشیدی
۷۱	۳-۲-۳- پنجره های اپتیکی
۷۱	۳-۳-۳- حسگرهای گازی

۷۲	- بررسی خواص ساختاری و اپتیکی اکسید کادمیوم ایندیوم
۷۲	۱-۴-۳ - بررسی طیف های XRD در نمونه های $CdIn_2O_4$
۸۰	۲-۴-۳ - بررسی تصاویر SEM در لایه های $CdIn_2O_4$
۸۴	۳-۴-۳ - بررسی خواص اپتیکی لایه های $CdIn_2O_4$
فصل چهارم: بررسی خواص فیزیکی نمونه های سنتز شده اکسید کادمیوم ایندیوم	
۹۰	۱-۴ - مقدمه
۹۰	۲-۴ - رشد لایه های نازک اکسید کادمیوم ایندیوم ($CdIn_2O_4$)
۹۰	۱-۲-۴ - نقش زیرلایه در تهیه لایه های نازک و نحوه آماده سازی آن
۹۲	۲-۲-۴ - نحوه محلول سازی و تهیه سل اولیه
۹۳	۳-۲-۴ - روش تهیه لایه های نازک اکسید کادمیوم ایندیوم ($CdIn_2O_4$)
۹۴	۴-۳ - مطالعه خواص فیزیکی لایه های نازک $CdIn_2O_4$ تهیه شده به روش چرخشی
۹۴	۱-۳-۴ - بررسی خواص ساختاری
۹۶	۲-۳-۴ - مورفولوژی نمونه ها
۹۸	۳-۳-۴ - بررسی خواص اپتیکی نمونه ها
۴-۴ - مطالعه خواص فیزیکی اثر بازپخت در دماهای متفاوت لایه های نازک $CdIn_2O_4$ تهیه شده	
۱۰۳	به روش چرخشی
۱۰۳	۱-۴-۴ - بررسی خواص ساختاری لایه ها
۱۰۶	۲-۴-۴ - بررسی مورفولوژی نمونه ها
۱۰۸	۳-۴-۴ - بررسی خواص اپتیکی
۱۱۲	۴-۵ - مطالعه خواص فیزیکی لایه های نازک $CdIn_2O_4$ تهیه شده به روش غوطه وری
۱۱۲	۱-۵-۴ - بررسی خواص ساختاری لایه ها
۱۱۴	۲-۵-۴ - بررسی خواص اپتیکی نمونه ها
۴-۶ - مطالعه خواص فیزیکی اثر بازپخت در دماهای متفاوت لایه های نازک $CdIn_2O_4$ تهیه شده	
۱۱۷	به روش غوطه وری
۱۱۷	۱-۶-۴ - بررسی خواص ساختاری نمونه ها
۱۱۹	۲-۶-۴ - بررسی خواص اپتیکی نمونه ها
۱۲۲	۴-۷ - بررسی اثر فرآیند خشک سازی بر کیفیت اپتیکی و مورفولوژی نمونه ها
۱۲۵	۸-۴ - چگونگی تهیه پودرهای اکسید کادمیوم ایندیوم ($CdIn_2O_4$)
۱۲۶	۱-۸-۴ - بررسی خواص ساختاری پودرهای اکسید کادمیوم ایندیوم ($CdIn_2O_4$)
۱۲۷	۲-۸-۴ - بررسی مورفولوژی پودرهای تهیه شده به روش سل - ژل
۱۲۹	۹-۴ - تهیه لایه های نازک اکسید کادمیوم ایندیوم ($CdIn_2O_4$) به روش تجزیه گرمای افشنانه ای

- ۱۳۰-۱-۹-۴- بررسی خواص ساختاری نمونه ها با استفاده از تصاویر FESEM
- ۱۳۲-۱-۱-۹-۴- بررسی خواص اپتیکی نمونه ها
- ۱۳۴-۲-۹-۴- بررسی اثر تغییر غلظت بر خواص لایه های نازک اکسید کادمیوم ایندیوم
- ۱۳۶-۱-۲-۹-۴- مورفولوژی سطح لایه ها
- ۱۳۷-۲-۲-۹-۴- بررسی خواص اپتیکی نمونه ها
- ۱۴۱-۱۰-۴- نتیجه گیری
- ۱۴۵- مراجع

فهرست شکل ها

صفحه

فهرست عنوان

۳	شکل (۱-۱) - موقعیت های مختلف اتمها بر روی سطح
۳	شکل (۲-۱) - تغییرات انرژی برهمنکنی اتمها در سطح
۴	شکل (۳-۱) - رشد لایه به لایه
۴	شکل (۴-۱) - رشد جزیره ای
۴	شکل (۵-۱) - جذب سطحی تک لایه و هسته بندی بعدی روی این لایه
۶	شکل (۱-۵-۱) - تقسیم بندی روش های لایه نشانی براساس ضخامت
۹	شکل (۶-۱) - (الف) ژل کلوئیدی، (ب) ژل پلیمری
۱۱	شکل (۷-۱) - طرح شماتیک فرایند سل-ژل
۱۲	شکل (۸-۱) - واکنش هیدرولیز
۱۳	شکل (۹-۱) - واکنش چگالش
۱۶	شکل (۱۰-۱) - نمایی کلی از مراحل مختلف تکنیک غوطه وری
۱۷	شکل (۱۱-۱) - حالت پایدار مراحل رسوب گذاری
۱۸	شکل (۱۲-۱) - نمایی از روش غوطه وری زاویه ای
۲۰	شکل (۱۳-۱) - مراحل مختلف تکنیک چرخشی
۲۰	شکل (۱۴-۱) - نمایی از لایه نشانی با کمک اسپری
۲۱	شکل (۱۵-۱) - نمایی از لایه نشانی به کمک تکنیک روان شدگی (آبشاری)
۲۲	شکل (۱۶-۱) - نمایی از لایه نشانی به کمک تکنیک مویینگی
۲۳	شکل (۱۷-۱) - نمایی از لایه نشانی به کمک تکنیک چاپی
۲۳	شکل (۱۸-۱) - طرح شماتیکی از سیستم لایه نشانی به روش الکتروفورز
۲۷	شکل (۱-۲) - نمای شماتیک از طرح پراش
۲۸	شکل (۲-۲) - عکسی از دستگاه پراش پرتو X مدل B8-advance Bruker axs
۳۲	شکل (۳-۲) - نمایی از روش کار دستگاه مربوط به آنالیز بیضی سنجی
۳۵	شکل (۴-۲) - رابطه بین میدان های تابش و عبوری برای یک قطبیگر خطی
۳۶	شکل (۵-۲) - بردارهای موج برای نور تابشی بر مرز جدایی دو محیط نوری متفاوت
۳۶	شکل (۶-۲) - دستگاه مختصات برای تحلیل بازتابش و شکست در یک مرز تخت
۳۸	شکل (۷-۲الف) - بردارهای موج و میدان های مربوطه برای قطبش TE
۳۸	شکل (۷-۲ب) - بردارهای موج و میدان های مربوطه برای قطبش TM
۴۰	شکل (۸-۲) - پرتو های عبوری و بازتابی از یک تیغه قرار گرفته در هوا
۴۲	شکل (۹-۲) - پرتو های عبوری و بازتابی از سیستم لایه - زیرلایه
۵۲	شکل (۱۰-۲) - سیستم یک فیلم نازک جاذب روی یک زیر لایه شفاف متناهی ضخیم

- شکل (۱۱-۲) - نمایی از طیف عبور یاز فیلم و زیر لایه
شکل (۱۲-۲) - (الف) نمایی از میکروسکوپ FESEM موجود در دانشکده فنی دانشگاه تهران
(ب) نمایی از اجزاء داخلی مسیر عبور باریکه الکترونی تا محل نمونه
- شکل (۱۳-۲) - شماتیک کار میکروسکوپ الکترونی SEM
- شکل (۱۳-۲-ب) - شماتیک کار میکروسکوپ الکترونی TEM
- شکل (۱-۳)- نمای شماتیک اکسید کادمیوم ایندیوم ($CdIn_2O_4$)
- شکل (۲-۳)- طرح پراش پرتو X برای نمونه های ($CdIn_2O_4$) (الف) بدون بازپخت(ب) بازپخت شده
- شکل (۳-۳)- طرح پراش پرتو X لایه های نازک ($CdIn_2O_4$) بازپخت شده در دمای $400^{\circ}C$ برای مدت ۶۰ دقیقه
- شکل (۴-۳)- طیف پراش پرتو X نمونه های (In_2O_3)_{1-x} با مقادیر x متفاوت
- شکل (۵-۳)- طیف پراش پرتو X نمونه های $CdIn_2O_4$ با $x=0/100$ بازپخت شده در دماها و زمانهای مختلف
- شکل (۶-۳)- طیف پراش پرتو X نمونه های بدون بازپخت و بازپخت شده (الف) با دمای زیرلایه $250^{\circ}C$ (ب) با دمای زیرلایه $160^{\circ}C$
- شکل (۷-۳)- طرح پراش اشعه X از پودر ($CdIn_2O_4$) بازپخت شده در دماهای مختلف
- شکل (۸-۳)- طیف ترکیب اکسید کادمیوم با اکسید ایندیوم پس از بازپخت در دماهای مختلف به مدت ۲ ساعت
- شکل (۹-۳)- تصاویر SEM سطح نمونه های بازپخت شده در دماهای $600^{\circ}C$, $700^{\circ}C$, $800^{\circ}C$ و $900^{\circ}C$ درجه سانتی گراد
- شکل (۱۰-۳)- تصاویر SEM پودر CdO آمیخته با پودر In_2O_3 (الف) قبل از خشک سازی و بعد از خشک سازی در دماهای (ب) $650^{\circ}C$ و (ج) $750^{\circ}C$ و (د) $850^{\circ}C$
- شکل (۱۱-۳-الف)- تصاویر SEM نمونه های بدون بازپخت با فاصله نازل تا زیرلایه (الف) 26 cm (ب) 28 cm (ج) 30 cm (د) 32 cm
- شکل (۱۱-۳-ب)- تصاویر SEM نمونه های بازپخت شده با فاصله نازل تا زیرلایه (الف) 26 cm (ب) 28 cm (ج) 30 cm (د) 32 cm
- شکل (۱۲-۳)- طیف تراگسیل نمونه های (In_2O_3)_{1-x} با مقادیر x متفاوت (در شکل ضمیمه میانگین عبور در ناحیه نور مرئی و مادون قرمز نشان داده شده است)
- شکل (۱۳-۳)- طیف تراگسیل اپتیکی نمونه های اکسید کادمیوم ایندیوم بازپخت شده در دماهای مختلف به مدت ۱۵ دقیقه
- شکل (۱۴-۳)- طیف تراگسیل اپتیکی نمونه های اکسید کادمیوم ایندیوم بازپخت شده در دمای $300^{\circ}C$ به مدت ۱۵ دقیقه

- شکل (۱۵-۳)- طیف عبور نمونه های اکسید کادمیوم ایندیوم بدون بازپخت (NA) و بازپخت
شده در خلاء (VA)
شکل (۱۶-۳)- منحنی های میزان عبور بر حسب طول موج نمونه های تهیه شده با فاصله های
متفاوت نازل تا زیرلایه
- شکل (۱-۴)- طیف های پراش پرتو ایکس نمونه های 3S400 و 5S400
شکل (۲-۴)- نمودار ویلیامسون - هال برای نمونه های (الف) 3S400، (ب) 5S400 و (ج) 7S400
- شکل (۳-۴)- تصاویر FESEM نمونه ها
- شکل (۴-۴)- طیف تراگسیل اپتیکی نمونه ها در بازه طول موجی ۳۵۰ تا ۱۱۰۰ نانومتر
- شکل (۵-۴)- ضریب جذب برای نمونه ها
- شکل (۶-۴)- تغییرات گاف نواری بر حسب انزی فوتون برای نمونه های 3S400 و 5S400
شکل (۷-۴)- نمودار تغییرات ضریب شکست بر حسب طول موج مربوط به نمونه های 3S400 و 5S400
شکل (۸-۴)- نمودار تغییرات ضریب خاموشی بر حسب طول موج مربوط به نمونه های 3S400 و 5S400
شکل (۹-۴)- طیف های پراش پرتو ایکس نمونه های (الف) بدون بازپخت (ب) بازپخت شده
- شکل (۱۰-۴)- تصاویر FESEM نمونه های بازپخت نشده (unannealed) و بازپخت شده در
دهماهی متفاوت
- شکل (۱۱-۴)- طیف تراگسیل اپتیکی نمونه های بازپخت شده
- شکل (۱۲-۴)- نمودار ضریب جذب نمونه های بازپخت شده
- شکل (۱۳-۴)- تغییرات و مقادیر گاف نواری بر حسب انرژی فوتون برای نمونه های بازپخت شده
- شکل (۱۴-۴)- تغییرات ضریب شکست برای نمونه های 5S300، 5S350، 5S400 و 5S450
- شکل (۱۵-۴)- میزان تغییرات ضریب خاموشی برای نمونه های 5S300، 5S350 و 5S400 و 5S450
- شکل (۱۶-۴)- طیف های پراش پرتو ایکس نمونه های 3D400 و 5D400
- شکل (۱۷-۴)- طیف های تراگسیل اپتیکی نمونه های 3D400 و 5D400
- شکل (۱۸-۴)- ضریب جذب لایه های انباست شده به روش غوطه وری با تعداد دفعات متفاوت
- شکل (۱۹-۴)- ضریب خاموشی لایه های انباست شده به روش غوطه وری با تعداد دفعات
متفاوت
- شکل (۲۰-۴)- مقادیر گاف نواری لایه های انباست شده به روش غوطه وری با تعداد دفعات
متفاوت
- شکل (۲۱-۴)- طیف پراش پرتو ایکس نمونه های بازپخت شده در دهماهی ۳۰۰، ۳۵۰ و ۴۰۰
درجه سانتی گراد ۴۵۰

- شکل (۲۲-۴)- طیف های تراگسیل اپتیکی نمونه های ۵D300، ۵D350 و ۵D400
- شکل (۲۳-۴-الف)- ضریب جذب بر حسب طول موج نمونه های ۵D300، ۵D350 و ۵D400
- شکل (۲۳-۴-ب)- $(\alpha h\nu)^2$ بر حسب انرژی نمونه های ۵D300، ۵D350 و ۵D400
- شکل (۲۴-۴)- منحنی ضریب شکست بر حسب طول موج برای نمونه های ۵D300، ۵D350 و ۵D400
- شکل (۲۵-۴)- طیف تراگسیل عبوری مربوط به دو نمونه خشک سازی شده به روش لامپ IR و کوره
- شکل (۲۶-۴)- مقادیر گاف نواری نمونه های خشک سازی شده به روش لامپ IR و کوره
- شکل (۲۷-۴)- تصاویر FESEM مربوط به نمونه های خشک سازی شده به روش لامپ IR و کوره
- شکل (۲۹-۴)- طیف های پراش پرتو ایکس نمونه های پودری بازپخت شده در دماهای ۷۰۰°C و ۹۰۰°C (ج) و (د)
- شکل (۳۰-۴)- تصاویر FESEM نمونه های پودری بازپخت شده در دماهای ۷۰۰°C و (ج)
- شکل (۳۱-۴)- تصاویر FESEM نمونه های بازپخت شده در دماهای متفاوت
- شکل (۳۲-۴)- طیف تراگسیل نمونه های تهیه شده به روش تجزیه گرمایی افشاره ای پس از بازپخت
- شکل (۳۳-۴)- ضریب جذب نمونه های تهیه شده به روش تجزیه گرمایی افشاره ای پس از بازپخت
- شکل (۳۴-۴)- منحنی $(\alpha h\nu)^2$ بر حسب انرژی و مقادیر گاف نواری نمونه های تهیه شده به روش تجزیه گرمایی افشاره ای پس از بازپخت
- شکل (۳۵-۴)- تصاویر FESEM نمونه های بازپخت شده با غلظت های مختلف
- شکل (۳۶-۴)- طیف تراگسیل نمونه های تهیه شده به روش تجزیه گرمایی افشاره ای با غلظت های متفاوت پس از بازپخت
- شکل (۳۷-۴)- ضریب جذب نمونه های تهیه شده به روش تجزیه گرمایی افشاره ای با غلظت های $r = 0.025$ ، $r = 0.050$ و $r = 0.125$
- شکل (۳۷-۴)- میزان تغییرات گاف نواری در نمونه های تهیه شده به روش تجزیه گرمایی افشاره ای با غلظت های $r = 0.025$ ، $r = 0.050$ و $r = 0.125$

فهرست جداول

فهرست عنوان

صفحه

جدول (۱-۴)- اندازه بلورکها و کرنش در نمونه ها که با استفاده از رابطه ویلیامسون-هال محاسبه شده است.	۹۶
جدول (۲-۴)- ثابت شبکه نمونه ها با استفاده از روابط (۱-۲) و (۲-۲-الف) محاسبه شده است.	۹۶
جدول (۳-۴)- مقدار ضخامت t برای نمونه ها	۹۹
جدول (۴-۴)- اندازه بلورکها و کرنش با استفاده از رابطه ویلیامسون- هال برای نمونه های بازپخت شده	۱۰۵
جدول (۵-۴)- اندازه بلورکها با استفاده از رابطه دبای شر برای قله ناشی از پراش صفحات (۳۱۱) برای نمونه ها	۱۱۳
جدول (۶-۴)- اندازه متوسط بلورکها و میزان کرنش با استفاده از رابطه ویلیامسون - هال برای نمونه های بازپخت شده در دماهای ۳۰۰، ۳۵۰، ۴۰۰ و ۴۵۰ درجه سانتی گراد	۱۱۹
جدول (۷-۴)- میزان ضخامت نمونه های تهیه شده به روش تجزیه گرمایی افشاره ای پس از بازپخت	۱۳۳
جدول (۸-۴)- مقادیر استات کادمیوم و استات ایندیوم با غلظت های متفاوت در محلول $CdIn_2O_4$	۱۳۵
جدول (۹-۴) - ضخامت نمونه های بازپخت شده با غلظت های متفاوت	۱۳۹

فصل اول

معرفی لایه نشانی به روش سل - ژل و کاربردهای آن

۱-۱- مقدمه

به پوششی از یک ماده که بر روی یک زیر لایه سبب ایجاد خواص فیزیکی، مکانیکی و الکتریکی جدیدی می‌گردد، لایه گفته می‌شود. این خصوصیات به ماده حجمی تشکیل دهنده لایه و زیر لایه مربوط نمی‌شود [۱]. اگر لایه نازکی از یک ماده را در نظر بگیریم، با وضعی مواجه هستیم که در آن دو سطح آنقدر به هم نزدیکند که این می‌تواند تأثیر به سزاپی روی خواص فیزیکی ماده داشته باشد که آنرا کاملاً از حالت کپه ای این ماده متمایز کند، لایه هارامی توان بر اساس ویژگی های فیزیکی، مکانیکی والکتریکی خود دسته بندی کرد، به عنوان مثال براساس میزان رسانندگی، لایه های نازک را می‌توان به سه دسته عمدۀ تقسیم کرد [۱]، لایه های رسانا، لایه های نیمرسانا و لایه های عایق. از ابتدای این قرن ویژگی های الکتریکی لایه های نازک، از اندازه گیری رسانایی گرفته تا مطالعه ابرسانایی و همچنین گسیل الکترون از آنها مورد بررسی قرار گرفته است [۱]، این پژوهش ها در سالهای اخیر پیشرفت سریعی داشته اند.

همچنین بر اساس ضخامت، می‌توان لایه هارا به سه گروه تقسیم نمود [۱]:

الف) لایه های ضخیم که ضخامتی در حدود میلیمتر دارند.

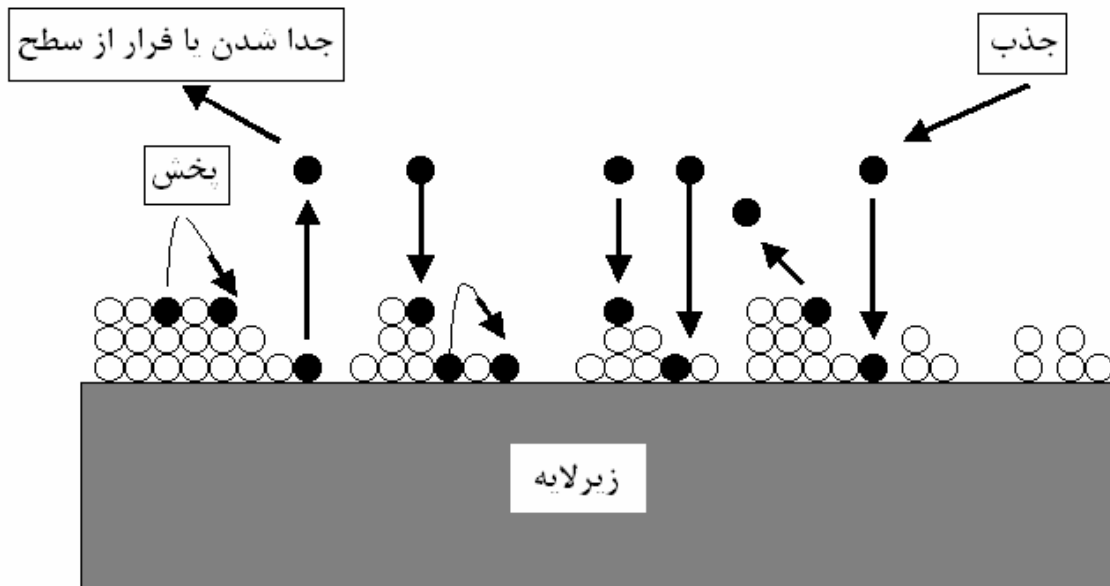
ب) لایه های نازک که ضخامتی در حدود میکرون دارند.

ج) لایه های خیلی نازک که ضخامت آنها در حدود هزار میکرون است.

۲-۱- مراحل تشکیل یک لایه نازک

به منظور تشکیل یک لایه نازک در ابتدا باید اتم ها و یا مولکولهای ماده مورد نظر به طریقی از چشم به زیر لایه منتقل شوند. همانطور که در شکل (۱-۱) بطور شماتیک نشان داده شده است. این اتم ها ممکن است روی زیر لایه در موقعیت های مختلفی قرار گیرند این اتم ها می‌توانند توسط سطح جذب شوند، در این حالت، ابتدا اتم ها مدتی بر روی سطح حرکت می‌کنند تا انرژی خود را به سطح داده و نهایتاً در مکانی متوقف شوند. همچنین می‌توانند پس از برخورد با سطح از روی سطح جدا

شوند. اتم هایی که روی سطح مستقر شده اند با یکدیگر تشکیل خوشه های بزرگتری را می دهند که البته این خوشه ها با بزرگتر شدن می توانند منجر به تشکیل هسته های پایداری شوند. در مرحله بعد هسته ها رشد کرده و جزایر را تشکیل می دهند [۱].

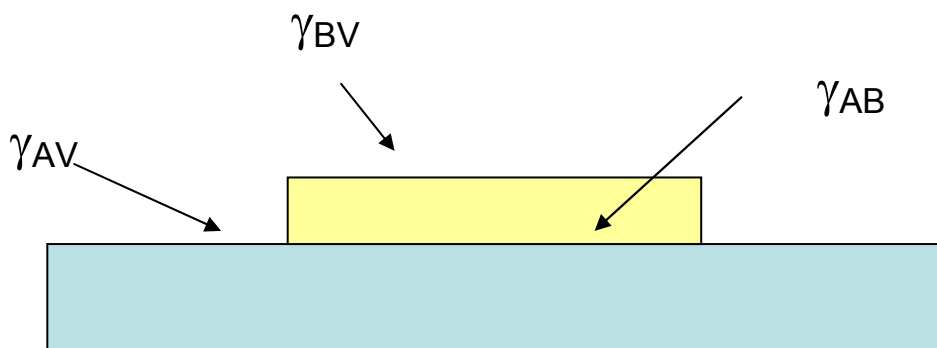


شکل(۱-۱)- موقعیت های مختلف اتمها بر روی سطح.

به طور کلی تغییرات انرژی برهمنکنی اتم ها درسطح را به صورت زیر می توان نشان داد [۱]:

$$\Delta G_{\text{interface}} \propto \gamma_{BV} - \gamma_{AV} + \gamma_{AB} \quad (1-1)$$

که در آن γ_{AV} کشش سطحی زیرلایه، γ_{AB} کشش سطحی لایه و γ_{BV} کشش سطحی لایه می باشد.



شکل(۲-۱)- تغییرات انرژی برهمنکنی اتم هادرسطح.

عمدتاً سازوکارهای مختلف چگالش لایه نازک بستگی به شدت برهمکنش بین اتم های لایه های در حال رشد و بین اتم های لایه و زیرلایه دارد.

۱-۲-۱- رشد لایه به لایه

در این حالت برهمکنش بین اتم های زیرلایه و اتم های لایه بسیار قوی تر از اتم های لایه می

باشد [۲]، یعنی:

$$\gamma_{AV} \rangle \gamma_{BV} + \gamma_{AB} \quad (2-1)$$



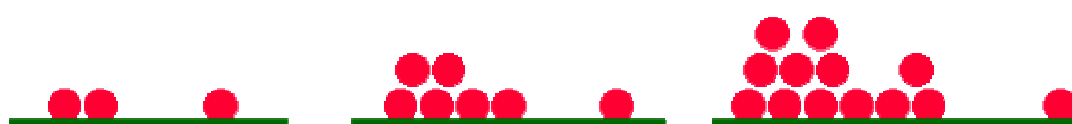
شکل (۱-۳)- رشد لایه به لایه.

۱-۲-۲- هسته بندی سه بعدی، تشکیل، رشد و به هم پیوستن جزیره ها

اگر انرژی برهم کنش بین اتم های لایه بزرگتر از انرژی بر هم کنش بین اتم های زیرلایه و لایه

باشد رشد جزیره ای شکل می گیرد [۲]، یعنی:

$$\gamma_{AV} \langle \gamma_{BV} + \gamma_{AB} \quad (3-1)$$

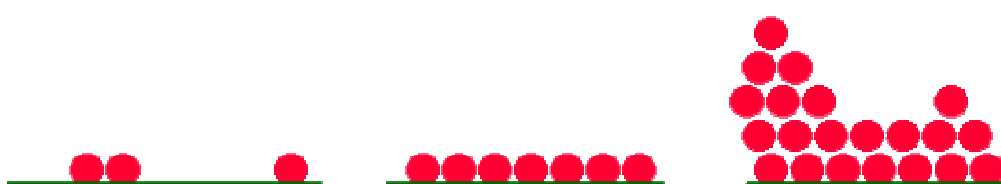


شکل (۴-۱)- رشد جزیره ای.

۱-۳-۲- جذب سطحی تک لایه و هسته بندی بعدی روی این لایه

در این مدل ابتدا یک یا چند تک لایه تکمیل شده و سپس نوع رشد تغییر می کند و جزایر بر

روی تک لایه های قبلی شروع به رشد می کنند [۲].



شکل (۵-۱)- جذب سطحی تک لایه و هسته بندی بعدی روی این لایه

رشد یک لایه را می توان به سه مرحله مشخص تقسیم کرد [۱]. این مراحل عبارتند از:

الف) هسته بندی، که در طی آن هسته های کوچک تشکیل می شوند و به طور تصادفی بر روی

سطح زیر لایه توزیع می شوند.

ب) رشد هسته ها و تشکیل جزیره های بزرگتر که اغلب شکل خردہ بلور کها را دارند.

ج) به هم پیوستن جزیره ها و تشکیل شبکه ای کم و بیش متصل که دارای کانالهای خالی است.

فرایند هسته بندی و رشد و به هم پیوستن جزیره های مجزا، اهمیت بنیادی در تشکیل ساختار

یک لایه یعنی اندازه بلور کها، جهت آنها و غیره دارند.

۱-۳- روش های ساخت لایه های نازک

تکنیکهای متعددی رشد لایه های نازک وجود دارد. در هر روش ریزساختارها و خواص و

حتی ناخالصیهای متفاوتی را خواهیم داشت که همین مطلب خواص متفاوتی را برای لایه مورد نظر

ایجاد می کند. با توجه به تکنیک لایه نشانی، نوع زیر لایه می تواند تأثیر بسیار مهمی در خواص لایه

های انباشت شده داشته باشد.

دریک نوع دسته بندی ، روشهای انباشت را می توان به سه دسته کلی تقسیم کرد [۲]:

الف) روشهای فیزیکی:

- لایه نشانی فیزیکی بخار (PVD^۱)

- روش لایه نشانی به کمک باریکه یونی^۲

- روآرستی با پرتو مولکولی (MBE^۳)

- لایه نشانی توسط پالس لیزر (PLD^۴)

¹ Physical Vapor Deposition

² Ion Assisted Beam Deposition

³ Molecular Beam epitaxy

⁴Pulsed Laser Deposition

ب) روش‌های شیمیایی:

- روش لایه نشانی شیمیایی بخار (CVD)^۱

- روش لایه نشانی شیمیایی بخار به کمک پلاسما

- روش لایه نشانی حمام شیمیایی (CBD)^۲

- روش لایه نشانی اکسید فلزی (MOD)^۳

- روش الکترولیز

- تبخیر فلزات در حضور اکسیژن

ج) روش شیمیایی - فیزیکی:

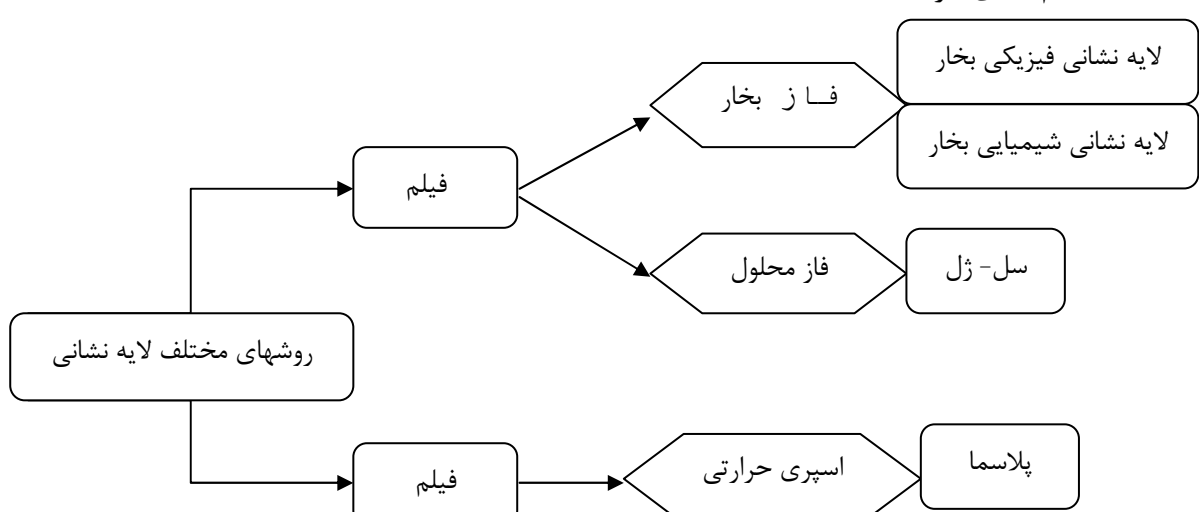
- روش سل - ژل^۴

- تجزیه گرمایی افسانه ای^۵

در مراجع [۴] و [۵] هر یک از این روشها به طور مبسوط تشریح شده اند.

در دسته بندی دیگری می توان روش‌های مختلف لایه نشانی را بر اساس ضخامت لایه های تولید

شده تقسیم بندی کرد:



شکل(۱-۵-۱)- تقسیم بندی روش های لایه نشانی براساس ضخامت

¹Chemical Vapor Deposition

²Chemical Bath Deposition

³Metal Oxide Deposition

⁴Sol-Gel

⁵Spray pyrolysis

در این میان به بررسی روش سل-ژل می پردازیم.

۱-۴- مقدمه ای بر روش سل-ژل

اولین گزارش از فرایند سل-ژل در سال ۱۸۴۶ از هیدرولیز و چگالش اکسید سیلیکا بود [۶]. پس از آن در سال ۱۹۳۹ لایه های SiO_2 تهییه و در سال ۱۹۵۳ جهت استفاده در شیشه های اتومبیل به تولید رسیدند. پوشش های غیر انعکاسی نیز در سال ۱۹۶۴ ساخته شدند. اولین تلاش سودمند جهت تشکیل لایه های منظم و یکپارچه و ثابت سازی آنها با کمک روش سل-ژل در سال ۱۹۸۴ توسط دیوید لوی^۱ و دیوید آونیر^۲ انجام پذیرفت [۷]. این مسئله مقدمه ای برای مطالعات وسیع تر، جهت دستیابی به یک مکانیزم پیشرفتی در تولید مواد مرکب و گسترش کاربردهای آن در بسیاری از زمینه ها را فراهم کرد. از دهه ۸۰ تا به حال پیشرفت های قابل توجهی در زمینه سل-ژل و تولید پوشش های سرامیکی صورت گرفته است. سل-ژل یک تکنیک چند کاربردی فوق العاده برای ساختن مواد است. در این روش رفتارهای شیمیایی و فیزیکی مواد مورد تجزیه و تحلیل قرار می گیرد. این تکنیک به دانشمندان اجازه می دهد که موقعیت و ساختار مواد را در مقیاس نانومتری تغییر داده و خواص فیزیکی مواد را کنترل کنند. در مجموع به کمک این فرایند می توان پیش ماده های^۳ سل-ژل را به فرم های مختلفی مثل پودرهای کروی، لایه های نازک، فیبرهای سرامیکی، پوسته های غیر آلی متخلخل، سرامیک ها^۴ و شیشه های یکپارچه تغییر داد.

از جمله علل مورد توجه قرار گرفتن روش سل-ژل می توان به موارد زیر اشاره کرد [۸]:

۱- این روش بطور قابل توجهی نیاز به دستگاه ها و تجهیزات کمتر و بالقوه کم خرج تر دارد و یک روش بسیار ساده است.

¹David levy

²David avnir

³Precursor

⁴Monolithic

۲- انواع ترکیبات را می توان با خلوص بسیار بالا لایه نشانی کرد. احتمال اینکه ناخالصی نیز روی زیرلایه بشیند بسیار کم است ، چون طی واکنشهای شیمیایی با هم ترکیب می شوند و احتمال اینکه وارد واکنش شوند بسیار پایین است.

۳- توانایی کنترل دقیق و اساسی ریز ساختارهای لایه های انباشت شده مانند اندازه و حجم ، مساحت بیرونی و وجود دارد.

۴- اشکال مختلف و سطوح بزرگ را می توان با این روش لایه نشانی کرد و نیازی به دما های بسیار بالا نمی باشد.

۵- لایه هایی با یکنواختی قابل توجه را با این روش می توان بدست آورد.
معایب روش سل-ژل نیز عبارتند از:

۱- دورریز این روش زیاد است.

۲- هزینه مواد خام مورد استفاده و همچنین زمانهای انجام فرایند بالا است.

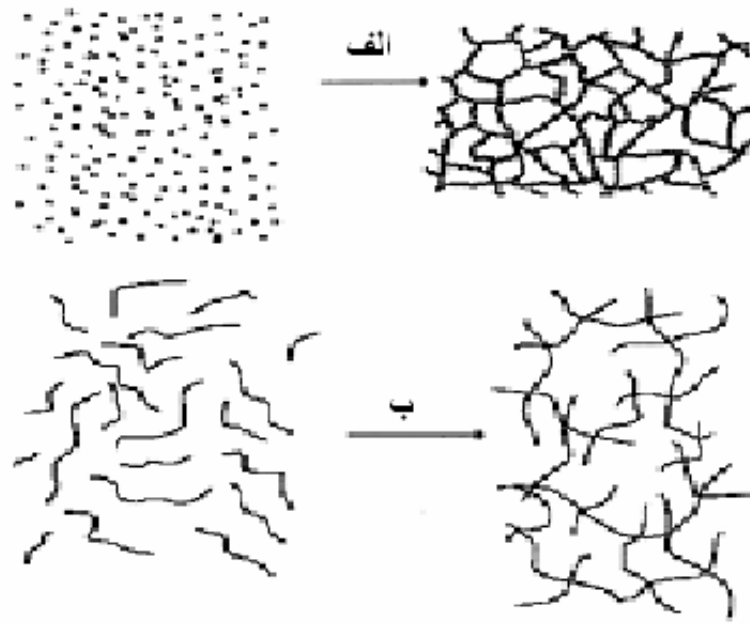
۳- منافذ بسیار ریزی بر روی لایه تشکیل شده باقی می ماند.

۴- انقباض بیشتری در طول فرایند وجود دارد.

۱-۵- مفاهیم اساسی در روش سل-ژل

در شیمی سل-ژل، پیش ماده های مولکولی به ذراتی با ابعاد نانو متری تبدیل می شوند. این فرم سوسپانسیون کلوئیدی یا سل، منجر به تشکیل شبکه های ژل می شود. ژل به کمک تکنیک های متنوع خشک سازی، تبدیل به مواد مختلفی با خواص متفاوت می شود. پیش ماده، ماده ابتدایی برای تهیه سل است که معمولاً به صورت نمک های غیر آلی فلزی یا ترکیبات آلی فلزی؛ مانند آلكوکساید های^۱ فلزی می باشد. با تغییر فاز محلول اولیه، سل تهیه می شود.

¹Alkoxide



شکل (۶-۱)- (الف) ژل کلوئیدی، (ب) ژل پلیمری [۹].

در حقیقت سل ها ذرات کلوئیدی ریزی (در ابعاد نانو متری) می باشند که در داخل سیال معلق بوده و دارای حرکت براونی^۱ می باشند. ژل فرم نیمه جامدی است که از تغليظ و هیدرولیز ذرات کلوئیدی سل حاصل می شود. یک ساختار معمولی ژل، به طور مشخص یکنواخت و متخلخل است. بنابراین دارای مساحت سطحی بزرگی می باشد [۹].

تغییر فاز صورت گرفته برای تبدیل محلول اولیه به سل و سپس به ژل، بیشتر به صورت تغییرات فیزیکی مانند افزایش ابعاد ذرات می باشد. به طور کلی سل ها دارای دو فرم کلوئیدی و ماکرومولکولی (پلیمری) می باشند. سل های کلوئیدی شامل ذرات معلق کلوئیدی در سیستم های آبی هستند که در نتیجه رشد خطی ذرات حاصل می شوند. در سل های پلیمری، تشکیل دهنده ها غالباً شاخه های معلق پلیمری در سیستم های آبی می باشند. هنگامی که ژلاسیون رخ می دهد، این ذرات به شکل پلیمرهای خطی رشد می کنند. این سل ها از اثر واکنش الکوكساید ها با آب به وجود می آیند.

برای تبدیل سل به ژل معمولاً دو حالت وجود دارد که عبارتند از [۹]:

^۱ Brownian

۱- حالت حجمی: در این حالت، رفتار لازم برای تغییر فاز از سل به ژل، هفته‌ها و شاید ماه‌ها طول می‌کشد.

۲- حالت لایه: رفتار لازم برای تغییر فاز در این حالت، کوتاه است (در حدود چند ثانیه تا چند دقیقه).

زمانی که ژل در فاز مایع است آن را هیدروژل می‌نامند. پس از عملیات خشک سازی در شرایط متفاوت، ساختارهای متنوعی ایجاد می‌شوند که عبارتند از [۱۰]:

ایروژل^۱: اگر مایع در یک ژل خیس، تحت شرایط فوق بحرانی از بین برود، یک ماده متخلخل (میزان تخلخل ۹۹,۹٪) با چگالی فوق العاده پایین به نام ایروژل به دست می‌آید. در حقیقت وزن یک ایروژل حدود یک میلی گرم در سانتیمتر مکعب است. بسیاری از مواد مفید از این فرم ساخته می‌شوند.

زیروژل^۲: این نام از واژه یونانی Xeros به معنای خشک و بی آب گرفته شده است. اگر ژل‌ها به آرامی در یک فرایند تبخیرسیال قرار بگیرند، ساختار شبکه ای ژل‌ها فرو پاشیده و سبب تولید ماده ای با چگالی بالا و غیر متخلخل می‌شود. این خشک سازی تدریجی مانع از ترک خوردگی‌های شبکه جامد می‌شود.

فیبر^۳: ژل‌های فشرده شده ای که از محلول سل به دست می‌آیند را فیبر می‌نامند. فیبرها به آسانی می‌توانند به زیروژل‌ها تبدیل شوند که با کلوخه سازی^۴ بیشتر آن‌ها می‌توان شیشه‌های پیوسته و فیبرهای سرامیکی را تولید کرد.

مونولیت‌ها^۵: ژل‌های توده ای با ابعادی بزرگ‌تر از یک میلی متر هستند که در دمای اتاق شکل گرفته و در دماهای خیلی پایین تر ادغام می‌شوند.

¹Aerogel

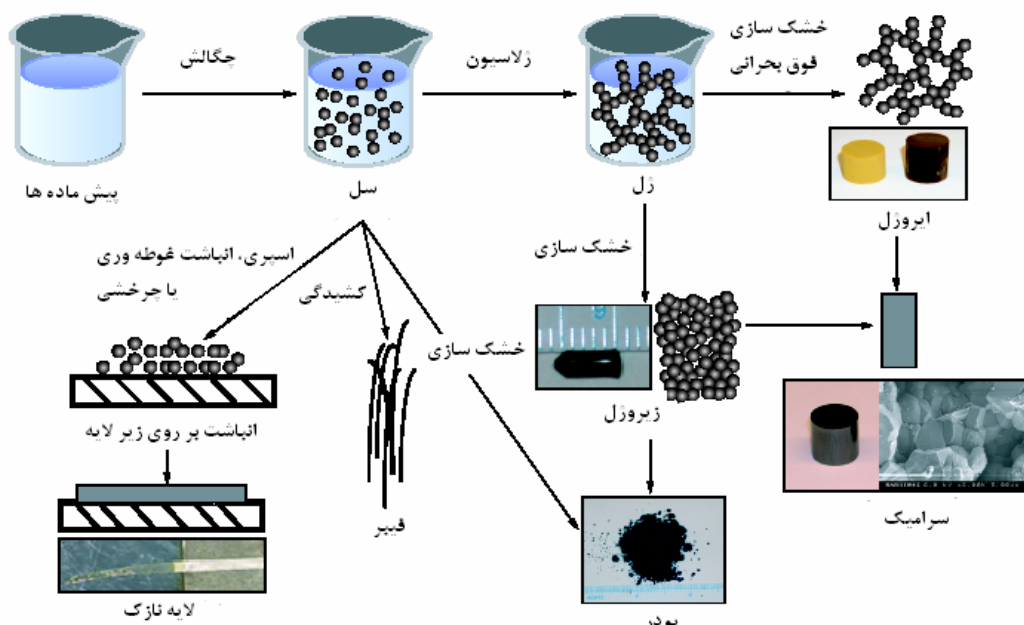
²Xerogel

³Fiber

⁴Sintering

⁵Monolith

کریوژل^۱: این مواد معمولاً از انجماد سریع ژل ها و خشک سازی آن ها در خلاء حاصل می شوند. معمولاً موادی که آب دوست هستند ممکن است به سرعت با آب واکنش داده و مجدداً به حالت اولیه خود یعنی قبل از مرحله انجماد و خشک سازی بازگردند. در شکل(۷-۱) فرایند سل-ژل و عملیات خشک سازی به طور شماتیک نشان داده شده است.



شکل(۷-۱)- طرح شماتیک فرایند سل-ژل [۱۰].

تهیه ایروژل ها و زیروژل ها به طور مستقل به شرایط ژلاسیون، عمرسل و خشک سازی و برای مواد غیر متخلخل به شرایط ادغام وابسته است که در ذیل به تشریح این مراحل می پردازیم [۱۰]:

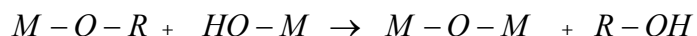
۱-۵-۱- ژلاسیون

سل ها معمولاً با استفاده از آلکوکسایدهای فلزی تهیه می شوند. با توجه به اینکه ارگانیک های فلزی^۲ غیر قابل حل در آب هستند، آلکوکسایدها در الکل بدون آب حل می شوند. با اضافه کردن آب به سل، واکنش های پلی مریزاسیون آغاز می شود.

¹Cryoegel
²Metal organics

این فرایند به وسیله دو واکنش عمدۀ هیدرولیز و چگالش انجام می شود. این واکنش‌ها عبارتند

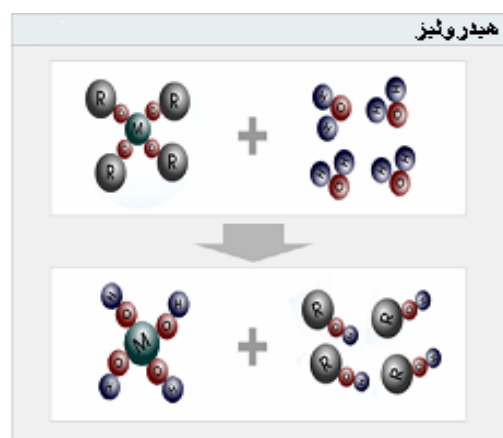
از:



در واکنش‌های فوق M فلز و R از گروه آلکیل‌ها مانند متیل، اتیل، پروپیل و... می‌باشد.

(۱) واکنش هیدرولیز:

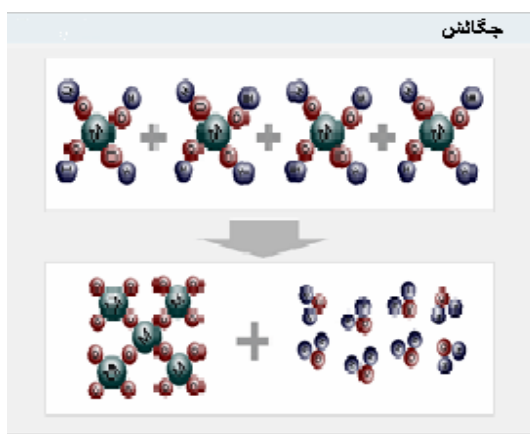
این واکنش با اضافه کردن آب به سل اتفاق می‌افتد. در طی این فرایند، گروه‌های آلکوکساید (OR) مرحله به مرحله به وسیله گروه‌های هیدروکسیل جایگزین می‌شوند. در اینجا، نسبت هیدرولیز به چندین فاکتور بستگی دارد. در واقع واکنش می‌تواند به طور موفقیت آمیزی با افزایش در چگالی بار فلز، تعداد یون‌های فلزی متصل شده هیدروکسو-لیگاند و اندازه گروه‌های آلکیل به وجود بیاید. بر عکس زمانی که تعداد هیدروکسو-لیگاند، با هماهنگ کردن M افزایش می‌یابد یا زمانی که pH، دما یا غلظت آب و حلal به تسهیل واکنش کمک می‌کنند، می‌توان از واکنش جلوگیری کرد.



شکل (۸-۱)- واکنش هیدرولیز

۲) واکنش چگالش

این واکنش شامل گروه های هیدروکسیل و نتایج به هم پیوستگی های M-O-M است که به ترتیب یک شبکه سه بعدی (ژل) وافزایش درجه اتصال عرضی^۱ را نتیجه می دهد. سپس حالت ژل، به صورت یک ماده کشسان چسبنده، که ترکیبی از فازهای جامد و مایع است تبدیل می شود. این ساختار به طور قوی به میزان آب سیستم و اسید یا بازی که به عنوان کاتالیزور در سیستم به کار رفته است بستگی دارد. به طور کلی واکنش چگالش در حضور آب یا الکل انجام می شود.



شکل (۹-۱)- واکنش چگالش

مورفولوژی ژل متأثر از دما، نسبت آب والکل و مقدار اسید و بازی است که به عنوان کاتالیزور در سیستم به کار رفته است [۱۱].

کاتالیزورهای اسیدی ژل هایی با اتصال عرضی ضعیف ایجاد می کنند که به آسانی تحت عملیات خشک سازی، متراکم شده و به ساختار زیروژل قابل انعطافی با تخلخل پائین تبدیل می شوند. در شرایط pH خنثی و بعد از خشک سازی، زیروژل های نسبتاً متخلفلی که به صورت خوشه های انعطاف ناپذیری در ابعاد کمتر از نانومتر هستند ایجاد می شوند. تحت شرایطی با کاتالیزور های بازی و اسیدی- بازی، ژل ها ساختار طبقه ای و شبکه پیچیده ای خواهند داشت.

^۱Cross linking degree

^۱-۵-۲- طول عمرسل

طول عمرسل یک پیشروی در مرحله ژلاسیون است که شبکه ژل در طی پلیمریزاسیون بیشتر، تثبیت می شود. دفع حلال ها به دلیل جمع شدگی ژل در این زمان رخ می دهد [۱۰].

^۲-۵-۳- خشک سازی

فرایند خشک سازی شامل جداسازی آب از سیستم ژل است که همزمان با فروپاشی ساختار ژل می باشد. این فرایند تحت شرایطی که دما، فشار و رطوبت ثابت است انجام می پذیرد [۱۰]. به هر حال ژل آخرین ماده تهیه شده نیست. برای بدست آوردن پوششها، پودرهای سرامیکی و یا نمونه های یکپارچه، ژل آمورف باقیمانده شده و در دماهای بالا بصورت بلوری در بیاید. بیشترین دشواری ها در مرحله خشک کردن ایجاد می شود و عمدتاً بوسیله جابجایی مقادیر زیادی از حلال در شبکه پلیمری بوجود می آید. در واقع ژل برای انقباض در یک مقدار بزرگ آمده می شود و نیروهای مویین^۳ موجب تشکیل شکستگی ها می شوند. برای کم کردن این تاثیرات، ژل ها بطور طبیعی بوسیله تبخیر آرام خشک می شوند. مراحل تهیه یک لایه نازک با روش سل- ژل بصورت زیر می باشد:

۱- رقیق کردن پیش ماده هایی که بصورت پودر هستند با الکل ها و استفاده از یک کاتالیزور مناسب برای تهیه سل.

۲- عملیات پوشش زیرلایه ها با تکنیک های مختلف سل- ژل و تهیه لایه خیس.

۳- عملیات خشک کردن لایه خیس به منظور بدست آوردن لایه های نازک مورد نیاز.

پارامترهای موثر در روش سل- ژل را می توان به دو دسته تقسیم بندی کرد:

الف- پارامترهای فیزیکی مانند روش انباست کردن، ویژگی سطح زیرلایه، چسبندگی، دمای خشک سازی و دمای عملیات بازپخت.

^۱Aging

²Drying

³Capillary

ب- پارامترهای شیمیایی مانند تغییر در نسبت الكل ، تغییر در نسبت آب و الكل، گرمای واکنش و اسیدی که بعنوان کاتالیزور بکار می رود.

۱-۶- تکنیک های مختلف روش سل -ژل

این تکنیک ها عبارتند از:

۱-۶-۱- تکنیک غوطه وری

(الف) **غوطه وری مستقیم**: در این روش زیرلايه به آرامی به داخل ظرف شامل سل غوطه ور شده و با یک سرعت یکنواخت ، تحت دما و شرایط جوی کنترل شده از آن بیرون کشیده می شود^[۱۲]. اسکریون^۱ این فرایند را مطابق شکل(۱۰-۱) به پنج مرحله تقسیم بندی کرده است که

عبارتند از:

۱- مرحله غوطه ور شدگی^۲ یا فرو بردن زیرلايه به داخل سل. در این قسمت سرعت فرو بردن اهمیتی ندارد.

۲- مرحله شروع بالا آوردن زیرلايه از داخل سل.^۳

۳- مرحله رسوب گذاری، مرحله شروع انباشت است. در این مرحله سل به آرامی بر روی زیرلايه ته نشین می شود.

۴- مرحله فروکشی^۴، مرحله است که در آن زیرلايه بطور کامل از داخل سل بیرون کشیده می شود.

۵- مرحله تبخیر، برای از بین بردن مایعات (سل های) اضافی است.

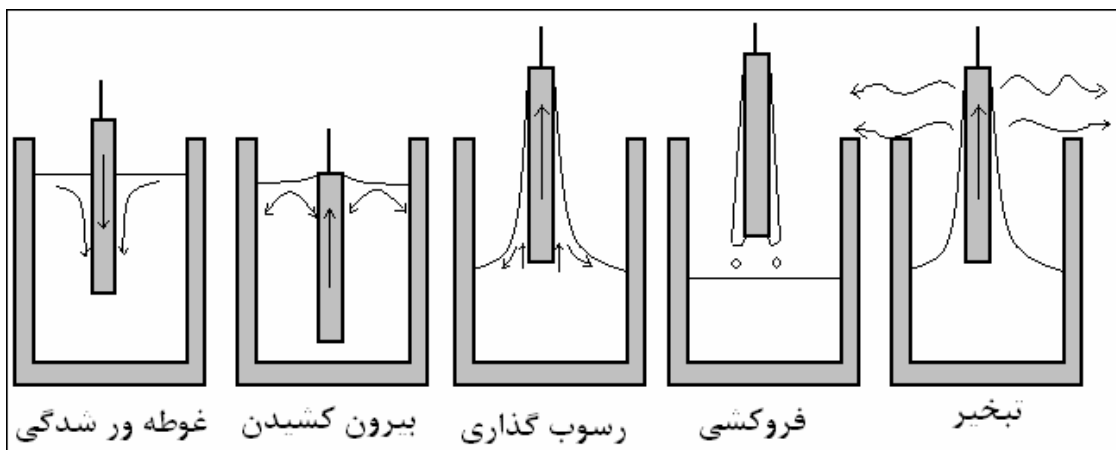
لازم به ذکر است که عمل تبخیر از مرحله سه آغاز می گردد و باعث خشک شدن لایه بر روی زیر لایه می گردد.

¹Scriven

²Immersion

³Start-up

⁴Drainage



شکل(۱۰-۱)- نمایی کلی از مراحل مختلف تکنیک غوطه وری [۱۲].

زمانی که زیرلایه از درون محلول پوششی بیرون کشیده می شود یک سطح مرزی، لایه قرار گرفته بر روی زیرلایه را به دو بخش تقسیم می کند. یکی از این لایه ها به زیرلایه چسبیده و لایه دیگر به طرف پایین حرکت می کند و به محلول پوششی اضافه می شود. بنابراین ضخامت لایه متناسب با موقعیت حد فاصل بین لایه های حرکت کننده به طرف بالا و پایین می باشد. در مرحله رسوب گذاری، نیروهای اساسی ای که ضخامت لایه را تحت تاثیر قرار می دهند عبارتند از:

۱- نیروی چسبندگی به طرف بالا بر روی مایع که ناشی از حرکت زیرلایه است.

۲- نیروی گرانش که به طرف پایین است.

۳- نیروی برایند بین کشش سطحی و حالت مویینگی که به طرف پایین است.

۴- نیروی لخت لایه مرزی مایع به وجود آمده در ناحیه رسوب گذاری.

۵- گرادیان کشش سطحی.

۶- فشار ترکیب کننده یا پراکننده که برای لایه هایی به ضخامت کمتر از ($1\mu\text{m}$) اهمیت دارد.

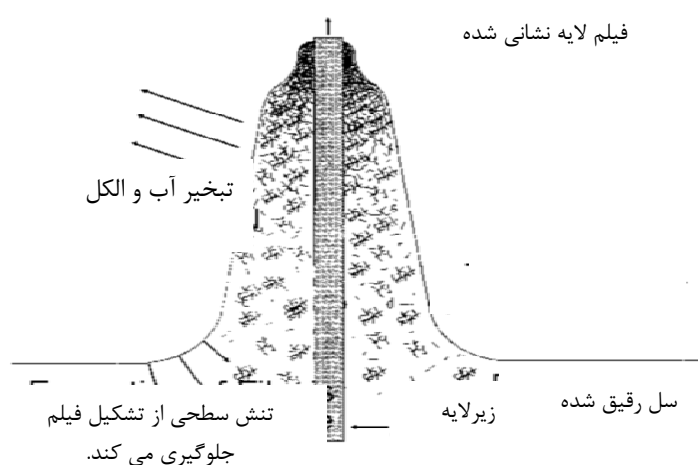
با به کارگیری تمام این نیروها به رابطه تجربی زیر می رسیم. این رابطه برای حالتی است که چسبندگی و سرعت زیرلایه به اندازه کافی زیاد باشد [۱۲].

$$h = c_1 \left(\frac{\eta V}{\rho g} \right)^{\frac{1}{2}} \quad (6-1)$$

در این رابطه h ضخامت، C_1 ثابت تناسب (در حدود $8/0$ برای مایعات نیوتونی)، η چسبندگی، V سرعت بالابری زیرلایه، ρ چگالی محلول(مایع) و g شتاب گرانشی می باشد. زمانی که سرعت حرکت زیرلایه و چسبندگی مایع به اندازه کافی زیاد نباشد، به طوری که اغلب در فرایندهای سل-ژل اتفاق می افتد، تعادل موجود بین نیروها به وسیله میزان مقاومت چسبندگی و تنش سطحی بین مایع و بخار یعنی γ_{LV} تغییر می کند. بر این اساس رابطه زیر که توسط لانداؤ^۱ و لویچ^۲ [۱۲] به دست آمده است ، استفاده می شود:

$$h = 0.94 \frac{(\eta V)^{\frac{2}{3}}}{\gamma_{LV}^{\frac{1}{6}} (\rho g)^{\frac{1}{2}}} \quad (7-1)$$

این رابطه به قانون توان دوسوم ضخامت مشهور است، همچنین اندازه و وسعت پیش ماده های محلول قبل از رسوب گذاری لایه و میزان نسبی تبخیر و تراکم در طول رسوب گذاری لایه، می توانند باعث کنترل حجم و اندازه منافذ و سطح بیرونی لایه نهایی شوند. شکل(۱۱-۱) حالت پایدار مراحل رسوب گذاری را در فرایند غوطه وری نشان می دهد.



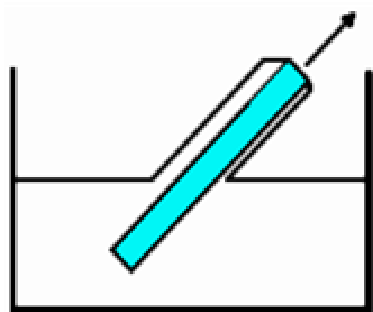
شکل(۱۱-۱)- حالت پایدار مراحل رسوب گذاری [۷].

مواد رقیق، غیر برهمکنشی و پلیمری محلول سل-ژل بر روی زیرلایه، به وسیله فروکشی گرانشی، تبخیر و واکنش های پرچگال متراکم می شوند. مطابق شکل فروکشی گرانشی و تبخیر آب و

¹Landau
²Levich

الکل در طرفین وجود دارد. یکبار که لایه به طور کامل فروریزش می کند، لایه نازک متراکم باقی می ماند. این فرایند غلظت را افزایش داده و ذرات کلوئیدی را به حرکت در می آورد. در نتیجه چسبندگی به علت افزایش غلظت ذرات کلوئیدی و پیوستگی واکنشهای چگالش، افزایش می یابد.

(ب) **غوطه وری زاویه ای**: در این روش، فرو بردن زیر لایه به درون محلول و نیز بیرون کشیدن آن، در زاویه ای خاص (غیر از حالت عمود) رخ می دهد. امتیاز این روش هم، امکان بیشتر برای کنترل ضخامت لایه است که به کمک آن می توان خواص اپتیکی لایه ها را به راحتی کنترل کرد. در شکل (۱۲-۱) هم می توان نمایی از تکنیک غوطه وری زاویه ای را مشاهده کرد.



شکل (۱۲-۱)- نمایی از روش غوطه وری زاویه ای [۷].

۱-۶-۲- تکنیک چرخشی

در این روش مقدار مشخصی از محلول پلیمری بر روی زیرلایه قرار می گیرد و سپس زیرلایه شروع به چرخش می کند. برونساید^۱ و همکارانش [۱۳] این فرایند را به چهار مرحله تقسیم بندی کرده اند که عبارتند از:

۱- مرحله رسوب گذاری: در این مرحله، سل مورد نظر با روشهای مختلف (بسته به ماده مورد نظر) روی زیرلایه ته نشین می شود. در این مرحله اگر سل دارای خاصیت چرخشی^۲ باشد، کار ساده است.

¹ Brown side

² Spinable

- ۲- مرحله شروع چرخش^۱: در این مرحله سل به صورت شعاعی با نیروی مرکزگرا به طرف بیرون شارش پیدا می کند. تا زمانی که به سرعت دلخواه برسیم، تغییرات سرعت داریم.
- ۳- مرحله پایان چرخش^۲: حالتی است که به سرعت حدی مورد نظر رسیده ایم و در آن سرعت، لایه را پوشش می دهیم. رفته رفته به حالتی می رسیم که ضخامت بسیار نازک بدست آید، ولی باز هم قطراتی وجود دارد. مایع اضافی بطرف اطراف جاری شده و افت پیدا می کند.

۴- مرحله تبخیر: در این مرحله دیگر قطراتی از مایع بیرون نمی ریزد. البته امکان دارد که مرحله تبخیر همزمان با شروع مرحله دوم نیز شروع شود. پس از این مرحله، بایستی مرحله خشک شدن نیز انجام شود. کلیه مراحل فوق در کمتر از چند دقیقه رخ می دهد. ضخامت های به دست آمده توسط این روش در گستره ای از چندین هزار نانومتر تا حدود ۱۰ میکرومتر متغیر است. مایرهوفر^۳ ضخامت نهایی یک لایه تهیه شده با کمک تکنیک چرخشی را به وسیله رابطه زیر شرح داد:

$$h = \left(1 - \frac{\rho_A}{\rho_{A_0}}\right) \cdot \left(\frac{3\eta m}{2\rho_{A_0} \cdot \omega^2}\right)^{\frac{1}{2}} \quad (8-1)$$

که در این رابطه، ρ_A چگالی حلول فرار، ρ_{A_0} مقدار اولیه ρ ، h ضخامت نهایی لایه، η چسبندگی مایع، ω سرعت زاویه ای چرخش زیرلایه و m هم سرعت تبخیر حلول می باشند. از آنجایی که m به طور تجربی تعیین می شود، می توان فرمول بالا را به شکل ساده زیر هم نوشت:

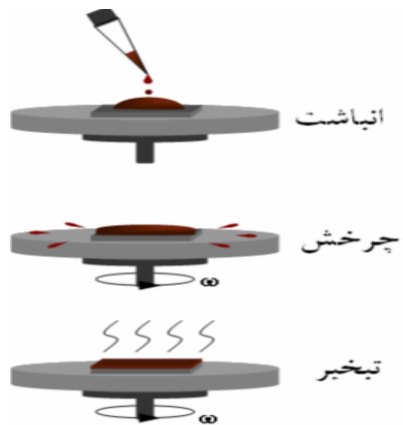
$$h = A \cdot \omega^{-B} \quad (9-1)$$

که در این رابطه، A و B ثابت هایی تجربی هستند که باید به طریق تجربی تعیین شوند.

¹ Spin-up

² Spin-off

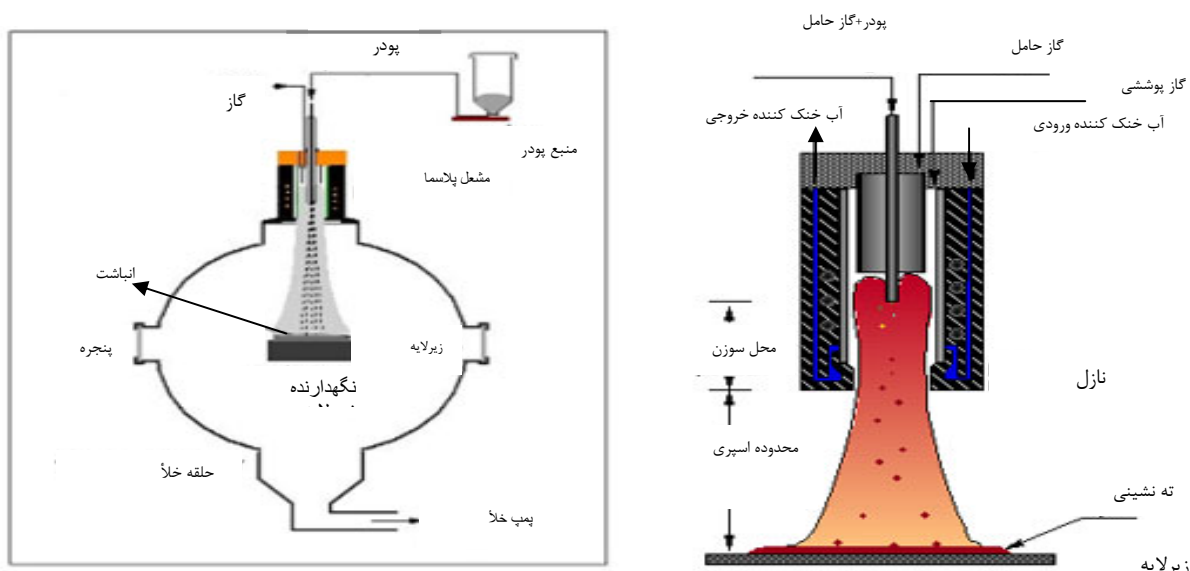
³ Meyerhuffer



شکل (۱۳-۱) - مراحل مختلف تکنیک چرخشی [۱۴].

۱-۶-۳- تکنیک اسپری^۱

برای لایه نشانی زیرلایه های دارای اشکال نامنظم، لامپ ها و ظروف شیشه ای، تکنیک اسپری روشی قابل استفاده است. کمپانی فیلیپس^۲ برای لایه نشانی صفحات تلویزیون های تولیدی خود، از روش سل-ژل و ترکیب دو تکنیک چرخشی و اسپری استفاده کرده است [۱۵]. البته این روش اسپری در ابعاد صنعتی، برای پوشش دادن سطوحی که به عنوان پوشش اپتیکی به کار برده خواهد شد و باید تغییرات ضخامتی در سرتاسر آن کمتر از ۵٪ باشد، کاربرد ندارد.



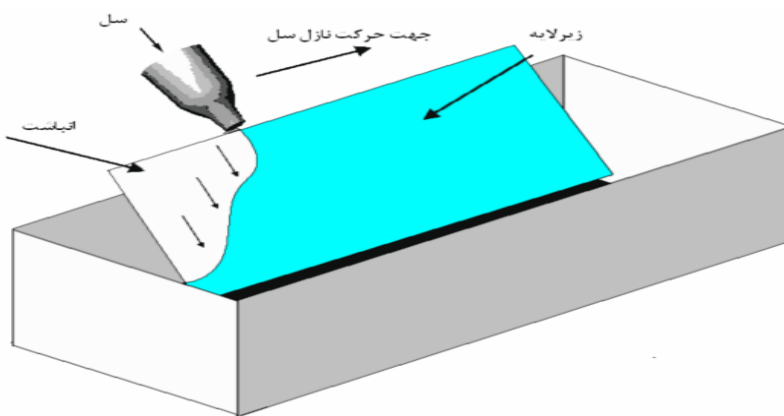
شکل (۱۴-۱): نمایی از لایه نشانی یا کمک تکنیک اسیری [۱۵].

¹Spray technique

Spray technique
2 Philips company

۱-۶-۴- تکنیک روان شدگی (آبشاری)^۱

همانطور که در شکل(۱۵-۱) هم دیده می شود، اساس کار در این تکنیک، ایجاد یک جریان روان از سل روی زیرلایه مورد نظر است. در این روش، با قرار دادن زیر لایه به صورت زاویه دار و ریختن محلول سل به روی آن، عمل لایه نشانی صورت می پذیرد. این روش برای پوشش دادن سطوح بزرگ، بسیار مؤثر و کاربردی می باشد.



شکل(۱۵-۱)- نمایی از لایه نشانی با کمک تکنیک روان شدگی (آبشاری) [۷].

عواملی که بر ضخامت لایه های به دست آمده در این روش موثر می باشند عبارتند از: زاویه شبیب زیرلایه، میزان چسبندگی مایع سل و نیز سرعت تبخیر حلال ها هستند. این تکنیک در حال حاضر برای مجهز کردن شیشه پنجره اتومبیل ها به وسیله پلی کربنات ها بسیار به کار می رود. امتیاز مهم این روش قابلیت بالای آن برای پوشش دهی سطوح بزرگ و غیر مسطح است. یکی از راه کارهای به کار رفته در این روش برای ایجاد لایه های با ضخامت های همگن تر، چرخاندن زیرلایه بلا فاصله پس از عمل لایه نشانی است. اگر عمل چرخش را انجام ندهیم، ضخامت لایه ایجاد شده از بالای زیرلایه تا پایین آن کاهش خواهد یافت.

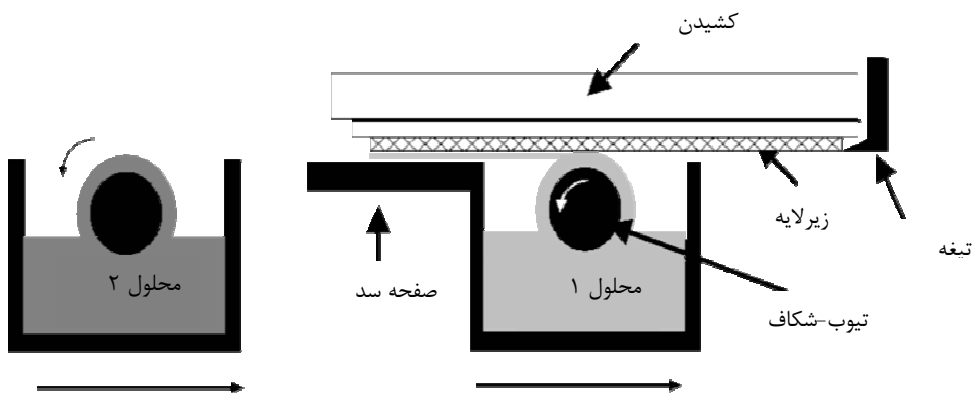
۱-۶-۵- لایه نشانی با کمک تکنیک مویینگی^۲

یکی از مشخصه های بارز تکنیک های اسپری و چرخشی این است که در این دو روش، مواد پوششی را نمی توان کاملاً بر روی زیرلایه آورد. در این دو روش مقدار زیادی از سل، هدر می رود. در

¹Flow coating technique

²Capillary coating technique

مورد دو تکنیک غوطه وری و روان شدگی هم این موضوع صادق است. برای برطرف کردن این مشکل از تکنیکی به نام تکنیک موئینگی استفاده می شود که در آن واحد هم امکان دستیابی به پوشش هایی با کیفیت اپتیکی بالا و هم استفاده از تمام سل را برای ما فراهم می کند. در شکل (۱-۱۶) می توان نمایی از این روش را مشاهده کرد.



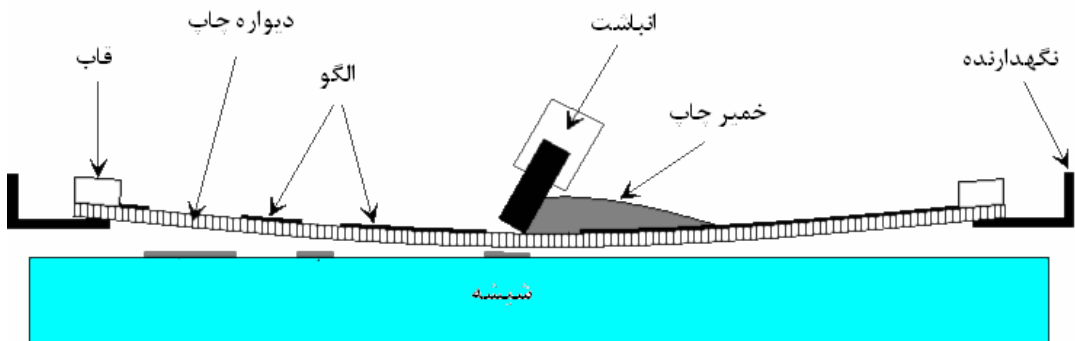
شکل (۱-۱۶)- نمایی از یک لایه نشانی با کمک تکنیک موئینگی [۷]

روش لایه نشانی هم به این صورت است که لوله توزیع کننده بدون هیچ تماس فیزیکی در زیر زیرلایه چرخیده و مایع پوششی را در قسمت زیرین زیرلایه می نشاند.

۱-۶-۶- تکنیک چاپی^۱

raig ترین کاربرد این روش در زمینه شیشه های دکوری و نیز چاپ بر روی پارچه های سیلک و صنعت خودرو سازی است. ضخامت لایه هایی که با کمک این روش تولید می شوند، در گستره ای از چند ده نانومتر تا چند صد نانومتر است. در شکل (۱-۱۷) هم نمایی از روش لایه نشانی با کمک تکنیک چاپی [۱۶] را می توان مشاهده کرد.

^۱Printing technique



شکل (۱۷-۱)- نمایی از لایه نشانی به کمک تکنیک چاپی [۷].

۱-۶-۷-۱- تکنیک الکترو فورز^۱

در این تکنیک عمل لایه نشانی با کمک حرکت ذرات باردار از بین مایع تحت تاثیر یک میدان الکتریکی خارجی به کار رفته در امتداد تعليق انجام می شود. ذرات یا پلیمرها بسته به نوع بار الکتریکی شان در جهت مخالف یا موازی جریان خارجی حرکت می کنند و روی آند یا کاتد لایه نشانی می شوند. پس واضح است که روش الکتروفورز تنها محدود به زیرلایه های رسانا است که قادر به ایفای نقش آند و کاتد می باشد. اما این روش توانایی پوشش دهی سطوح با شکل هندسی پیچیده و غیر مسطح را دارد. بر خلاف تکنیک غوطه وری، در روش الکتروفورز ذرات در مسیرهای خطی حرکت کرده و با حداکثر سرعت با سطح زیرلایه که در حال سکون است، برخورد می کنند، که البته مقدار این سرعت وابسته به میدان الکتریکی خارجی به کار رفته و نیز بار الکتریکی ذرات است [۱۷]. در شکل (۱۸-۱) نمایی از تکنیک الکتروفورز را ملاحظه می کنیم.



شکل (۱۸-۱)- طرح شماتیکی از سیستم لایه نشانی به روش الکتروفورز [۱۸].

^۱Electrophoresis technique

۱-۶-۸- تکنیک ترموفورز^۱

این تکنیک، لایه نشانی به کمک حرکت ذرات لایه از میان سل با استفاده از یک گرادیان حرارتی است. گرادیان حرارتی سبب می شود تا ذرات متتحمل یک نیروی شبکه در جهت کاهش دما بشوند. و در نهایت و در اثر همین حرکت روی زیرلایه لایه نشانی می شوند. ویژگی اساسی لایه های به دست آمده در این روش، چگالترا بودن آنها نسبت به لایه هایی است که در تکنیک غوطه وری تولید می شوند.[۱۷]

۱-۷- کاربردهای روش سل-ژل

کاربردهای روش سل-ژل، مستقیماً وابسته به شکل های خاص و متنوع به دست آمده از حالت ژل است. اما پاره ای از مهمترین کاربردهای روش سل-ژل عبارتند از [۱۹]:

۱- پوشش های اپتیکی

۲- لایه های الکترونیکی

۳- لایه های محافظتی

۴- لایه های متخلخل

۵- مونولیت ها

۶- پودر ها و دانه ها

۷- فیبرها

۸- کامپوزیت ها

^۱Thermophoresis technique

فصل دوم

روش‌های آنالیز و مشخصه‌یابی نمونه‌ها

۱-۲ - مقدمه

بررسی مشخصات و خواص مواد مورد مطالعه از جمله موارد مهمی است که برای این امر به ابزارهای شناسایی و آنالیز نتایج احتیاج می‌باشد. در این بخش به معرفی برخی دستگاه‌ها و نحوه آنالیز، مشخصه‌یابی و اصول اولیه محاسبات مربوط به آنالیز آنها می‌پردازیم.

۲-۲ - مشخصه‌یابی ساختاری:

۲-۲-۱- طرح پراش اشعه ایکس (¹XRD)

با استفاده از پراش اشعه ایکس که در اثر برخورد فوتون با ماده مورد مطالعه، طرح پراش حاصل می‌گردد می‌توان با بررسی آن طرح، ساختار بلوری و نوع آن (با توجه به موقعیت قله‌ها و مقایسه آن با کارتھای استاندارد JCPDS²)، ابعاد بلورکها و فازهای تشکیل شده در ماده و ثابت‌های شبکه را مشخص نمود.

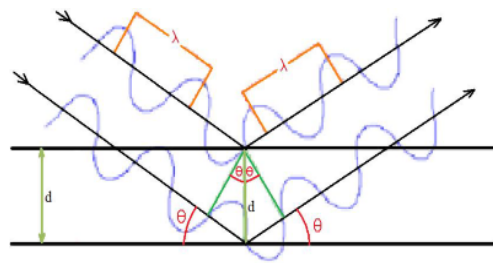
در پراش اشعه X، پرتوفرودی، ماده مورد مطالعه و آشکارساز دریک وضعیت هندسی خاصی نسبت به هم قرار می‌گیرند، بطوریکه پرتو فروودی که با زاویه θ به ماده برخورد می‌کند با پرتو پراشیده شده از ماده زاویه 2θ بسازد، تا این پرتو پراش مستقیماً وارد آشکار ساز شود و با داشتن طول موج اشعه ایکس (λ) و زاویه پراش (θ) و با استفاده از رابطه (۱-۲) که به رابطه براگ معروف است می‌توان فاصله بین صفحات شبکه بلوری (d_{hkl}) را محاسبه نمود [۲۰].

$$2d_{hkl} \sin\theta = n\lambda \quad (1-2)$$

¹ X-Ray Diffraction

² Joint Committee of Powder Diffraction

که در این رابطه n مرتبه پراش، λ طول موج اشعه ایکس، θ زاویه پراش، d_{hkl} فاصله بین صفحات مجاور در شبکه در راستای hkl (شکل ۲-۱) می‌باشند.



شکل (۱-۲)-نمای شماتیک از طرح پراش [۱۸]

حال با داشتن d_{hkl} و اندیس‌های میلر قله مشاهده شده می‌توان ثابت‌های شبکه را با استفاده از روابط زیر (۲-۲) محاسبه نمود [۲۱].

$$\frac{1}{d_{hkl}^2} = \left(\frac{h^2 + K^2 + l^2}{a^2} \right) \quad (2-2)$$

: ساختار مکعبی

$$\frac{1}{d_{hkl}^2} = \frac{4}{3} \left(\frac{h^2 + hk + l^2}{a^2} \right) + \frac{l^2}{c^2} \quad (2-2)$$

: ساختار شش گوشی

که در این رابطه a و c پارامترهای شبکه می‌باشند.

همچنین با داشتن طول موج اشعه ایکس (λ)، زاویه پراش (θ) و با استفاده از رابطه (۳-۲) که به رابطه ویلیامسون- هال^۱ معروف است می‌توان اندازه متوسط بلورکها و کرنش را محاسبه نمود [۲۲].

$$\beta \cos \theta = \frac{k\lambda}{D} + 2\varepsilon \sin \theta \quad (3-2)$$

^۱ Williamson- Hall

که در آن D اندازه بلورکها، β پهنهای قله مورد نظر در نصف ماکریم ($^1\text{FWHM}$)^۱، ϵ کرنش، λ طول موج اشعه ایکس و K ثابت شر که بین $۰/۹$ و ۱ می باشد ، می باشد. در اینجا با رسم بهترین خط گذرنده از مجموعه نقاط منحنی $2\epsilon \sin\theta / \beta \cos\theta$ بر حسب مربوط به هر نمونه می توان با محاسبه شبیب (ϵ) و عرض از مبدأ ($K\lambda / D$) مقادیر متوسط کرنش و اندازه متوسط بلورکها را برای هر نمونه بدست آورد.

طیف پراش اشعه ایکس نمونه های سنتز شده در این پایان نامه با استفاده از دستگاه پراش پرتو X مدل B8-advance Bruker axs دارای خط تابش $\text{CuK}\alpha$ با طول موج $\lambda = 1/5406 \text{ \AA}$ تهیه شده است که در شکل (۲-۲) نشان داده شده است.



شکل (۲-۲)- عکسی از دستگاه پراش پرتو X مدل B8-advance Bruker axs

^۱ Full Width at Half Maximum

۳-۲- مشخصه یابی اپتیکی

۱-۳-۲- مقدمه

دستگاه های طیف سنج عبور اپتیکی بر اساس مقایسه امواج عبوری از نمونه و زیر لایه به عنوان شاهد، طیف ترا گسیل مربوط به ماده مورد نظر را می دهد. از طریق طیف تراگسیل لایه های نازک و روابط فیزیکی مربوط، می توان ضریب خاموشی ، ضریب جذب، گاف نواری، دنباله نواری و نیز ضخامت نمونه را محاسبه نمود که در زیر به روشهای تعیین این ثوابت می پردازیم.

یکی از مهمترین پارامترهای لایه نازک ضخامت است، زیرا عمدتاً خواص لایه ها خیلی وابسته به ضخامت می باشد. بنابراین می توانند برای اندازه گیری ضخامت به کار روند. ضخامت واقعی لایه به روش اندازه گیری بستگی دارد یا به طور دقیق تر، روش های مختلف اندازه گیری ممکن است نتایج متفاوتی را به دست دهند و در نتیجه ضخامت های مختلفی برای یک لایه اندازه گیری شوند [۲۳]. معمولاً یک لایه نازک کاملاً صاف نیست و بنابراین در مکان های مختلف ضخامت های مختلفی خواهد داشت. اگر روشی که به کار می بردیم جرم در واحد سطح را اندازه گیری کند، که از آن میانگین ضخامت را با استفاده از چگالی جرمی محاسبه می کنند، آن گاه ضخامت به دست آمده را ضخامت جرمی می نامیم. بعضی از روش ها را تنها می توان برای لایه های انباست شده استفاده کرد، در حالی که روش های دیگر را می توان برای اندازه گیری ضخامت لایه در خلال فرایند واقعی تشکیل لایه به کار برد. روش های اندازه گیری روش های بسیار ارزشمندی هستند، زیرا تهیه لایه های نازک را با ضخامت های معین ممکن می سازند. علاوه بر این، با استفاده از این روش ها می توان با اندازه گیری افزایش ضخامت در واحد زمان، آهنگ رونشانی را اندازه گیری کرد. روش های اندازه گیری ضخامت را می توان به چند گروه تقسیم کرد که شامل روش های توزیع اپتیکی، الکترونیکی و روش های دیگر (مثل روش هایی که بر گسیل و جذب پرتو، تحلیل شیمیایی و غیره) پایه ریزی شده اند. روش های اندازه گیری ضخامت و آهنگ رونشانی لایه های نازک عبارتند از:

۲-۳-۲- روش های توزین

این روشها عبارتند از روش میکرو ترازو و روش کوارتز ارتعاشی [۲۳].

۳-۳-۲- روش های الکتریکی

این روشها عبارتند از: ۱) اندازه گیری مقاومت الکتریکی، ۲) اندازه گیری ظرفیت، ۳) اندازه گیری تغییر عامل Q ، ۴) روش های یونشی [۲۳].

۴-۳-۲- روش های اپتیکی

این روشها عبارتند از:

۴-۳-۱- روش های مبتنی بر اندازه گیری ضریب جذب نور

اگر نور ناشی از چشممه ای به شدت I_0 از لایه نازکی که نور را جذب می کند عبور کند، شدت

نور عبوری I طبق رابطه زیر [۲۳] کاهش می یابد:

$$I = I_0 \exp(-\alpha t) \quad \longrightarrow \quad \alpha = -1/t \ln(I/I_0) \quad (4-2)$$

که در آن t ضخامت لایه، α ضریب جذب لایه برای پرتو تابیده شده است و چون ضریب عبور، T ، برابر است با نسبت بین پرتو گسیل یافته به پرتو فرودی بنابراین در رابطه (۴-۲) می توان T را که بجای I/I_0 قرارداد. بدیهی است که از معادله بالا می توان برای اندازه گیری ضخامت لایه استفاده کرد [۲۳].

۲-۴-۳-۲- روش های تداخلی

برای اندازه گیری ضخامت لایه های نازک روش های اپتیکی بسیاری که مبتنی بر تداخل نور در لایه های نازک هستند، وجود دارند. نور مرئی یک موج الکترومغناطیسی با طول موج هایی در گستره تقریباً ۴۰۰ تا ۸۰۰ نانومتر است بعضی از آرایشهايی که برای اندازه گیری ضخامت به کار می روند عبارتند از [۲۳]:

الف) اندازه گیری ضخامت با استفاده از رنگ های تداخلی

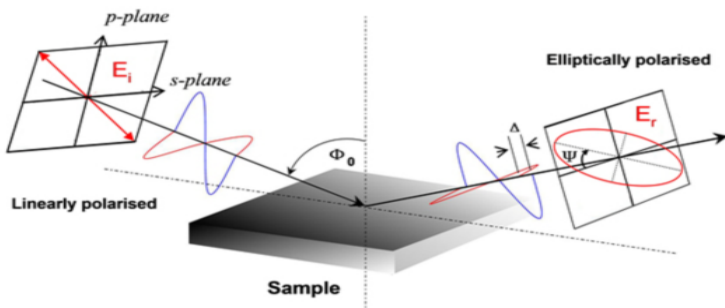
ب) روش هایی که از تداخل فربیزهایی با ضخامت های برابر استفاده می کنند.

ج) روش های تداخلی با استفاده از میکروسکوپ تداخلی

۲-۴-۳-۳- روش قطبش سنجی (بیضی سنجی)

یک لایه نازک تقریباً یا کاملاً شفاف روی تیغه فلزی صیقل شده، بیضویت نور بازتابیده را متأثر می سازد. این روش مبتنی بر اندازه گیری نسبت دامنه نور بازتابیده قطبیده در امتداد صفحه فروودی به دامنه نور بازتابیده قطبیده در امتداد عمود بر صفحه فروودی و اختلاف فاز آنها در زاویه های نسبتاً بزرگ فروودی که به طور قطری با معادله های فرنل توصیف می شود. با این روش امکان تعیین ضخامت و یا ثابت های اپتیکی لایه های نازک همسانگرد همگن جاذب و ناجاذب، بر روی زیرلایه های جاذب و ناجاذب وجود دارد. ضخامت را می توان به کمک معادلات نسبتاً پیچیده ریاضی که از نظریه الکترومغناطیس نور نتیجه می شوند، حساب کرد. این روش تنها روش عملی برای بررسی لایه های شفاف فرا نازک که بر روی سطوح فلزی رونشانی می شوند، می باشد. البته این روش بسیار پر زحمت بوده و معمولاً برای اندازه گیری ضخامت در حین تشکیل لایه مورد استفاده قرار نمی گیرد [۲۳].

که در شکل (۳-۲) نمایی از روش کار این دستگاه را نشان می دهد [۲۴].



شکل(۳-۲) - نمایی ازروش کاردستگاه مربوط به آنالیز بیضی سنجی

۳-۵- اندازه گیری آهنگ رونشانی با استفاده از انتقال تکانه

خاصیتی که در این حالت برای اندازه گیری به کار می رود، تکانه ذره های برخورد کننده بر روی یک قطعه متحرک است که جا به جای آن ثبت می شود. در صورت دیگری از این روش باریکه مولکولی به صفحه ای که به سیستم چرخشی دستگاه اندازه گیری دپرز^۱ متصل است، برخورد می کند. [۲۳]

۳-۶- روش های مخصوص اندازه گیری ضخامت

این روشها عبارتند از [۲۳]:

۱) روش سوزن گرامافون، ۲) روش های جذب و گسیل تابش، ۳) روش تعیین تابع کار از میان تمامی روش های مختلف تعیین ضخامت و سایر ثوابت اپتیکی، در این پایان نامه از یک روش اپتیکی جهت تعیین ثوابت اپتیکی استفاده گردید. لذا بر آن شدیم که در این فصل پاره ای از قواعد فیزیکی حاکم بر آن را تشریح نموده و به توضیحات جامعی پیرامون این بحث بپردازیم.

۳-۷- پدیده های بنیادی دانش نور [۲۰ و ۲۶]

نیوتون در مقاله ای درباره اپتیک نوشته است: پرتوهای نور اجسام کوچکی هستند که از مواد نورانی می تابند. به خاطر این حقیقت که در یک محیط همگن معین، نور در مسیرهایی به خط راست حرکت می کند، نیوتون ترجیح می داد نور را به صورت ذره ای درنظر بگیرد. این پدیده به قانون انتشار

^۱Deprez

مستقیم نور مرسوم است. از طرف دیگر، کریستین هویگنس از نظریه دیگری حمایت می کرد که بر طبق آن، نور حرکتی موجی است که از یک منبع در تمام جهات پخش می شود. حقایق اپتیکی که بوسیله تصویر موجی به خوبی قابل توضیح هستند، پدیده های تداخل نظیر تشکیل نوارهای تاریک و روشن بوسیله بازتاب نور از لایه های نازک و پراش نور از لبه های موانع می باشند. امروزه می دانیم که نور مرئی صرفاً شکلی از انرژی الکترومعناطیسی است که معمولاً به عنوان امواج الکترومعناطیسی توصیف می شوند. طیف کامل چنین امواجی شامل امواج رادیوئی، اشعه مادون قرمز، طیف مرئی رنگ های قرمز تا بنفش، اشعه ماوراء بنفسج، اشعه ایکس و اشعه گاما می باشد که آن را مدیون جیمز کلارک ماکسول می باشیم. نظریه ماکسول، انتشار نور را مورد بحث قرار می دهد در صورتیکه نظریه کوانتمی برهمن کنش نور و ماده یا جذب و تابش نور را توصیف می کند.

حالت الکترومعناطیسی خلاء در هر نقطه از فضای خالی با دو بردار میدان الکتریکی \vec{E} و میدان مغناطیسی \vec{H} مشخص می شود. در حالت ایستائی یعنی وقتی که دو میدان با زمان تغییر نمی کنند، \vec{E} و \vec{H} از یکدیگر مستقل بوده و به ترتیب با توزیع بار و جریان در تمام فضا تعیین می شوند. با وجود این در حالت دینامیکی، میدان ها مستقل نمی باشند و مشتق زمانی و مکانی آنها بصورت زیر

به هم مربوط می شود:

$$\nabla \times \vec{E} = -\mu_0 \frac{\partial \vec{H}}{\partial t} \quad (5-2)$$

$$\vec{\nabla} \times \vec{H} = \epsilon_0 \frac{\partial \vec{E}}{\partial t} \quad (6-2)$$

شرایط واگرایی زیر دلالت بر عدم حضور بار در نقطه مورد بحث می کند:

$$\vec{\nabla} \cdot \vec{E} = 0 \quad (7-2)$$

$$\vec{\nabla} \cdot \vec{H} = 0 \quad (8-2)$$

این معادلات در هردو حالت ایستا و دینامیکی صادق هستند. می‌توان میدانهای \vec{E} و \vec{H} را با استفاده از

معادلات زیر جدا نمود:

$$\vec{\nabla} \times (\vec{\nabla} \times \vec{E}) = -\mu_0 \epsilon_0 \frac{\partial^2 \vec{E}}{\partial t^2} \quad (10-2)$$

$$\vec{\nabla} \times (\vec{\nabla} \times \vec{H}) = -\mu_0 \epsilon_0 \frac{\partial^2 \vec{H}}{\partial t^2} \quad (9-2)$$

به علاوه با استفاده از شرایط واگرائی (۷-۲) و (۸-۲)، روابط زیر را بدست می‌آوریم:

$$\nabla^2 \vec{E} = \frac{1}{c^2} \frac{\partial^2 \vec{E}}{\partial t^2} \quad (11-2)$$

$$\nabla^2 \vec{H} = \frac{1}{c^2} \frac{\partial^2 \vec{H}}{\partial t^2} \quad (12-2)$$

یک موج هماهنگ تخت الکترومغناطیسی را با میدانهای \vec{E} و \vec{H} که با عبارات زیر مشخص می‌شوند،

در نظر می‌گیریم:

$$\vec{E} = \vec{E}_0 \exp[i(\vec{k} \cdot \vec{r} - \omega t)] \quad (13-2)$$

$$\vec{H} = \vec{H}_0 \exp[i(\vec{k} \cdot \vec{r} - \omega t)] \quad (14-2)$$

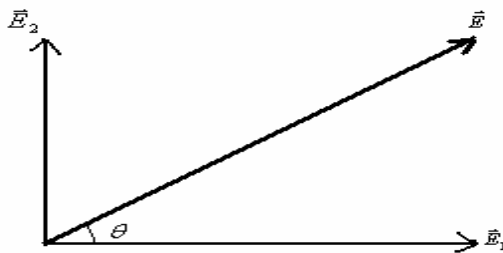
که در آن بردار مکان \vec{r} و بردار انتشار (بردار موج) \vec{k} به صورتهای زیر می‌باشند:

$$\vec{r} = x\hat{i} + y\hat{j} + z\hat{k} \quad (15-2)$$

$$\vec{k} = k_x\hat{i} + k_y\hat{j} + k_z\hat{k} \quad (16-2)$$

اگر دامنه‌های \vec{E}_0 و \vec{H}_0 ، بردارهای حقیقی ثابتی باشند، موج قطبی شده خطی یا قطبی شده مسطح نامیده می‌شود. می‌دانیم که میدانهای \vec{E} و \vec{H} دو به دو یکدیگر عمودند. در دانش نور مرسوم است

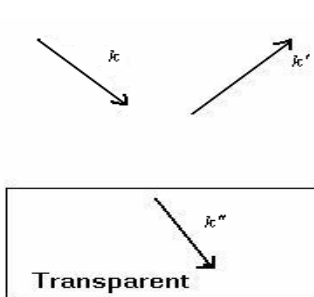
که راستای میدان الکتریکی را به عنوان راستای قطبش اختیار کنند. در مورد نور طبیعی یا به اصطلاح نور غیر قطبیده، قطبش لحظه‌ای دارای افت و خیز سریع می‌باشد. بردار الکتریکی \vec{E} لحظه‌ای را می‌توان مطابق شکل (۴-۲) به دو مولفه عمود برهم \vec{E}_1 و \vec{E}_2 تجزیه نمود. با فرض اینکه \vec{E}_1 در راستای محور انتقال قطبیگر قرار دارد و با محور انتقال زاویه θ می‌سازد، اندازه میدان عبور کرده برابر است با: $E_1 = E \cos \theta$. شدت عبوری I_1 ، که با مربع میدان برابر است، از رابطه $I_1 = E \cos^2 \theta$ بدست می‌آید که در آن I ، شدت پرتو تابشی است.



شکل (۴-۲)- رابطه بین میدانهای تابش و عبوری برای یک قطبیگر خطی.

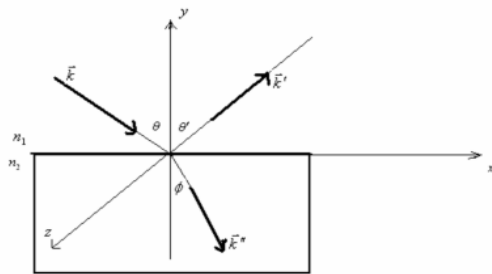
مطابق شکل (۵-۲)، یک موج تخت هماهنگ را درنظر بگیرید که به یک مرز تخت که دو محیط نوری متفاوت را از یکدیگر جدا می‌کند، می‌تابد. درنتیجه یک موج بازتابیده و یک موج عبوری وجود خواهد داشت. وابستگی فضا-زمانی این سه موج، غیر از ضرایب دامنه‌ای ثابت، با عبارات مختلط زیر بدست می‌آیند:

$$\begin{aligned} \exp[i(\vec{k} \cdot \vec{r} - \omega t)] & \quad (\text{موج تابشی}) \\ \exp[i(\vec{k}' \cdot \vec{r} - \omega t)] & \quad (\text{موج بازتابی}) \\ \exp[i(\vec{k}'' \cdot \vec{r} - \omega t)] & \quad (\text{موج عبوری}) \end{aligned}$$



شکل(۵-۲)- بردارهای موج برای نورتابشی برمز

جدائی دومحیط نوری متفاوت.



شکل(۶-۲)- دستگاه مختصات برای تحلیل بازتابش

و شکست در یک مرز تخت.

اینک برای آنکه یک رابطه ساده بتواند برای تمام نقاط مرز و برای تمام مقادیر وجود داشته باشد، لازم است که شناسه این سه تابع نمایی در مرز برابر باشند. بدین ترتیب چون عوامل زمان یکسان هستند، باید در مرز داشته باشیم:

$$\vec{k} \cdot \vec{r} = \vec{k}' \cdot \vec{r} = \vec{k}'' \cdot \vec{r} \quad (17-2)$$

این معادلات براین دلالت دارند که سه بردار موج \vec{k} و \vec{k}' و \vec{k}'' ، همگی در یک صفحه قرار دارند و تصویر هر سه بردار در روی صفحه مرز برابر هستند. این امر را با انتخاب یک دستگاه مختصات $Oxyz$ ، نظری شکل(۶-۲)، به طریقی که یکی از صفحات مختصات مثلاً صفحه xz همان مرز باشد و همچنین به نحوی که بردار \vec{k} در صفحه xy بنام صفحه قرار بگیرد، می‌توان مورد بحث قرار داد. زوایای بین خط عمود برمحور z (مرز) و بردارهای موج مطابق شکل با θ ، θ' و ϕ داده می‌شوند، بنابر این معادله (۱۷-۲) بصورت زیر در می‌آید:

$$k \sin \theta = k' \sin \theta' = k'' \sin \theta'' \quad (18-2)$$

چون در فضای امواج تابش و بازتابش ($y \geq 0$) ، دو موج در یک محیط حرکت می کنند، از این رو بردارهای موج دارای دامنه های یکسان هستند، یعنی $k' = k$. پس اولین معادله به قانون آشنای بازتابش تبدیل می شود:

$$\theta = \theta' \quad (19-2)$$

با محاسبه نسبت ثابت‌های انتشار امواج عبوری و بازتابشی داریم:

$$\frac{k''}{k} = \frac{\omega/u''}{\omega/u} = \frac{c/u''}{c/u} = \frac{n_2}{n_1} = n \quad (20-2)$$

۱-۷-۳-۲- دامنه های امواج بازتابش و تراگسیل:

فرض کنید \vec{E} دامنه بردار الکتریکی یک موج تخت هماهنگ را نشان می دهد که بر مرز تخت جدائی بین دو محیط می تابد و \vec{E}' و \vec{E}'' ، به ترتیب دامنه های امواج بازتابش و عبوری را نشان می‌دهند. از معادلات تاو ماکسول که به امواج هماهنگ اعمال شده است، معلوم می شود که دامنه های بردار های مغناطیسی مربوطه از روابط زیر بدست می آیند:

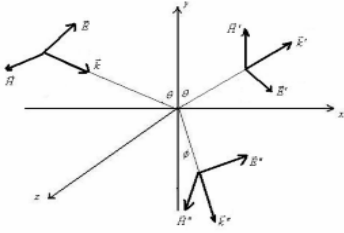
$$\vec{H} = \frac{1}{\mu\omega} \vec{k} \times \vec{E} \quad (21-2)$$

$$\vec{H}' = \frac{1}{\mu\omega} \vec{k}' \times \vec{E}' \quad (22-2)$$

$$\vec{H}'' = \frac{1}{\mu\omega} \vec{k}'' \times \vec{E}'' \quad (23-2)$$

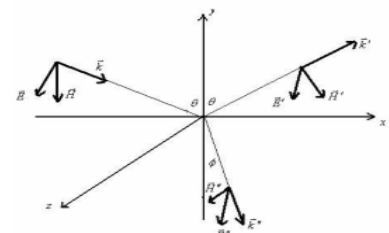
در اینجا مناسب است که دو حالت مختلف را بررسی کنیم. حالت اول این است که در آن بردار الکتریکی موج تابش با صفحه مرزی موازی (عمود بر سطح تابش) است. به این حالت، قطبش الکتریکی عرضی یا قطبش TE گفته می شود. مورد دوم آن است که در آن، بردار مغناطیسی موج تابش با صفحه مرزی موازی می باشد. به این حالت، قطبش مغناطیسی عرضی (قطبشن TM) اطلاق

می شود. راستهای بردارهای الکتریکی و مغناطیسی مربوط، در اشکال (۷-۲ الف و ب) نشان داده شده اند.



شکل (۷-۲ب): بک بردارهای موج و میدانهای

مربوطه برای قطبش TM



شکل (۷-۲الف): بردارهای موج و میدانهای

مربوطه برای قطبش TE

همان طوری که در این اشکال دیده می شود، مرز همان سطح xy درنظر گرفته می شود بطوریکه محور z بر مرز عمود است و صفحه xy ، صفحه تابش می باشد. اکنون شرایط مرزی را بکار می بریم که در آن لازم است که مولفه های مماسی میدانهای الکتریکی و مغناطیسی ضمن عبور از مرز، پیوسته باشند. نتایج بصورت زیر می باشد:

$$\begin{aligned} E + E' &= E'' \\ -H \cos \theta + H' \cos \theta &= -H'' \cos \phi \\ -kE \cos \theta + k'E' \cos \theta &= -k''E'' \cos \phi \end{aligned} \quad (24-2)$$

$$\begin{aligned} H - H' &= H'' \\ kE - k'E' &= k''E'' \\ E \cos \theta + E' \cos \theta &= E'' \cos \phi \end{aligned} \quad (25-2)$$

در اینجا با توجه به اعمال معادلات فوق، هر دامنه میدان مغناطیسی H ، H' و H'' به ترتیب با kE ، $k'E'$ و $k''E''$ متناسب است. ضرایب بازتابش r_s و r_p و ضرایب عبور t_s و t_p بصورت نسبت دامنه ها تعریف می شوند:

$$\begin{aligned} r_s &= \left[\frac{E'}{E} \right]_{TE} & r_p &= \left[\frac{E'}{E} \right]_{TM} \\ t_s &= \left[\frac{E''}{E} \right]_{TE} & t_p &= \left[\frac{E''}{E} \right]_{TM} \end{aligned} \quad (26-2)$$

با حذف "E" از معادلات (۲۴-۲) و (۲۵-۲) و استفاده از رابطه $n = \frac{c}{u} = \frac{ck}{\omega}$ که در آن سرعت فاز

بصورت $u = \frac{\omega}{k}$ است، روابط زیر را برای نسبتهای دامنه های بازتابش به دامنه های تابش بدست می

آوریم:

$$r_s = \frac{\cos \theta - n \cos \phi}{\cos \theta + n \cos \phi} \quad (27-2)$$

$$r_p = \frac{-n \cos \theta + \cos \phi}{n \cos \theta + \cos \phi} \quad (28-2)$$

نسبت دامنه های عبوری را نیز می توان با حذف 'E' در دو حالت بدست آورد. با استفاده از قانون اسنل

$n = \frac{\sin \theta}{\sin \phi}$ ، می توان معادلات مربوط به دامنه های امواج بازتابش و شکست را بصورت زیر بیان کرد

که به معادلات فرنل مرسوم هستند:

$$r_s = -\frac{\sin(\theta - \phi)}{\sin(\theta + \phi)} \quad (29-2)$$

$$t_s = \frac{2 \cos \theta \sin \phi}{\sin(\theta + \phi)} \quad (30-2)$$

$$r_p = -\frac{\tan(\theta - \phi)}{\tan(\theta + \phi)} \quad (31-2)$$

$$t_p = \frac{2 \cos \theta \sin \phi}{\sin(\theta + \phi) \cos(\theta - \phi)} \quad (32-2)$$

روش دیگر برای بیان نسبت دامنه های نور بازتابنده، عبارت از آن است که با استفاده از قانون اسنل،

متغیر ϕ را در معادلات (۲۷-۲) و (۲۸-۲) حذف کرد. نتیجه عبارتست از:

$$r_s = \frac{\cos \theta - \sqrt{n^2 - \sin^2 \theta}}{\cos \theta + \sqrt{n^2 - \sin^2 \theta}} \quad (33-2)$$

$$r_p = \frac{-n^2 \cos \theta + \sqrt{n^2 - \sin^2 \theta}}{n^2 \cos \theta + \sqrt{n^2 - \sin^2 \theta}} \quad (34-2)$$

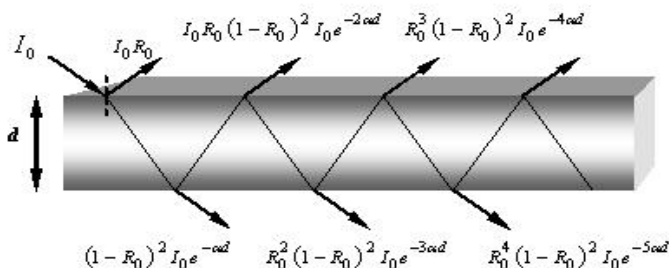
ضریب بازتاب بصورت کسری از انرژی نور تابشی که "بازتابیده شده" تعریف می‌شود و برای
حالت TM و TE بترتیب با نمادهای R_s و R_p نشان داده می‌شود. چون انرژی با مربيع قدر مطلق دامنه
میدان متناسب است برای تابش عمودی ($\theta = 0$) در می‌یابیم که $R_s = R_p$ به یک مقدار یکسان تبدیل
می‌شوند:

$$R_s = R_p = \left(\frac{n-1}{n+1}\right)^2 \quad (35-2)$$

۸-۳-۲- ضرایب عبور و بازتاب یک تیغه در هوا [۳۱و۳۲]

مطابق شکل فرض کنید، تیغه‌ای به ضخامت d در محیط هوا قرار گرفته است. ضریب جذب

تیغه α و بازتاب سطحی آن R_s است.



شکل(۸-۲): پرتوهای عبوری و بازتابی از یک تیغه قرار گرفته در هوا [۳۱].

اگر ضخامت تیغه در مقابل طول موج فرودی بزرگ باشد ($d > > \lambda$) آنگاه تداخل نور نخواهیم داشت.
در این صورت شدت نور بازتاب یافته (I_R) عبارتست از مجموع پرتوهای بازتابی که از مجموع بازتابهای
چندگانه درون تیغه حاصل شده است.

$$I_R = R_s I_\infty + R_s I_\infty (1 - R_s)^2 e^{-2\alpha d} + R_s^3 (1 - R_s)^2 I_\infty e^{-4\alpha d} + R_s^5 (1 - R_s)^2 I_\infty e^{-6\alpha d} + \dots \quad (36-2)$$

$$I_R = R_s I_\infty + R_s I_\infty (1 - R_s)^2 e^{-2\alpha d} (1 + R_s^2 e^{-2\alpha d} + R_s^4 e^{-4\alpha d} + \dots) \quad (37-2)$$

با حل مجموع داخل پرانتز خواهیم داشت:

$$I_R = R_0 I_0 + \frac{R_0 I_0 (1 - R_0)^2 e^{-2\alpha d}}{1 - R_0^2 e^{-2\alpha d}} \quad (38-2)$$

نهایتاً ضریب بازتاب عبارت است از نسبت بین شدت نور بازتاب شده و شدت نور پرتوی فروندی

$$R = \frac{I_R}{I_0} = R_0 + \frac{R_0 (1 - R_0)^2 e^{-2\alpha d}}{1 - R_0^2 e^{-2\alpha d}} \quad (39-2)$$

به همین ترتیب مجموع پرتوهای عبور یافته را به عنوان شدت پرتو عبور یافته بدست می آوریم.

$$I_T = (1 - R_0)^2 I_0 e^{-\alpha d} + R_0^2 (1 - R_0)^2 I_0 e^{-3\alpha d} + R_0^4 (1 - R_0)^2 I_0 e^{-5\alpha d} + \dots \quad (40-2)$$

$$I_T = (1 - R_0)^2 I_0 e^{-\alpha d} \left(1 + R_0^2 e^{-2\alpha d} + R_0^4 e^{-4\alpha d} + \dots \right) \quad (41-2)$$

با حل مجموع داخل پرانتز داریم،

$$I_T = \frac{(1 - R_0)^2 e^{-\alpha d}}{1 - R_0^2 e^{-2\alpha d}} \quad (42-2)$$

ضریب عبور برابر است با نسبت بین پرتو گسیل یافته به پرتو فروندی،

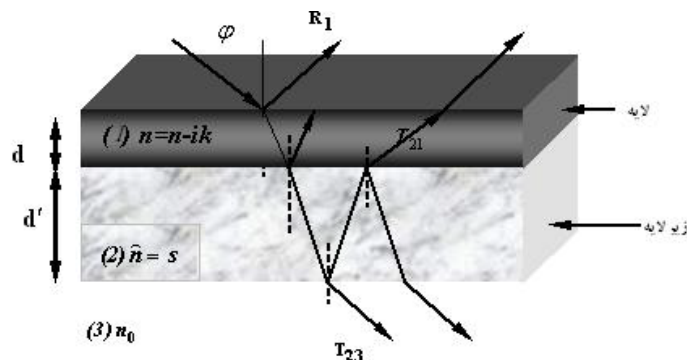
$$T = \frac{I_T}{I_0} = \frac{(1 - R_0)^2 e^{-\alpha d}}{1 - R_0^2 e^{-2\alpha d}} \quad (43-2)$$

ضریب جذب (α) نیز به کمک ضرایب عبور $T(\lambda)$ و بازتاب $R(\lambda)$ بصورت زیر محاسبه می شود.

$$\alpha(\lambda) = \frac{1}{d} \times \ln \left[\frac{1 - R(\lambda)}{T(\lambda)} \right] \quad (44-2)$$

۹-۳-۲- تعیین ضرایب عبور و بازتاب سیستم لایه نازک- تیغه

این سیستم ترکیبی از لایه انباشت شده روی زیرلایه (تیغه) [۳۲] می باشد. مشخصات زیر لایه مشخص است که بیشتر از زیر لایه های کوراتز، کرنینگ و اسلاید های شیشه ای استفاده می کند. شکل کلی چنین سیستمی مطابق شکل(۹-۲) است.



شکل(۹-۲): پرتوهای عبوری و بازتابی از سیستم لایه - زیر لایه [۳۲]

این سیستم، از لایه نازکی با ضریب شکست مختلط ($N = n + ik$) و یک زیر لایه شفاف با ضریب شکست معلوم (s) تشکیل شده است که در محیط هوا قرار دارد (هوا / زیر لایه / لایه نازک / هوا = سیستم). چندین حالت برای تعیین ضرایب عبور و بازتاب همچنین ثابت های اپتیکی ممکن است پیش آید.

۱- پرتو فروودی عبور کرده از لایه نازک در داخل زیرلایه باعث ایجاد بازتاب های چندگانه در سیستم خواهد شد اگر در این حالت ضخامت زیرلایه در مقایسه با طول موج پرتو فروودی، بزرگ باشد ($\lambda >> d$) در این حالت اثرات تداخلی حاصل نخواهد شد و محاسبه ضرایب عبور و بازتاب مطابق روش ارائه شده قبلی خواهد بود.

۲- اگر لایه نازک ضخامتی قابل قیاس با طول موج پرتو فروودی داشته باشد در این حالت دو امکان وجود دارد.

الف- لایه نازک انباشت شده بر روی زیر لایه بدلیل داشتن ضخامت زیاد، قادر به برآورده کردن شرط تداخل است که در این حالت در نمودار تراگسیلی نمونه گرفته شده، نقاط اکسترمم مشاهده خواهد شد، که با استفاده از این نقاط اکسترمم و با روش سوان پول^۱، می توان ثابت های اپتیکی لایه های نازک را بدست آورد.

ب- لایه نازک انباشت شده بدلیل داشتن ضخامت کم قادر به برآورده کردن شرط تداخل نیست. در نتیجه در نمودار تراگسیلی نمونه گرفته شده هیچ نقطه اکسترممی مشاهده نخواهد شد و دیگر نمی توان از روش های ذکر شده در قسمت (الف) استفاده کرد. محاسبه ثابت های اپتیکی چنین لایه هایی، اولین بار توسط چامبولیرون^۲ ارائه شد که در طی این چند سال اخیر مرجع مقالاتی است که محاسبه ثابت های اپتیکی را انجام داده اند.

۳-۲-۱۰- روش‌های تعیین ثوابت اپتیکی لایه های نازک با استفاده از اندازه گیری های تراگسیل [۳۲]

شناخت مقادیر درست و وابستگی ضریب شکست مختلط به طول موج لایه های نازک جامد، هم از دیدگاه بنیادی و هم از دیدگاه تکنولوژیکی مهم است. این شناخت، اطلاعات اساسی را از گاف انرژی اپتیکی (برای نیمه رساناها و عایق ها)، فرکانس‌های پلاسما و فونونی و غیره نتیجه می دهد. به هر حال ضریب شکست برای طراحی و مدل سازی اجزاء اپتیکی و پوشش های اپتیکی مانند فیلتر های اختلال^۳، لازم است. اگر مدل یک لایه نازک ایزوتروپ و همگن اختیار شود، قسمتهای حقیقی و موهومی ضریب شکست در هر طول موجی بطور کلی می توانند خواص اپتیکی فیلم را تعیین کنند. بنابراین دو اندازه گیری غیر مستقل، در هر طول موجی، به منظور تعیین $(\lambda)n$ و $(\lambda)k$ نا معلوم ضروری است. اگر موارد اشاره شده فوق وجود نداشته باشد (در مورد فیلم های غیر یکنواخت یا فیلم

¹Swane pole

²Cham bouleyron

³Interference filters

های ناصاف)، در بیشتر حالت ممکن است مدل فوق برای تعیین خواص اپتیکی لایه نازک غیر ایده آل مناسب باشد. روش‌های متعددی برای تعیین ضریب شکست لایه‌های نازک وجود دارد که در زیر به برخی از این روش‌ها اشاره می‌شود.

۱۰-۳-۲-استفاده از دو اندازه گیری مستقل

چندین سال است که از ترکیب یک اندازه گیری عبور تابش عمودی و یک اندازه گیری بازتاب تابش تقریباً عمودی یا روش (R و T) برای تعیین (n و k) استفاده می‌شود. این روش دارای چندین نقص می‌باشد که عبارتند از:

الف- این روش برای بدست آوردن داده‌های یک بازتاب متقارن مناسب، بسیار مشکل است. از طرف دیگر این روش احتیاج به یک آئینه مدرج دارد که هم بسیار گران قیمت است و هم اینکه محدودیت زمانی دارد.

ب- معمولاً این روش برای اندازه گیری عبور و بازتاب، دقیقاً در نقطه یکسانی روی لایه، غیر ممکن است. اگر لایه از نظر ضخامت و ترکیب یکنواخت نباشد، دقت کلی این روش پائین می‌آید.

ج- هیچ راهی برای اندازه گیری بازتاب تابش عمودی وجود ندارد.

د- تعیین (n و k) از طریق (R و T ، بر پایه یک وارونه سازی عددی استوار است. مقالات متعددی درباره روش‌های مختلف وارونه سازی و حدود درستی این روش ارائه شده ولی معمولاً منبعی از خطاها در آنها وجود دارد.

۲-۱۰-۳-۲- برازش روابط پراکندگی

این روش که موارد استفاده فراوانی دارد، عبارتست از در نظر گرفتن یک معادله ویژه پراکندگی تجربی برای ضریب شکست مختلط وابسته به طول موج. این روش، در چندین بسته نرم افزاری تجاری برای طراحی اپتیکی فیلم های نازک و آنالیز آنها مورد استفاده قرار می گیرد. معادلاتی که اغلب مورد استفاده قرار می گیرند عبارتند از:

الف- معادلات کوشی^۱ [۳۳]

$$n(\lambda) = A_n + \frac{B_n}{\lambda^2} + \frac{C_n}{\lambda^4} + \dots \quad (45-2)$$

$$k(\lambda) = A_k + \frac{B_k}{\lambda^2} + \frac{C_k}{\lambda^4} + \dots \quad (46-2)$$

در روابط فوق، ضرائب $A_n, A_k, B_n, B_k, C_n, C_k$ پارامترهای برازش می باشند.

ب- روابط سلمیر [۳۳]

این فرمول ها برای اولین بار توسط سلمیر^۲ در سال ۱۸۷۱ بیان شده و برای مواد شفاف (همانند معادلات کوشی) و همچنین در مورد نیمرسانا ها ($Ge, Si, GaAs$ و غیره) در ناحیه فروسرخ کاربرد دارد. این معادلات، حالت تعمیم یافته معادلات کوشی هستند. رابطه اصلی این فرمول ها در مورد مواد کاملاً شفاف ($k=0$) استفاده می شود. به هر حال این معادلات گاهی اوقات برای پوشش ناحیه جذب، با بکارگیری یک فرمول کلی برای $n(\lambda)$ گسترش پیدا می کند [۳۳]:

$$n(\lambda) = \left(A_n + \frac{B_n \lambda^2}{\lambda^2 - C_n^2} \right)^{\frac{1}{2}} \quad (47-2)$$

$$k(\lambda) = 0$$

$$k(\lambda) = [n(\lambda)(B_1 + \frac{B_2}{\lambda} + \frac{B_3}{\lambda^2})]^{-1}$$

¹Cauchy

²Sellmeier

یا

(۴۸-۲)

پارامترهای برازش در این حالت عبارتند از: B_3, B_2, B_1, B_n, A_n و B_3 .

ج- مدل نوسانگر کلاسیکی لورنتز^۱:

معادلات اساسی در این مدل عبارتند از [۳۳]:

$$n^2 - k^2 = 1 + \frac{A\lambda^2}{\lambda^2 - \lambda_0^2 + g\lambda^2 / (\lambda^2 - \lambda_0^2)} \quad (49-2)$$

$$2nk = \frac{A\sqrt{g}\lambda^3}{(\lambda^2 - \lambda_0^2)^2 + g\lambda^2} \quad (50-2)$$

در روابط اخیر، λ_0 طول موج مرکزی نوسانگر، A قدرت نوسانگر و g فاکتور میرائی می باشد. در فرمول (۴۷-۲)، قسمت سمت راست، نشانگر تابع دی الکترویک در انرژی بی نهایت (طول موج صفر) است. برای اهداف بیشتر، بهتر است که آن را با یک پارامتر برازش^۰ که بیانگر تابع دی الکترویک در طول موج های خیلی کوچکتر از مقدار اندازه گیری شده است، جایگزین کنیم. معادلات (۴۹-۲) و (۵۰-۲) به آسانی برای n و k قابل حل هستند، اما نمی توانند عبارات صریحی را نتیجه دهند. یکی از فواید این معادلات نسبت به معادلات دیگر (که در بالا اشاره شدند) این است که قادرند یک مجموعه جواب را برای n و k ارائه دهند که سازگار با معادلات کرامرز- کرونیک^۲ است.

د- معادلات پراکندگی فروهی- بلومر^۳

این معادلات برای مدل سازی ضربی شکست مختلط نیمه رساناهای بلوری نارساناهای، برپایه دقت زیادی، گسترش یافته است [۳۳].

¹Lorentz

²Kramers-Kronig

³Foroohi-Bloomer

$$k(E) = \sum_{i=1}^q \frac{A_i(E - E_g)^2}{E^2 - B_i E + C_i} \quad (51-2)$$

$$n(E) = n(\infty) + \sum_{i=1}^q \frac{B_{0i}E + C_{0i}}{E^2 - B_i E + C_i} \quad (52-2)$$

$$B_{0i} = \frac{A_i}{Q_i} \left(-\frac{B_i^2}{2} + E_g B_i - E_g^2 + C_i \right) \quad (53-2)$$

$$C_{0i} = \frac{A_i}{Q_i} \left((E_g^2 + C_i) \frac{B_i}{2} - 2E_g C_i \right) \quad (54-2)$$

$$Q_i = \frac{1}{2} (4C_i - B_i^2)^{\frac{1}{2}} \quad (55-2)$$

ح- مدل درود^۱

برای فلزات، تابع دی الکتریک توسط حامل های آزاد کنترل می شود. اگر ω_p ، فرکانس

پلاسما ($\omega_p^2 = 4\pi n e^2 / m$) و v ، فرکانس الکترون پراکنده باشند، تابع دی الکتریک درود به وسیله

معادله زیر داده می شود [۳۳]:

$$\varepsilon(\omega) = 1 - \frac{\omega_p^2}{\omega(\omega + iv)} \quad (56-2)$$

معمولاً پارامترها در معادلات پراکنده با بکارگیری حداقل یک شیوه برازش مربعی، محاسبه از طریق (n و k)، بدست می آیند و برای تراگسیل یک فیلم نازک جذبی، معادلات مفیدی می باشند. همانند معادلات فروھی-بلومر، اگر لازم باشد معادلات پراکنده سلمیر و نوسانگر لورنتز می توانند در مورد نوسانگرهای چندگانه بسط داده شوند. برای بعضی از مواد، ترکیب یک معادله پراکنده نوسانگر نوعی با مدل درود لازم و ضروری است.

هر کدام از معادلات پراکنده می توانند نتایج خیلی خوبی را برای تعداد زیادی از مواد و در سراسر یک ناحیه طول موجی خیلی بلند بدست آورند. اگر یک برازش خوب میان طیف تراگسیل

^۱Drude

تجربی و طیفی که از طریق معادلات پراکندگی نتیجه میشوند، وجود داشته باشد، قابلیت استفاده از این معادلات تضمین می شود. تمامی معادلات پراکندگی اشاره شده، توابع متغیری از طول موج هستند و هیچ مفهومی برای بدست آوردن یک برازش خوب در ناحیه طول موج بلند، با بکارگیری یک مجموعه داده اشتباه (k و n)، وجود ندارد. محدودیت های فیزیکی عمومی بیشتری بر روی ضریب شکست مختلط، بدون درنظرگرفتن یک رابطه خاص، صراحتاً بوسیله چامبولیرون و همکاران(که بطور خلاصه در بخش ۱۲-۳-۲ آورده شده است) ، برای دستیابی به یک تقریب بهینه سازی به منظور استخراج n و k از داده های تراگسیل به کار رفته است. این محققین محدودیت های فیزیکی زیر را، که معمولاً در مورد نیمه هادی ها و عایق ها در ناحیه پراکندگی معتبر است، فرض کرده اند:

الف- برای تمام λ ها: $n(\lambda) \geq 1$ و $k(\lambda) \geq 0$

ب- $n(\lambda)$ و $k(\lambda)$ توابع نزولی هستند.

ج- $n(\lambda)$ ، محدب است (که به $n''(\lambda)$ تبدیل می شود).

د- یک نقطه عطف به صورت λ_{\inf} وجود دارد بطوریکه اگر $\lambda \geq \lambda_{\inf}$ محدب است و اگر $\lambda < \lambda_{\inf}$ مقرر .

در نتیجه یک روش نقطه ای بهینه سازی برای حداقل برازش مربعی طیف های تراگسیل تجربی در برابر طیف هایی که از طریق محاسبه $n(\lambda)$ و $k(\lambda)$ بدست می آیند، صراحتاً برای ایجاد این محدودیت های صحیح گسترش یافته است. تحقیق اینکه معادلات پراکندگی فوق چگونه با تبعیت از مجموعه محدودیتها فیزیکی فوق با ارزش می شوند، حیاتی است:

۱- معادلات کوشی از سه محدودیت اول تبعیت می کند،شرط آنکه تمام ثابت های برازش، مثبت باشند. برای برقراری آخرین محدودیت، لازم است که ضریب C_k منفی باشد.

۲- معادله سلمیر برای $(\lambda)^n$ با سه محدودیت اول- در طول موج های خیلی بالاتر از طول موج بحرانی C - سازگار است. برای $(\lambda)^k$ ، تمام محدودیت ها، وابسته به ضرائب برازش، می توانند برقرار باشند.

۳- مدل نوسانگر لورنتز، در صورتیکه طول موج به اندازه کافی از طول موج نوسانگر بزرگتر باشد، بطور ذاتی با محدودیت ها سازگار است.

۴- مدل درود که تنها در مورد فلزات کاربرد دارد بطور واضح با این محدودیت ها سازگار نمی باشد.
۵- با توجه به اینکه معادلات فروهر- بلومر برای توصیف پراکندگی ضریب شکست مواد در انرژی های بالاتر از گاف نواری ارائه می شوند، این محدودیت ها بطور ذاتی برقرار نیستند.

۳-۱۰-۳-۲- استفاده از اندازه گیری های مجازی

این روش ها عبارتند از:

الف) روش پوشی:

در سال ۱۹۷۶، منیفیسیر^۱ و همکاران، روش مناسبی را برای توصیف طیف های تراگسیل اپتیکی و استخراج (k^w) ارائه کردند. این روش بعدا بوسیله سوان پول گسترش یافت و یک روش نرم افزاری برای فیلم های نازک تجاری بدست آمد. تلاش هائی برای محاسبه دقیق روش پوشی و خودداری از حل های چند گانه انجام شده است. اخیرا، تاثیر جذب زیرلایه نیز به این روش اضافه شده است. برخی از خصوصیات این روش عبارتند از:

۱- هیچ روش درستی برای ایجاد پوش ها میان اکسترمم های تداخلی وجود ندارد. معمولا آنها با استفاده از درون یابی سهموی ایجاد می شوند، ولی در حقیقت این کار یک انتخاب قراردادی است.
۲- پوش ها بایستی بطور ایده آل از طریق نقاط مماس، در اثر برخورد با منحنی های تراگسیل ایجاد می شوند، نه از طریق اکسترمم های تداخلی.

¹Manifaicier

۳- دقت این روش با کاهش ضخامت فیلم، کاهش می یابد. چون در ضخامت پائین تر فیلم ها، اکسترمم های تداخلی به صورت دور از هم قرار می گیرند و درون یابی آنها بسیار مشکل می شود.

۴- اگر فیلم خیلی ضخیم نباشد، بدین معنی که اگر باندهای جذب در میان اکسترمم های تداخلی کاهش یابد، این روش نمی تواند مفید باشد. در شکل اصلی آنها، این روش نمی تواند با ویژگی های جذب موضعی رقابت کند. اگر جذب در فیلم خیلی بالا باشد بطوریکه فریزهای تداخلی قابل رویت نباشند و منحنی های (λ) و $T_m(\lambda)$ همزمان ایجاد شوند، این روش نمی تواند مفید باشد. در شکل اصلی آنها این روش تبدیل به برازش معادله پراکندگی کوشی می شود.

ب) آنالیزهای kk ی داده های تراگسیل:

براساس معادلات کرامرز- کرونیک، گذار یک ماده و تغییر فاز در تراگسیل با استفاده از معادله زیر

داده می شود [۳۳]:

$$\varphi(\lambda_0) = \frac{2\lambda_0}{\pi} P \int_0^{\infty} \frac{\ln t_f(\lambda)}{\lambda_0^2 - \lambda^2} d\lambda - \frac{2\pi d}{\lambda_0} \quad (57-2)$$

که در آن P ، قسمت حقیقی انتگرال و t_f ، تراگسیل داخلی فیلم میباشند. معادله فوق اشاره می کند که تغییر فاز متناسب، می تواند محاسبه شود و سپس تراگسیل و تغییر فاز می توانند بصورت دو متغیر مستقل، با محاسبه n و k می توانند محاسبه شوند و سپس تراگسیل و تغییر فاز می توانند بصورت نیلسون^۱ روش برون یابی زیر را ارائه داد. با استفاده از قضیه مقدار میانگین می توان نوشت [۳۳]:

$$\varphi(\lambda_0) = A(\lambda_0) \ln \left| \frac{\lambda_l + \lambda_0}{\lambda_l - \lambda_0} \right| + \frac{2\lambda_0}{\pi} P \int_{\lambda_l}^{\lambda_H} \frac{\ln t_f(\lambda)}{\lambda_0^2 - \lambda^2} d\lambda + B(\lambda_0) \ln \left| \frac{\lambda_H + \lambda_0}{\lambda_H - \lambda_0} \right| - \frac{2\pi d}{\lambda_0} \quad (58-2)$$

که در آن λ_l و λ_H بترتیب بالاترین و پائین ترین حد طول موج هستند. بعنوان یک تقریب فرض می شود که A و B ثابت هستند. اگر ضریب شکست مختلط فیلم برای دو طول موج داده شود، تغییر فاز معادل می تواند تعیین شود و در نتیجه با استفاده از انتگرال فوق، A و B را می توان تعیین کرد. با

¹Nilsson

اینکه استفاده از معادلات کرامرز- کرونیک برای آنالیزهای طیف های تراگسیلی، بطور تجربی برازنده است، اما برای اجرا بصورت آنالیزهای مناسب، تا اندازه ای دچار مشکل می شود:

الف- با معادلات داده شده، برای تعیین طیف های (n و k)، به دو طول موج کاملاً متفاوت نیاز است.

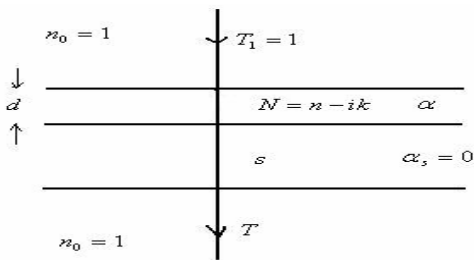
ب- در انتهای بازه انتگرال گیری $[\lambda_l, \lambda_H]$ ، خطای که به علت تقریبی بودن ثابت های A و B بوجود می آید، نسبتاً بزرگ می باشد. محاسبه این خطا در اکثر موارد عادی، ساده نیست.

۱۱-۳-۲- تعیین ثوابت اپتیکی لایه های نازک با استفاده از روش پوش منحنی (سوان پول)

بیان دقیق تراگسیلندگی یک فیلم نازک جاذب، رسوبی روی یک زیرلایه شفاف، بصورت نتایج و فرمول های برای ضریب شکست و ضریب جذب تنظیم شده است [۳۴]. سوان پول در این روش با استفاده از فریزهای تداخلی طیف تراگسیل توانسته است ضخامت و ثوابت اپتیکی فیلم های نازک را محاسبه کند. معمولاً ضریب شکست و ضریب جذب با استفاده از روش های پیچیده کامپیوتروی و با بکارگیری هر دو طیف تراگسیل و بازتاب تعیین می شوند. روش سوان پول برای تعیین (λ) و (n) ، با استفاده از یکسری محاسبات ساده و راحت و بکارگیری تنها طیف تراگسیل، برقرار است. موقعیت عملی برای یک فیلم نازک، روی زیرلایه شفاف در شکل (۸-۲) نشان داده شده است. فیلم دارای ضریب شکست مختلط $(n - ik)$ و ضخامت d است که در آن n ، ضریب شکست k ، ضریب خاموشی α باشند بطوریکه:

$$k = \frac{\alpha\lambda}{4\pi} \quad (59-2)$$

زیرلایه شفاف دارای ضخامت بزرگتر از d ، ضریب شکست s و ضریب جذب $\alpha_s = 0$ است. ضریب شکست محیط فراغیر (هوای) عبارت است از $1 = n_0$. در این آنالیزها، تمام بازتابهای چندگانه در فصل مشترک سه تائی، در هنگام محاسبه T در نظر گرفته می شود.



شکل(۶۰-۲)- سیستم یک فیلم نازک جاذب روی یک زیرلایه شفاف متناهی ضخیم [۳۴].

اگر ضخامت d یکنواخت نباشد، تمام اثرات تداخل از بین می روند و تراگسیل، یک منحنی آرام است و طیف می تواند به ۴ ناحیه تقسیم شود که عبارتند از:

الف- در ناحیه شفاف، $\alpha = 0$ و تراگسیل بوسیله s و بواسطه بازتابهای چندگانه تعیین می شوند.

ب- در ناحیه جذب ضعیف، α مقدار کوچکی دارد و شروع به کاهش عبور می کند.

ج- در ناحیه جذب متوسط، α مقدار بزرگی است و عبور عمده به علت تاثیر α ، کاهش می یابد.

د- در ناحیه جذب قوی، عبور به علت تاثیر α به شدت کاهش می یابد.

در این حالت منحنی آرام تراگسیل، برای تعیین (λ) در نواحی اپتیکی به کار میرود. اگر ضخامت d یکنواخت باشد، در این صورت منحنی تراگسیلندهای ناشی از آن دارای چندین ماکریم و مینیم میشود (اثرات تداخل در اینجا وجود دارد) و این فریزها می توانند برای محاسبه ثوابت اپتیکی فیلم ها بکار روند. با درنظر گرفتن تنها زیرلایه ضخیم در غیاب فیلم، تراگسیل تداخل آزاد با شکل آشنای زیر داده می شود:

$$T_s = \frac{(1-R)^2}{1-R^2} \quad (60-2)$$

$$R = [(s-1)/(s+1)]^2 \quad (61-2)$$

$$T_s = \frac{2s}{s^2 + 1} \quad (62-2)$$

$$s = \frac{1}{T_s} + \left(\frac{1}{T_s^2} - 1\right)^{\frac{1}{2}} \quad (63-2)$$

معادله پایه برای فریزهای تداخلی عبارتست از:

$$2nd = m\lambda \quad (64-2)$$

که در آن m برای حالت ماکزیمم، عدد صحیح و برای حالت مینیمم، عدد نیم صحیح است. معادله فوق در برگیرنده اطلاعات لازم در مورد حاصلضرب n و d است و بطور مجزا راهی برای بدست آوردن اطلاعات در مورد n و d ، با بکارگیری تنها این معادله وجود ندارد. همانطوریکه می دانیم طیف تراگسیل T در حالت کلی یک تابع ترکیبی است و بصورت $T = T(\lambda, s, n, d, \alpha)$ می باشد. اگر s معلوم باشد، نوشتمن معادله فوق در بخش هایی از (λ, n) و جذب $x(\lambda)$ بسیار راحت است. یک تقریب معتبر در اینجا، با قرار دادن $k = 0$ در معادلات حاصل می شود(چون k در مقایسه با ضرائب شکست n و s خیلی کوچک است). در اینصورت داریم:

$$T = \frac{Ax}{B - Cx \cos \varphi + Dx^2} \quad (65-2)$$

که در آن:

$$A = 16n^2s \quad (66-2-\text{الف})$$

$$B = (n+1)^3(n+s^2) \quad (66-2-\text{ب})$$

$$C = 2(n^2 - 1)(n^2 - s^2) \quad (66-2-\text{ج})$$

$$D = (n-1)^3(n-s^2) \quad (66-2-\text{د})$$

$$\varphi = 4\pi nd / \lambda \quad (66-2-\text{ه})$$

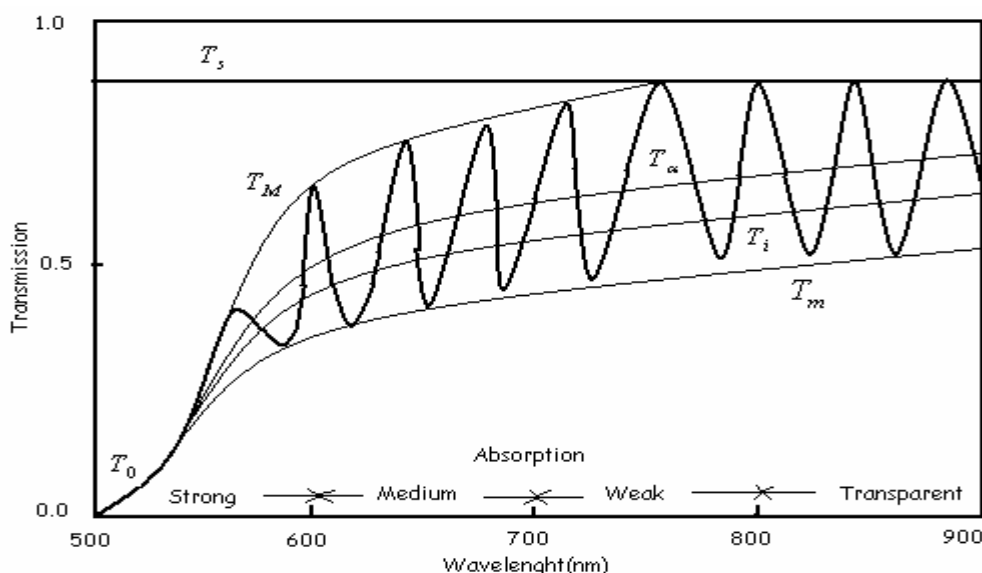
$$x = \exp(-\alpha d) \quad (66-2-\text{و})$$

در این صورت اکسترمم های فریزهای تداخلی می توانند به صورت زیر نوشته شوند:

$$T_M = \frac{Ax}{B - Cx + Dx^2} \quad (\cos \varphi = 1) \quad (67-2)$$

$$T_m = \frac{Ax}{B + Cx + Dx^2} \quad (\cos \varphi = -1) \quad (68-2)$$

برای تجزیه و تحلیل بهتر فرض می کنیم T_m و T_M توابع پیوسته ای از λ باشند، در این صورت برای هر λ ، یک T_m خواهیم داشت، یعنی $n(\lambda)$ و $x(\lambda)$ نیز توابع پیوسته ای از λ هستند. با توجه به طیف ناشی از پرتو عبوری که در شکل ۱۱-۲ دیده می شود، این طیف را می توان به چهار ناحیه متفاوت تقسیم کرد:



شکل (۱۱-۲)- نمایی از طیف عبوری از فیلم و زیرلایه. [۳۴]

الف) ناحیه شفاف:

در این ناحیه، $\alpha = 0$ یا $x = 1$. با جایگذاری معادلات (۶۶-۲) در (۶۷-۲) داریم [۳۴]:

$$T_M = \frac{2s}{s^2 + 1} \quad (69-2)$$

معادله اخیر با معادله (۶۲-۲) یکسان است و ماکریم فریزهای تداخلی، تنها تابعی از s می باشند. با جایگذاری معادلات (۶۶-۲) در (۶۷-۲) برای حالت $x = 1$ داریم:

$$T_m = \frac{4n^2 s}{n^4 + n^2(s^2 + 1) + s^2} \quad (70-2)$$

$$n = \left[M + (M^2 - s^2)^{1/2} \right]^{1/2} \quad (71-2)$$

$$M = \frac{2s}{T_m} - \frac{s^2 + 1}{2} \quad (72-2)$$

پس T_m تابعی از n و s است و در نتیجه n را می توان با استفاده از T_m و معادله (۶۴-۲) محاسبه کرد.

ب و ج) ناحیه جذب ضعیف و متوسط:

در این ناحیه، $0 < x < \alpha$. با تغیریق معکوس معادله (۶۹-۲) از معکوس معادله (۶۸-۲) حالتی

حاصل می شود که مستقل از x می باشد:

$$\frac{1}{T_m} - \frac{1}{T_M} = \frac{2C}{A} \quad (73-2)$$

با قرار دادن معادلات (۶۶-۲) در (۷۳-۲) می توان بترتیب معادلات زیر را بدست آورد:

$$n = \left[N + (N^2 - s^2)^{1/2} \right]^{1/2} \quad (74-2)$$

$$N = 2s \frac{T_M - T_m}{T_M T_m} + \frac{s^2 + 1}{2} \quad (75-2)$$

معادله (۷۳-۲) می تواند برای محاسبه (λ) از T_m و T_M به کار رود. با معلوم بودن (λ) ، $n(\lambda)$ ، تمام ثوابت در معادلات (۶۵-۲) معلوم می شوند و x را نیز می توان از راه دیگری محاسبه کرد. با حل معادله (۶۵-۲) داریم:

$$x = \frac{E_M - [E_M^2 - (n^2 - 1)^3(n^2 - s^4)]^{1/2}}{(n-1)^3(n-s^2)} \quad (76-2)$$

که در آن

$$E_M = \frac{8n^2s}{T_M} + (n^2 - 1)(n^2 - s^2) \quad (77-2)$$

با حل معادله شماره (68-2) داریم:

$$x = \frac{E_m - [E_m^2 - (n^2 - 1)^3(n^2 - s^4)]^{1/2}}{(n-1)^3(n-s^2)} \quad (78-2)$$

که در آن

$$E_m = \frac{8n^2s}{T_m} - (n^2 - 1)(n^2 - s^2) \quad (79-2)$$

با جمع کردن وارون روابط (61-2) و (68-2) داریم

$$\frac{2T_M T_m}{T_M + T_m} = \frac{Ax}{B + Dx^2} \quad (80-2)$$

با حل این معادله بر حسب x داریم:

$$x = \frac{F - [F^2 - (n^2 - 1)^3(n^2 - s^4)]^{1/2}}{(n-1)^3(n-s^2)} \quad (81-2)$$

که در آن

$$F = \frac{8n^2s}{T_i} \quad (82-2)$$

$$T_i = \frac{2T_M T_m}{T_M + T_m} \quad (83-2)$$

از معادلات (۸۳-۲) و (۸۵-۲) می‌توان دید که T_α ، منحنی است که از میان نقاط فریزها عبور می‌کند. تراگسیلندگی بدون تداخل T_α را می‌توان از طریق فریزهای تداخلی و با انتگرال گیری از معادله (۷۱-۲) در فاصله بین دو ماکریم و مینیم متواالی بدست آورد:

$$T_\alpha = \frac{1}{\pi} \int_0^\pi \frac{Ax}{B - Cx \cos \varphi + Dx^2} d\varphi \quad (84-2)$$

با فرض یک ناحیه محدود انتگرال گیری و ثابت بودن تمام پارامترها، حاصل انتگرال فوق عبارت است از:

$$T_\alpha = \frac{Ax}{[(B - Cx + Dx^2)(B + Cx + Dx^2)]^{1/2}} \quad (85-2)$$

با مقایسه رابطه فوق با معادلات (۶۷-۲) و (۶۸-۲) می‌توان نوشت:

$$T_\alpha = \sqrt{T_M T_m} \quad (86-2)$$

پس T_α ، تنها یک میانگین هندسی از T_M و T_m است. با حل معادله (۸۵-۲) برای x داریم:

$$x = \frac{\{G - [G^2 - (n^2 - 1)^6(n^2 - s^4)]\}^{1/2}}{(n - 1)^3(n - s^2)} \quad (87-2)$$

$$G = \frac{128n^4s^2}{T_\alpha^2} + n^2(n^2 - 1)^2(s^2 - 1)^2 + (n^2 - 1)^2(n^2 - s^2)^2 \quad (88-2)$$

د) ناحیه جذب قوی:

در این ناحیه، با توجه به اینکه جذب قوی است، فریزهای تداخلی ظاهر نمی‌شوند (آثار تداخلی بطور کلی از بین می‌روند) و راهی برای محاسبه n و x بطور مستقل در این ناحیه با استفاده تنها از طیف تراگسیل وجود ندارد. مقادیر n را می‌توان با استفاده از مقادیر بدست آمده در سه ناحیه قبلی تخمین زد و مقدار x را از روی روابط مربوط به آنها بدست آورد. در حالتی که α خیلی بزرگ باشد،

چهار منحنی T_m , T_i , T_α و T_0 بر هم منطبق می شوند که آنرا با T_0 نمایش می دهیم. اگر اثرات تداخلی نادیده فرض شوند، معادله (۶۶-۲) با شرط $1 < x$, به صورت روابط زیر در می آید:

$$T_0 \approx \frac{Ax}{B} \quad (89-2)$$

$$x \approx \frac{(n+1)^3(n+s^2)}{16n^2s} T_0 \quad (90-2)$$

۵) تعیین ضریب شکست:

ضریب شکست زیرلایه را می توان با اندازه گیری طیف تراگسیل تک زیرلایه تمیز و با استفاده از معادله (۶۲-۲) برای محاسبه s , تعیین کرد. برای تعیین ضریب شکست در ناحیه جذب ضعیف و متوسط، بایستی مقادیر T_m و T_M در λ های مختلف تعیین شود. به ازاء هر ماکریم، یک مینیمم و بالعکس خواهیم داشت، چون فرض کرده ایم که T_m و T_M ، منحنی های پیوسته ای هستند. دقت بکار رفته در تعیین در λ , به مقیاس به کار برد شده در نمودار تراگسیلندگی بستگی دارد. بایستی اشاره شود که مقادیر تراگسیل باید از منحنی های T_m و T_M , در هر طول موجی، خوانده شوند نه از طیف حقیقی. بعد از یافتن T_m و T_M به ازاء هر λ , از معادله (۷۱-۲) جهت تعیین ضریب شکست استفاده می کنیم. در اینجا، مقادیر بدست آمده، تفاوت چندانی با مقادیر حقیقی ندارند.

و) تعیین ضخامت:

اگر n_1 و n_2 ضرائب شکست مربوط به دو ماکریم (مینیمم) متوالی در λ_1 و λ_2 باشند، با استفاده از

معادله (۶۴-۲) داریم [۳۴]:

$$d_1 = \frac{\lambda_1 \lambda_2}{2(\lambda_1 n_2 - \lambda_2 n_1)} \quad (91-2)$$

رابطه فوق، نسبت به خطاهای n حساسیت زیادی دارد و رابطه دقیقی محسوب نمی شود.

به عنوان یک قاعده کلی، دو اکسترم آخر طیف را در رابطه اخیر قرار نمی‌دهیم. برای رسیدن به یک مقدار دقیق، بایستی \bar{d}_1 ، میانگین ضخامت‌های d_1 ، را محاسبه کنیم. از طریق \bar{d}_1 و n_1 ، و همچنین معادله (۶۴-۲)، جهت بدست آوردن مقادیر m استفاده می‌کنیم. با فرض مقادیر صحیح یا نیم صحیح برای هر m با ازاء هر λ و محاسبه ضخامت d_2 از طریق معادله (۶۴-۲)، که کمی با مقادیر d_1 اختلاف دارند، میانگین ضخامت‌های d_2 یعنی \bar{d}_2 را محاسبه می‌کنیم. مقادیر \bar{d}_2 بدست آمده، دارای دقت بهتری نسبت به مقادیر \bar{d}_1 می‌باشند، چون پراکندگی آنها کمتر است. حال با استفاده از مقادیر \bar{d}_2 و مقادیر دقیق m و با استفاده از معادله (۶۴-۲)، مقادیر مربوط به n_2 را بدست می‌آوریم. مقادی n_2 بددست آمده، به مقادیر واقعی بسیار نزدیکند. با برآش مقادیر بدست آمده n_2 و عملیات برونو یابی، می‌توان ضرائب شکست مربوط به طول موج‌های کوتاه‌تر را نیز تعیین کرد.

ز) محاسبه ضریب جذب α و ضریب خاموشی k :

بعد از محاسبه (λ, n) را نیز می‌توان با استفاده از هریک از منحنی‌های T_m ، T_i ، T_α و T_M و فرمول‌های مربوطه محاسبه کرد. (λ, α) نیز از طریق $x(\lambda)$ و d و بکار گیری معادله (۶۶-۲)، تعیین می‌شود. فرمولهای شامل T_m ، حساسیت بیشتری را نسبت به خطای d و n نشان می‌دهند. همچنین (λ, α) ، دارای حساسیت بیشتری در مورد خطای T_m نسبت به T_M دارد، بنابراین به نظر می‌رسد که معادله (۷۶-۲)، بهترین معادله برای استفاده در محاسبه α است و مقادیر حاصل از آن به مقادیر واقعی نزدیکترند. پس از آنکه (λ, α) بدست آمد، $k(\lambda)$ را نیز می‌توان با استفاده از معادله زیر محاسبه کرد:

$$k = \alpha \lambda / 4\pi \quad (92-2)$$

با این کار محاسبه ثوابت اپتیکی تکمیل می‌شود.

[۳۷-۳۵-۱۲-۳-۲-روش بهینه سازی چامبولیرون]

همانطوری که اشاره شد روش پوش منحنی (سوان پول) تنها زمانی قابل اجرا است که طیفهای تراگسیل بدست آمده از فیلمها دارای نقاط اکسترم (ماکزیمم و مینیمم های متوالی) باشند. در واقع اساس کار این روش بر پایه همین نقاط استوار است. در صورتیکه طیف بدست آمده از فیلم دارای چنین نقاط اکسترمی نباشد، بایستی از روش دیگری برای تعیین ثوابت اپتیکی فیلم نازک استفاده شود. روشهای برازشی از جمله این موارد می باشند که در بخش ۲-۱۰-۳-۲- به برخی از آنها اشاره گردید. از جمله مدل های دیگری که می توان در صورت عدم وجود نقاط اکسترم در طیف تراگسیل فیلم، به منظور استخراج ثوابت اپتیکی یک فیلم نازک، مورد استفاده قرار داد، روش بهینه سازی است که توسط چامبولیرون و همکارانش، با در نظر گرفتن برخی محدودیت های فیزیکی که در مورد نیمه هادی ها و عایق ها در ناحیه پراکندگی معتبر است، ارائه شده است. بنابراین یک روش بهینه سازی نقطه ای برای حداقل برازش مربعی طیف های تراگسیل تجربی در برابر طیف هائی که از طریق محاسبه (λ) و $n(\lambda)$ بدست می آیند، صراحتاً برای ایجاد این محدودیت های صحیح گسترش یافته است. اساس کلی این روش بر این پایه استوار است که با توجه به محدوده تغییراتی که برای ثوابت اپتیکی n و d وجود دارد، برای هر طول موج خاصی، یک جواب خاص با استفاده از معادله

$$T_M = \frac{Ax}{B - Cx + Dx^2}$$

گرفتن برخی از مدل های برازشی (مانند مدل کوشی، سلمیر و غیره)، مجموعه جوابهایی را که به ازاء آنها، عبارت $\sum_{i=1}^N [T_i - T(\lambda_i, n_i, s, d)]^2$ کمترین مقدار را داشته باشد، انتخاب می شوند. در عبارت آخر، T_i مقدار تجربی تراگسیل مربوط به i امین طول موج است.

خوب‌بختانه نرم افزاری تحت عنوان نرم افزار پوما^۱ وجود دارد که می‌توان از آن برای مشخصه یابی فیلم‌ها استفاده کرد. این نرم افزار کاری از ایوان چامبولیرون و همکاران^۲ از دانشگاه کمپیناس بزرگی می‌باشد.

۴-۲- مورفولوژی

۴-۱- میکروسکوپ‌های الکترونی

یکی از تجهیزات بزرگ علمی میکروسکوپ الکترونی است که براساس قوانین نوری کار می‌کند در این دستگاه شار الکترون پر انرژی از یک منبع الکترون خارج شده و تحت شتاب به طرف هدف می‌رود. دو نوع گسترده از میکروسکوپ‌های الکترونی که به میکروسکوپ‌های الکترونی عبوری (TEM^۳) و میکروسکوپ‌های الکترونی روبشی (SEM^۴) معروف هستند را معرفی می‌کنیم. اساس کار هر دو آنها مبنی بر پرتاب الکترون به سمت فلز می‌باشد، اما در نوع عبوری الکترون از فلز عبور می‌کند ولی در نوع روبشی از فلز عبور نمی‌کند، و اساس تشکیل تصویر در آنها به مقدار الکترونهای بازتابیده شده و عبور کرده بستگی دارد حال به تشریح گسترده در مورد آنها می‌پردازیم.

۴-۱-۱- میکروسکوپ‌های الکترونی عبوری

اصول کار آن مشابه با میکروسکوپ‌های نوری (میکروسکوپ‌های فوتونی) است اما در پرتوهای مورد استفاده به جای فوتونها از الکترونهای که طول موج آنها در حد آنگسترم است استفاده می‌شود. الکترونها به وسیله اختلاف پتانسیلی بین KV ۶۰ الی ۱۰۰ ولت دارای شتاب می‌شوند، دسته الکترونی به وسیله دو میدان مغناطیسی کانونی می‌شود.

¹Puma

²Ivan chambouleyron and et al.

³Transmission Electron Microscope

⁴Scanning Electron Microscopy

تصویر بر روی پرده‌ی فلورسان تشکیل شده و با یک ذره بین دو چشمی تنظیم می‌گردد. تصویر بر روی صفحات عکاسی که زیر پرده فلورسان قرار دارد ثبت می‌شود. نمونه بر روی حامل قرار گرفته و داخل لوله‌ای که خلاء است وارد می‌شود. ساختمان این میکروسکوپها شامل یک لوله بزرگ که طول آن $0.75/5$ متر و قطر آن $30/40$ سانتی‌متر است و از جنس فولاد است که با سرب داخل آن را پوشش داده اند تا بتواند الکترونها را به خود جذب کند و مانع از بیرون رفتن آن شود.

تفنگ الکترونی این میکروسکوپ‌ها با استفاده از گرم کردن فیلمان تنگستن صورت می‌گیرد و در نتیجه از خود الکترونها با موج کوتاه منتشر می‌کنند که نور قابل توجهی دارد و این کار در محیط خلاء صورت می‌گیرد و بعد توسط یک ترانسفورماتور شتاب می‌گیرد و برای افزایش شتاب آن از اختلاف پتانسیل بین کاتد و آند استفاده می‌شود. مثلاً به آند ولتاژی معادل بر 100 KV ولت و به کاتد ولتاژی برابر 2 ولت می‌دهند تا الکترونها با سرعت خیلی بالا خود را به سمت آند پرتاپ می‌کنند و چون محیط آن تحت خلاء است سرعت چندین برابر می‌شود حال اگر صفحه آندی سوراخ دار باشد از مرکز آن وارد لوله میکروسکوپ می‌شود. اخیراً به جای فیلمانهای تنگستنی از لانتانیوم هگزا بورايد استفاده می‌شود که دارای قدرت بالاتر ولی عمر کمتر نسبت به فیلمانهای تنگستنی است.

۲-۱-۴-۲- میکروسکوپ‌های الکترونی روبشی

در این نوع میکروسکوپ الکترونی، الکترونها اولیه که از یک کاتد کنده می‌شوند در لوله میکروسکوپ در خلاء پیش می‌روند و در مسیر خود به سطح نمونه مورد مطالعه می‌رسند و الکترونها سطح نمونه را تحریک و پر انرژی کرده و آنها را جاروب می‌کنند و از مجموع الکترونها پراش یافته و الکترونها جاروب شده از سطح نمونه (الکترونها ثانویه) پس از عبورشان از دستگاه های تشديد کننده (آمپلی فایر) و لامپ کاتدی (تبديل به جريان الکتریکی) و تابش به صفحه تلویزیونی، تصویر ایجاد می‌شود.

این میکروسکوپ که برای بررسی نمونه های بزرگ مورد استفاده قرار میگیرد دارای قدرت تفکیک ۱۵ Å است، پرتوهای الکترونی توسط یک، دو یا سه عدسی همگرا و کانونی می شوند. هرچه دسته پرتو الکترونی افزایش یابد موجب کاهش قدرت تفکیک و افزایش جریان و لذا افزایش کیفیت تصویر می شود و کاهش جریان باعث افزایش قدرت تفکیک و افزایش نویز و لذا کاهش کیفیت تصویر میشود، جریان الکترونی توسط افزایش جریان در فیلمان که از وانادیم یا تنگستن ساخته می شود انجام می شود و موجب کاهش عمر فیلمان میشود در کل سطح مقطع پرتو الکترونی عامل اساسی در قدرت تفکیک می باشد. برای جلوگیری از انباسته شدن الکترونها بر روی سطح یک لایه فلز هادی الکتریسیته مثل طلا کشیده می شود و بعد زیر میکروسکوپ قرار می گیرد همچنین نمونه های ریز (نظیر پودرهای) باید روی یک فیلم هادی نظیر آلومینیوم، پخش شده و کاملاً خشک شوند. علاوه بر این، نمونه ها بایستی عاری از مایعاتی با فشار بخار بالا نظیر آب، محلول های پاک کننده آلی و فیلم های روغنی باقی مانده باشند [۵۷].

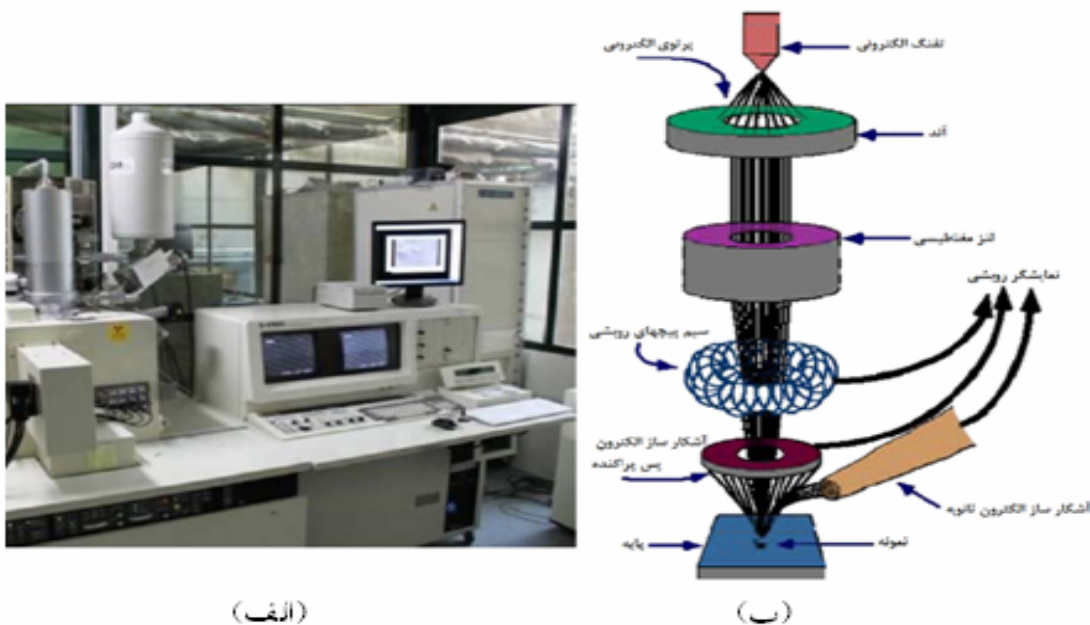
در میکروسکوپ الکترونی روبشی گسیل میدان (FESEM^۱) که از بزرگنمایی بهتری برخودار است پرتو الکترونی با چشممه ای که به نام چشممه سرد معروف است تولید می شود. در این روش یک سوزن باریک و نازک تنگستن در مقابل یک کاتد و سپس یک آند قرار داده شده است. باریکه الکترونی با عبور از ولتاژ بالای بین کاتد و آند حدود ۱۰۰۰ برابر نسبت به میکروسکوپ های معمولی باریکتر می شود و بنابراین تصویر بهتری را از سطح نمونه می گیرد. در اثر برخورد این پرتوهای الکترونی به نمونه، الکترون های ماده برانگیخته می شوند و در هنگام بازگشت به حالت پایه به شکل پرتو الکترونی از سطح نمونه منتشر شده و توسط یک آشکارساز جمع آوری و آنالیز می شوند. این پرتوهای برگشتی از نمونه، برای مشخصه یابی خواص مختلفی از ماده از قبیل: ترکیب شیمیایی، پستی و بلندی سطح، خواص الکتریکی و مغناطیسی و... به کار می روند. ستون حرکت الکترون ها و نیز محفظه نگهدارنده ای نمونه در SEM همیشه باید در خلاء باشد زیرا اگر نمونه در محیط پر از گاز قرار گیرد، به دلیل

^۱Field Emission Scanning Electron Microscopy

نایپایداری بالای پرتو، امکان تولید یا القای پرتو الکترونی وجود ندارد. درخشندگی ووضوح هر نقطه از تصویر SEM، بستگی به شدت الکترون‌های بازگشته از سطح نمونه دارد، که آن نیز شدیداً وابسته به کیفیت موضعی سطح است. بدین ترتیب، می‌توان معیاری از پستی و بلندی سطح به دست آورد. در تصاویر به دست آمده، نقاط روشن نشان دهنده سطح برجسته و نقاط تیره‌تر تصویر، نشان دهنده سوراخ‌ها و فرورفتگی‌های سطحی است [۵۷].

میکروسکوپ‌های SEM اطلاعات زیر را درخصوص نمونه در اختیار می‌گذارند:

توبوگرافی نمونه(خصوصیات سطوح) و مورفولوژی(شکل ، اندازه و نحوه قرارگیری ذرات در سطح جسم) و ترکیب(در صورتی که دستگاه به آشکار سازهای پرتو ایکس مجهز باشد می‌توان با ثبت پرتو ایکس ساطع شده از عناصر موجود در نمونه درصد هر یک از عناصر موجود را اندازه گیری نمود).
 شکل ۱۲-۲-الف) میکروسکوپ FESEM موجود در دانشکده فنی دانشگاه تهران و شکل ۱۲-۲-ب) نمایی از اجزاء داخلی مسیر عبور باریکه الکترونی تا محل نمونه را نشان می‌دهد .

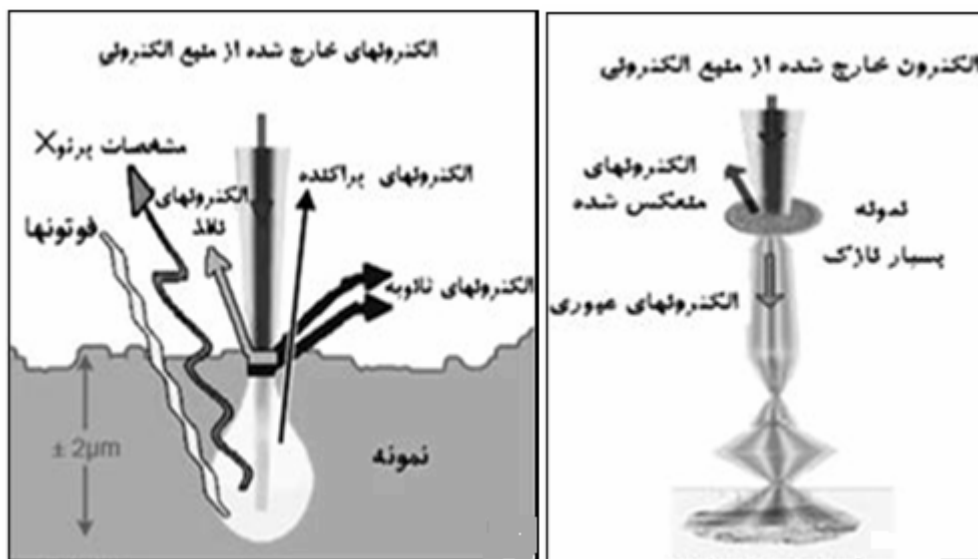


شکل ۱۲-۲-الف) - نمایی از میکروسکوپ FESEM موجود در دانشکده فنی دانشگاه تهران و ب) - نمایی از اجزاء داخلی مسیر عبور باریکه الکترونی تا محل نمونه

۳-۱-۴-۲- ویژگیهای میکروسکوپ های الکترونی TEM و SEM

نمونه در TEM باید خیلی نازک باشد ولی در SEM این طور نیست و فقط آن را با لایه نازکی از طلا روکش می کنند و این عیب بزرگی در مقابل میکروسکوپ های SEM می باشد. دیگر این که اختلاف پتانسیل در TEM بیشتر از SEM است و لذا باعث نفوذ بیشتر به قطعه می شود، در نوع TEM لوله میکروسکوپ بلندتر از SEM می باشد ، اتاق جسم TEM نسبت به SEM کوچکتر است ، تصویر نهایی بدست آمده از SEM به صورت سه بعدی است ولی در TEM به صورت دوبعدی است قدرت تفکیک از میکروسکوپ های نوری بیشتر و از SEM کمتر است.

شکل (۱۳-۲ - الف) شماتیک کار میکروسکوپ الکترونی SEM و (۱۳-۲ - ب) شماتیک میکروسکوپ الکترونی TEM را نشان میدهد [۳۹].



شکل(۱۳-۲-ب)شماتیک کار میکروسکوپ الکترونی

TEM

شکل(۱۳-۲-الف)شماتیک کار میکروسکوپ الکترونی

SEM

فصل سوم

بررسی خواص اکسید کادمیوم ایندیوم

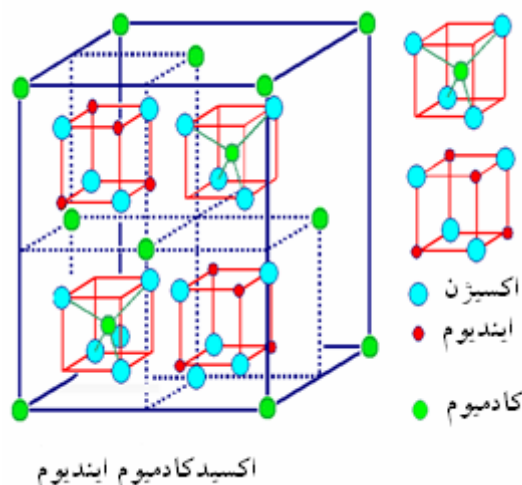
۱-۳- مقدمه

اکسید کادمیوم ایندیوم یا اکسید کادمیوم ایندیت یک ترکیب سه تایی با فرمول شیمیایی CdIn_2O_4 و جرم مولی gr mol^{-1} ۴۰۶/۰۴۴۶ تشکیل شده از ۱۵/۷۶۱ درصد اکسیژن ۵۶/۵۵۴ درصد ایندیوم و ۲۷/۶۸۴ درصد کادمیوم می‌باشد. این ترکیب سه تایی از نیمرساناهای نوع n و دارای گاف نواری مستقیم پهن در حدود 3 eV می‌باشد [۶].

ساختار بلوری این ماده، مکعبی مرکز وجهی با ثابت‌های شبکه $a=b=c=0.916 \text{ nm}$ و 90° با شبکه بلوری متقارن چرخان می‌باشد، گروه فضایی ای که این ماده در آن جای دارد $\alpha=\beta=\gamma=Fd3m$ می‌باشد [۳۸].

اکسید کادمیوم ایندیوم که معمولاً از ترکیب دو محلول اکسید کادمیوم (CdO) و اکسید ایندیوم (In_2O_3) حاصل می‌شود. دارای مقاومت ویژه پایین و در حدود $10^3 \Omega \text{ cm}^{-1}$ بوده و در حالتی که هیچ آلایشی روی آن صورت نگرفته باشد تراکم بار حاملهای آن زیاد و در حدود 10^{20} cm^{-3} می‌باشد.

شکل (۱-۳) نمای CdIn_2O_4 را به صورت شماتیک نشان می‌دهد.



شکل (۱-۳) نمای شماتیک اکسید کادمیوم ایندیوم(CdIn_2O_4)

۲-۳- آشنایی با پیش ماده های اصلی CdIn_2O_4

در این پایان نامه اکسید کادمیوم ایندیوم از ترکیب دو پیش ماده اکسید کادمیوم و اکسید ایندیوم بدست می آید که در ذیل به طور اجمال این پیش ماده ها معرفی می شوند.

۲-۱- کادمیوم و اکسید کادمیوم

کادمیوم، عنصری فلزی نرم به رنگ خاکستری نقره ای متالیک و غیرقابل اشتعال بوده، دارای عدد اتمی ۴۸ و جرم اتمی $112/4$ می باشد. این ماده از مقاومت الکتریکی بسیار پایین در حدود 10^{-8} برخوردار بوده و یکی از مواد اصلی تشکیل دهنده ترکیبات اکسید کادمیوم می باشد. اکسید کادمیوم یک ترکیب معدنی با ساختار مکعبی از گروه فضایی $\text{Fm}3\text{m}$ و اندازه ثابت شبکه آن \AA ۴/۶۹۵۸ می باشد. این اکسید می تواند به صورت پودر بی شکل و بی رنگ و یا بلورهای قهوه ای یا قرمز باشد. اکسید کادمیوم نیمرسانای نوع n با پهنا گاف نواری $2/16 \text{ eV}$ در دمای اتاق می باشد [۶۱]. این اکسید دارای جرم مولکولی 41 gr mol^{-1} / $128/41$ و دارای چگالی $8/150 \text{ gr cm}^{-3}$ در حالت بلوری و $6/95 \text{ gr cm}^{-3}$ در حالت آمورف می باشد.

۲-۲- ایندیوم و اکسید ایندیوم

ایندیوم عنصری فلزی، نرم و چکش خوار است. به رنگ سفید نقره ای و براق می باشد. عدد اتمی آن ۴۹ و جرم اتمی آن، $114/82$ می باشد. این عنصر ماده اصلی ترکیبات اکسید ایندیوم است. این اکسید یک ترکیب شیمیایی دارای شبکه مکعبی و به صورت دو شکل فیزیکی آمورف و بلوری بوده که شکل آمورف آن سفید مایل به خاکستری است و در آب به سختی حل می شود. این اکسید در حالت بلوری به رنگ زرد مایل به سبز بوده، در آب و حتی اسید ها نامحلول است. این اکسید یک

نیمرسانای نوع n با پهنه‌ای گاف نواری $\text{eV} \frac{3}{2}$ در دمای اتاق می‌باشد [۶۲]. جرم مولکولی آن $\text{gr}^{-1} 277/64 \text{ mol}^{-1}$ و چگالی آن در حدود $7/179 \text{ gr cm}^{-3}$ می‌باشد.

۳-۳- کاربردهای اکسید کادمیوم ایندیوم

لایه‌های نازک از اکسید‌های رسانای شفاف(TCO^۱) امروزه کاربردهای فراوانی در صنایع مختلف از جمله در اپتوالکترونیک، میکروالکترونیک، ساختمان و انرژی پیدا کرده‌اند، از آنها در ساخت بسیاری از قطعات الکترونیکی و اپتو الکترونیکی نظیر حسگرهای گازی، سلولهای خورشیدی و صفحات نمایشگر استفاده می‌شود. اکسیدهای رسانای شفاف ترکیبات ویژه‌ای هستند که از نظر فیزیکی دارای خواص منحصر به فردی می‌باشند، که از جمله آنها می‌توان به شفافیت اپتیکی زیاد در ناحیه مرئی و رسانندگی الکتریکی بالا اشاره نمود. بنابراین این مواد می‌توانند دارای شفافیت اپتیکی دی الکتریک‌ها باشند در حالی که رسانندگی الکتریکی نیز از خود نشان می‌دهند. به دلیل خواص بسیار جالب الکتروکرومیکی، الکتروشیمیایی، اپتیکی و الکتریکی اکسید کادمیوم ایندیوم به عنوان رسانای شفاف یکی از جالب ترین مواد در صنایع مختلف می‌باشد. در سالهای اخیر جهت استفاده در الکترودهای مربوط به باتریهای الکتروشیمیایی، لوازم الکتروکرومیکی، سلولهای خورشیدی و صفحات نمایش تخت این ماده مورد توجه واقع شده است.

برخی از کاربردهای این ماده عبارتند از:

۳-۳-۱- سلولهای خورشیدی

سلول خورشیدی یک قطعه الکترونیکی حالت جامد است که انرژی نور خورشید را مستقیماً توسط اثر فتوولتاییک به الکتریسیته تبدیل می‌کند [۴۰].

^۱Transparent Conducting Oxide

با اتصال یک نیمه هادی نوع p به یک نیمه هادی نوع n ، الکترون‌ها از ناحیه n به ناحیه p و حفره‌ها از ناحیه p به ناحیه n منتقل می‌شوند. با انتقال هر الکترون به ناحیه p ، یک یون مثبت در ناحیه n و با انتقال هر حفره به ناحیه n ، یک یون منفی در ناحیه p باقی می‌ماند. یون‌های مثبت و منفی میدان الکتریکی داخلی ایجاد می‌کنند که جهت آن از ناحیه n به ناحیه p است. این میدان با انتقال بیشتر باربرها (الکترون‌ها و حفره‌ها)، قوی تر و قوی تر شده تا جایی که انتقال خالص باربرها به صفر می‌رسد. در این شرایط ترازهای فرمی دو ناحیه با یکدیگر هم سطح شده‌اند و یک میدان الکتریکی داخلی نیز شکل گرفته‌است. اگر در چنین شرایطی، نور خورشید به پیوند بتابد، فوتون‌هایی که انرژی آنها از انرژی شکاف نیمه هادی بیشتر است، زوج الکترون-حفره تولید کرده و زوج‌هایی که در ناحیه تهی یا حوالی آن تولید شده‌اند شانس زیادی دارند که قبل از بازترکیب، توسط میدان داخلی پیوند از هم جدا شوند. میدان الکتریکی، الکترون‌ها را به ناحیه n و حفره‌ها را به ناحیه p سوق می‌دهد. به این ترتیب تراکم بار منفی در ناحیه n و تراکم بار مثبت در ناحیه p زیاد می‌شود. این تراکم بار، به شکل ولتاژی در دو سر پیوند قابل اندازه گیری است. اگر دو سر پیوند با یک سیم، به یکدیگر اتصال کوتاه شود، الکترون‌های اضافی ناحیه n ، از طریق سیم به ناحیه p رفته و جریان اتصال کوتاهی را شکل می‌دهند. اگر به جای سیم از یک مصرف کننده استفاده شود، عبور جریان از مصرف کننده، به آن انرژی می‌دهد. به این ترتیب انرژی فوتون‌های نور خورشید به انرژی الکتریکی تبدیل می‌شود. هر چه میدان الکتریکی درون پیوند قوی تر باشد، ولتاژ مدار باز بزرگتری بدست می‌آید. برای دست یافتن به یک میدان الکتریکی بزرگ، باید اختلاف ترازهای فرمی دو ماده p و n از یکدیگر زیاد باشد. برای این منظور باید انرژی شکاف نیمه هادی بزرگ انتخاب شود. بنابراین ولتاژ مدار باز یک سلول خورشیدی با انرژی شکاف آن افزایش می‌یابد. اما افزایش انرژی شکاف سبب می‌شود، فوتون‌های کمتری توانایی تولید زوج الکترون-حفره داشته باشند و بنابراین جریان اتصال کوتاه کمتری نیز تولید شود. بنابراین افزایش انرژی شکاف، روی ولتاژ مدار باز و جریان اتصال کوتاه سلول دو اثر متفاوت دارد.

سلولهای فتوولتائیک که غالباً از نوع نیمرساناهای سیلیکونی هستند، با جذب فوتون فرودی و آزاد کردن الکترون (باتوجه به توضیحات بالا) مستقیماً تابش فرودی را به جریان الکتریکی تبدیل می‌کنند. لایه‌های نازک اکسید کادمیوم ایندیوم به دلیل جذب بالا و بازتاب کم در محدوده نور فرابینفس به عنوان پوششهای شفاف و ضد بازتاب در فرایند سلولهای خورشیدی سیلیکونی می‌توانند مورد استفاده واقع شوند [۴۰].

۲-۳-۳-پنجره‌های اپتیکی

شیشه‌های فتوکرومیک بر اثر تابش نورهای الکترومغناطیسی در نزدیکی نورفراپنفس طیف عبوری خود را تغییر می‌دهد. یعنی تاثیر نور فرابینفس بر روی یک شیشه اپتیکی آنرا تیره می‌کند و درجه عبور آن کم می‌شود و وقتی که مجدداً در مجاورت نور مرئی قرار گرفت دوباره تغییر رنگ می‌دهد. اکسید کادمیوم ایندیوم به دلیل عبور بالا در ناحیه مرئی و جذب تابشها در ناحیه فرابینفس به عنوان قطعه سوئیچینگ اپتیکی الکتروکرومیک در پنجره‌های اپتیکی [۴۱ و ۴۲] به کار می‌روند. این پنجره‌ها علاوه بر داشتن چشم انداز، به دلیل شفافیت در ناحیه مرئی، می‌توانند انرژی خورشیدی و تابش‌های فرابینفس را جذب کرده و در مصرف انرژی صرفه جویی نمایند.

۳-۳-۳-حسگرهای گازی

در محیط زندگی ما ممکن است آلاینده‌ها و گازهای بسیاری وجود داشته باشند که در نهایت منجر به تخریب محیط زیست، ایجاد بارانهای اسیدی، اثرات گلخانه‌ای، تخریب لایه ازن و مسمومیتهای خطرناک در افراد شود. برای تشخیص این گازها و مواد شیمیایی به ابزاری نیازمندیم که بتوانیم آنها را تشخیص دهیم، مدت‌ها است که مواد نیمرسانایی که مقاومت سطحی آنها در اثر واکنش با یک گاز فعال تغییر می‌کند، مورد مطالعه قرار گرفته‌اند. در این مواد جذب شیمیایی گاز فعال در سطح ماده باعث تغییر در رسانایی الکتریکی آن می‌گردد بدین ترتیب از این مواد نیمرسانا می‌توان

به عنوان حسگرهای گازی استفاده نمود[۶۰]، که در این میان لایه های نازک اکسید کادمیوم ایندیوم به عنوان نیمرسانای اکسیدی می توانند حسگرهای خوبی برای برخی از گازها یی همچون هیدروژن و... باشند.

۴-۳-بررسی خواص ساختاری واپتیکی اکسید کادمیوم ایندیوم

۴-۱-بررسی طیف های XRD در نمونه های CdIn_2O_4

میندوزا^۱ و همکارانش در سال ۲۰۱۰ لایه های نازک CdIn_2O_4 را به روش سل ژل تهیه کردند [۴۳]. این لایه ها به شیوه غوطه وری و بروی زیرلایه شیشه تهیه شدند. در این گزارش از ترکیب دو پیش ماده اکسید کادمیوم و اکسید ایندیوم با تغییر مقدار ایندیوم در محلول نهایی از ۵۵٪ تا ۷۹٪ با نرخ ۴٪ استفاده شده است که نمونه های بدست آمده در دمای 100°C خشک سازی و سپس در شرایط زیر بازپخت شده اند؛

(۱) در دمای 600°C در حالت خلاء به مدت یک ساعت

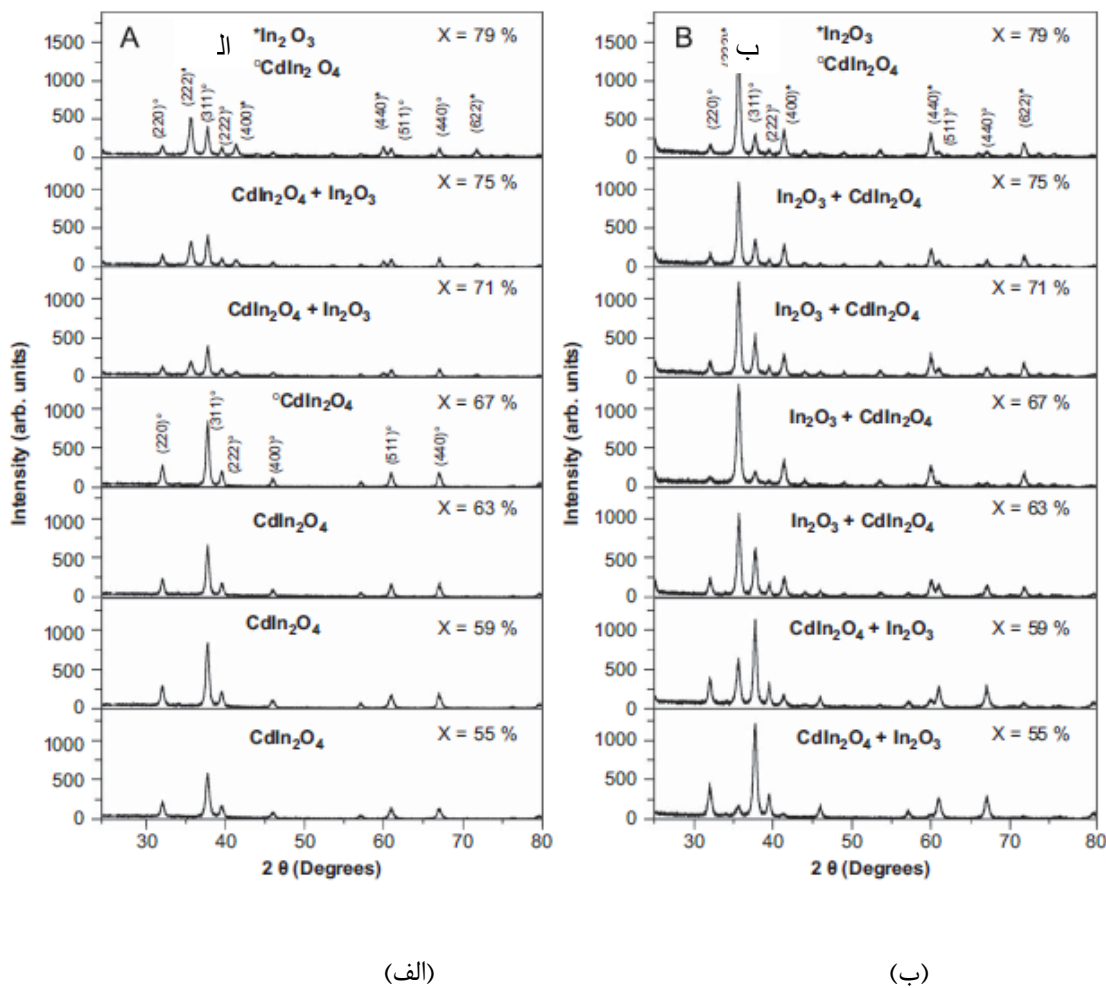
(۲) در دمای 350°C تحت اثر گازهای H_2/N_2 (۹۶/۴) به مدت یک ساعت

(۳) در دمای 350°C تحت اثر گاز هیدروژن به مدت یک ساعت

که در این گزارش ضخامت نمونه ها توسط یک پروفایل متر^۲ (Sloan DektakII) اندازه گیری شد و مقدار آن به طور متوسط حدود 380 nm تخمین زده شد.

شکل (۲-۳) نمودار XRD نمونه های تهیه شده بر روی لایه های شیشه ای را نشان می دهد.

¹ M.A.Flores Mendoza
² profiloetemr



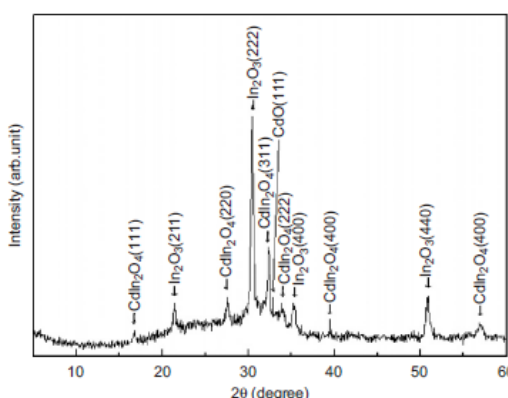
شکل (۲-۳) طرح پراش پرتو X برای نمونه های CdIn_2O_4 (الف) بدون بازپخت و (ب) بازپخت شده [۴۳].

در این گزارش نمونه های بازپخت نشده با مقدار ۰/۶۷٪ ایندیوم و یا کمتر ($x = 0/67$)، ساختار بلوریمکعبی چرخان را شامل می شد و برای $x > 0/67$ ساختار بلوری شامل $\text{In}_2\text{O}_3 + \text{CdIn}_2\text{O}_4$ مشاهده شد و به طور آشکار اثری از ساختار CdO در آن مشاهده نشد و وقتی نمونه ها در حالت خلا و در دمای 600°C به مدت ۶۰ دقیقه بازپخت شدند تغییرات ساختاری مشاهده گردید، بطوریکه ساختار اکسید ایندیوم برای همه لایه ها با درصد های مختلف از مقدار ایندیوم مشاهده شد و همچنین شدت قله ها در حالت بازپخت در خلا بیشتر و نیم پهنهای ماکریکم باریکتر شده است و پس

از این امر اندازه دانه ها برای CdIn_2O_4 مقدار ۲۱ nm تا ۲۸ nm و برای In_2O_3 مقدار ۱۸nm تا ۲۶nm محاسبه شد.

طرح پراش پرتو X برای نمونه های بازپخت شده تحت گاز های N_2 / H_2 و تحت گاز هیدروژن با دمای بازپخت 100°C شبیه به نمونه های بدون بازپخت بوده است که در این گزارش نشان داده نشده است.

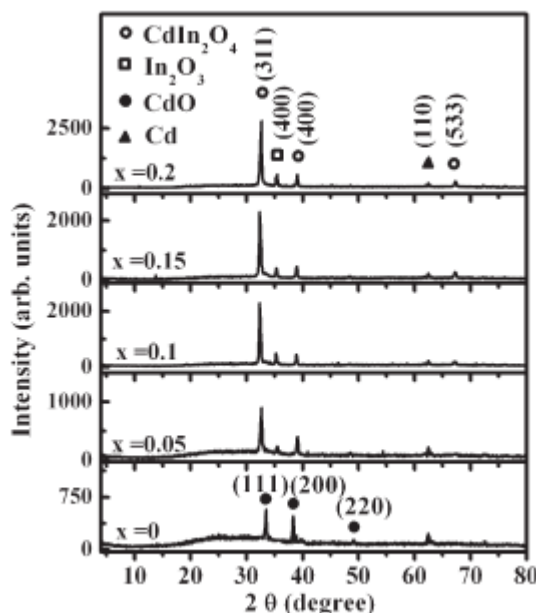
در گزارش دیگری یانگ^۱ و همکارانش در سال ۲۰۰۶ نمونه های نازک CdIn_2O_4 را به روش پاشندگی مغناطیسی تهیه کردند [۴۴]. شکل (۳-۳) نمودار XRD مربوط به لایه های نازک CdIn_2O_4 را در حالی نشان می دهد که مقدار اکسیژن ۴٪/۲۹ و دمای زیر لایه 250°C بوده و سپس لایه های تهیه شده تحت گاز N_2 در دمای 400°C برای مدت ۶۰ دقیقه بازپخت شده اند. آنالیز مربوط به XRD حاکی از آن است نمونه ها به طور واضح ساختار بلوریداشته و علی الخصوص شامل فاز CdIn_2O_4 و In_2O_3 می باشد. با استفاده از فرمول دبای شرر ($D = k\lambda/\beta \cos \theta$) اندازه دانه CdO به طور متوسط برای CdIn_2O_4 مقدار ۱۶/۰۶ nm و برای In_2O_3 مقدار ۲۴/۷۴ nm و برای CdO مقدار $26/0.9$ nm محاسبه گردید.



شکل (۳-۳) طرح پراش پرتو X لایه های نازک CdIn_2O_4 بازپخت شده در دمای 400°C برای مدت ۶۰ دقیقه [۴۴]

^۱ F.F.Yang

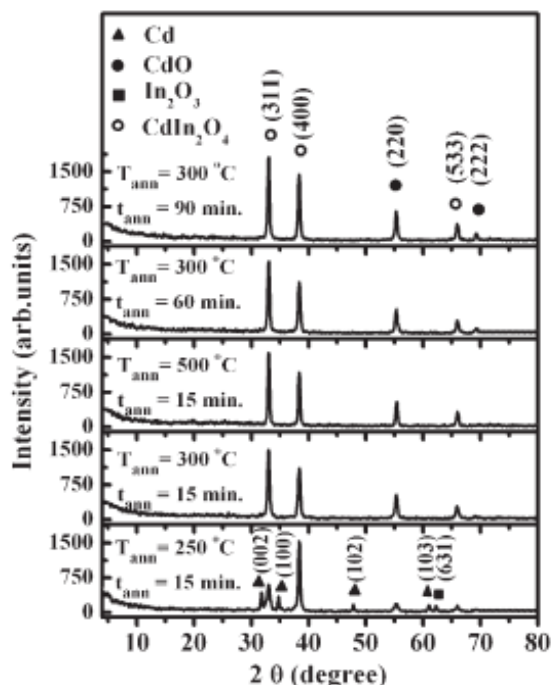
در گزارش دیگری واک کاد^۱ [۴۵] و همکارانش در سال ۲۰۰۷ نمونه های نازک $(\text{In}_2\text{O}_3)_x$ - CdO_{1-x} را به روش تبخیر باریکه یونی تهیه کردند [۴۵]. شکل (۳-۴) نمودار XRD مربوط به نمونه های تهیه شده با مقادیر متفاوت x و در حضور فازهای مختلف آن می باشد که نشان می دهد با $x=0$ هیچ فازی از CdIn_2O_4 تشکیل نشده است و تماماً مربوط به فاز CdO با راستای (۱۱۱) و (۲۰۰) و (۲۲۰) می باشد و برای مقادیر دیگر x فاز CdIn_2O_4 نیز با راستاهای (۳۱۱) و (۴۰۰) و (۵۳۳) که راستای ترجیحی آن (۳۱۱) می باشد تشکیل شده است.



شکل (۴-۳) طیف پراش پرتو X نمونه های $\text{CdO}_{1-x}(\text{In}_2\text{O}_3)_x$ با مقادیر x متفاوت [۴۵]

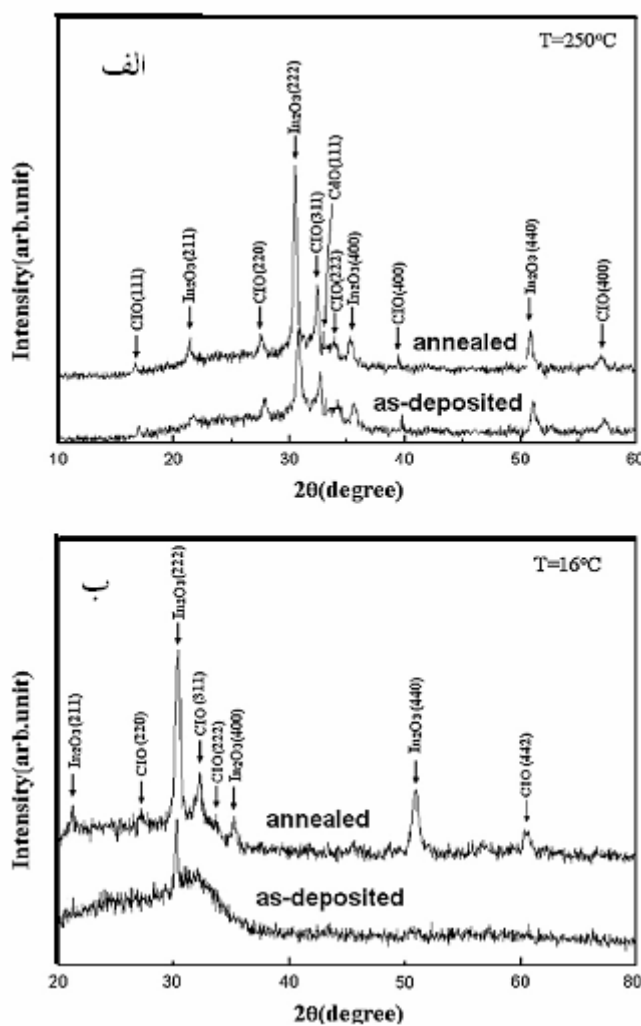
^۱ M.M.Wakkad

شکل (۳-۵) نمودار XRD مربوط به نمونه های تهیه شده توسط همان گروه قبل با همان روش با شرایط $x=0/1$ و بازپخت در دماها و با زمان های مختلف می باشد [۴۵]. طرح پراش نشان می دهد که نمونه ها بصورت بلوری با ساختار مکعبی می باشند و با افزایش دما و زمان بازپخت فازاصلی CdO و CdIn_2O_4 می باشد و نیم پهناى ماکزیمم با افزایش دما و زمان کاهش پیدا می کند و این نشان دهنده این است که با افزایش دمای بازپخت اندازه دانه ها افزایش می یابند.



شکل (۳-۵) طیف پراش پرتو X نمونه های CdIn_2O_4 با $x=0/1$ بازپخت شده در دماها و زمان های مختلف [۴۵]

در گزارش دیگری یانگ و همکارانش در سال ۲۰۰۸ نمونه های نازک CdIn_2O_4 را به روش پاشندگی مغناطیسی تهیه کردند [۴۶]. این لایه ها در دمای $C^{\circ} 400$ تحت گاز N_2 به مدت ۶۰ دقیقه بازپخت شدند. شکل (۳-۳) نمودار مربوط به نمونه های CdIn_2O_4 قبل و بعد از بازپخت می باشد.



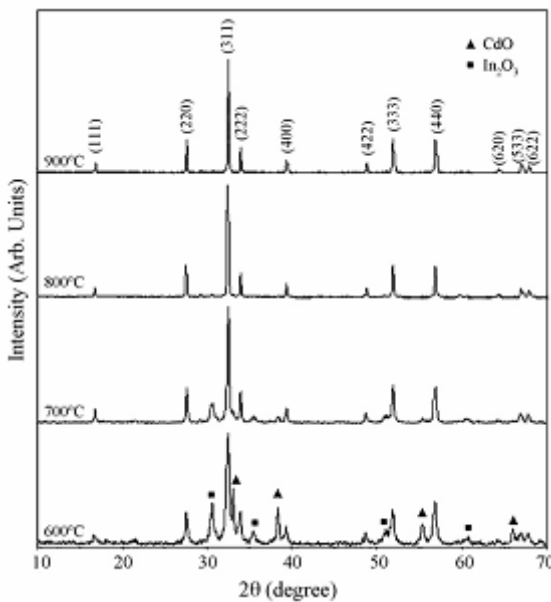
شکل (۳-۳) طیف پراش پرتو X نمونه های بدون بازپخت و بازپخت شده (الف) با دمای زیر لایه $C^{\circ} 250$ (ب) با دمای زیر لایه $C^{\circ} 16$ [۴۶].

شکل (۳-۳-الف) که مربوط به لایه هایی با دمای زیر لایه $C^{\circ} 250$ ، ساختار بلوری را نشان می دهد که شامل فاز اصلی CdIn_2O_4 و فاز In_2O_3 در هر دو حالت قبل و بعد از بازپخت می باشد و شکل (۳-۳-ب) مربوط به لایه هایی با دمای زیر لایه $C^{\circ} 16$ است که در حالت قبل از بازپخت فقط فاز

In_2O_3 با راستای ترجیحی (۲۲۲) را نشان می‌دهد و هیچ فازی از CdIn_2O_4 در آن وجود ندارد و این امر نشان می‌دهد که برای تشکیل فاز CdIn_2O_4 دمای زیر لایه امری ضروری است. با توجه به هر دو شکل شدت قله‌ها پس از بازپخت افزایش یافته و نیم پهنه‌ای ماکزیمم باریکتر شد. بنابراین میانگین اندازه دانه‌ها با محاسبه بروطیق فرمول دبای شرر بزرگتر شده است و از طرفی نیز قله‌های دیگر در شکل (ب) ظاهر شده است و مقدار ثابت شبکه برای CdIn_2O_4 در حالت (الف) برابر با ۹/۱۵۱۶ و برای حالت (ب)، ۹/۲۱۰۸ بدست آمده است که با مقدار تعیین شده در کارتھای JCPDS^۱) مطابقت دارد.

در گزارش دیگری زی یانگ^۲ و همکارانش پودر CdIn_2O_4 را به روش سل – ژل تهیه کردند [۴۷]. آنها نیترات کادمیوم ۴ آبه و نیترات ایندیوم ۴/۵ آبه را با نسبت مولی ۱ به ۲ در آب [(Cd+In) /Citric Acid] =[1/2] مول را با نسبت [C]² به م محلول اضافه نمودند و سل حاصل را ابتدا در حمام آب با دمای ۸۰°C قرار دادند و سپس آن را در دمای ۴۰۰°C به مدت ۴ ساعت به زیروژل آنرا در دمای ۱۰۲°C قرار دادند و سپس آن را در دمای ۶۰۰°C تا ۹۰۰°C برای ۴ ساعت بازپخت کردند. آهستگی خشک نمودند و در انتهای دمای ۹۰۰°C طرح پراش اشعه ایکس از پودر CdIn_2O_4 تهیه شده توسط گروه بالا را نشان می‌دهد.

¹ Joint Committee on Powder Diffraction Standards
² Xian Gdong Lou



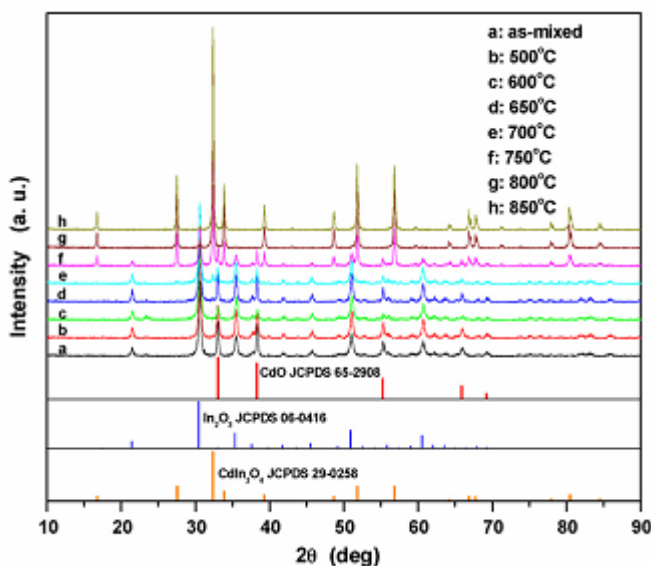
شکل (۷-۳) - طرح پراش اشعه ایکس از پودر CdIn_2O_4 بازپخت شده در دماهای متفاوت [۴۷].

با توجه به شکل در همه دماها ساختار بلوری شکل گرفته است اما در دمای 600°C علاوه بر قله های مربوط به CdIn_2O_4 ، قله های ضعیف CdO و In_2O_3 مشاهده شد که در دمای 700°C قله های مربوط به CdO و CdIn_2O_3 ضعیفتر شده و در نهایت در دمای 800°C و 900°C مشاهده نشد و علاوه بر آن با افزایش دمای بازپخت قله های مربوط به CdIn_2O_4 تیز تر شده اند و این نشان از درجه بالای بلورینگی و افزایش اندازه دانه در پودر را دارد و بنا به رابطه شرمند این اندازه برای پودر CdIn_2O_4 برای دماهای 700°C ، 800°C و 900°C به ترتیب حدود $25 - 33 - 52 - 60$ نانو متر محاسبه شدند.

در گزارش دیگری تینگ^۱ و همکارانش از ترکیب پودر CdO و پودر In_2O_3 با نسبت مولار کادمیوم به ایندیوم یک به یک، پودر CdIn_2O_4 تهیه نمودند و سپس در دماهای مختلف به مدت ۲ ساعت در معرض هوا خشک سازی نمودند [۴۸].

¹ Ting Chen

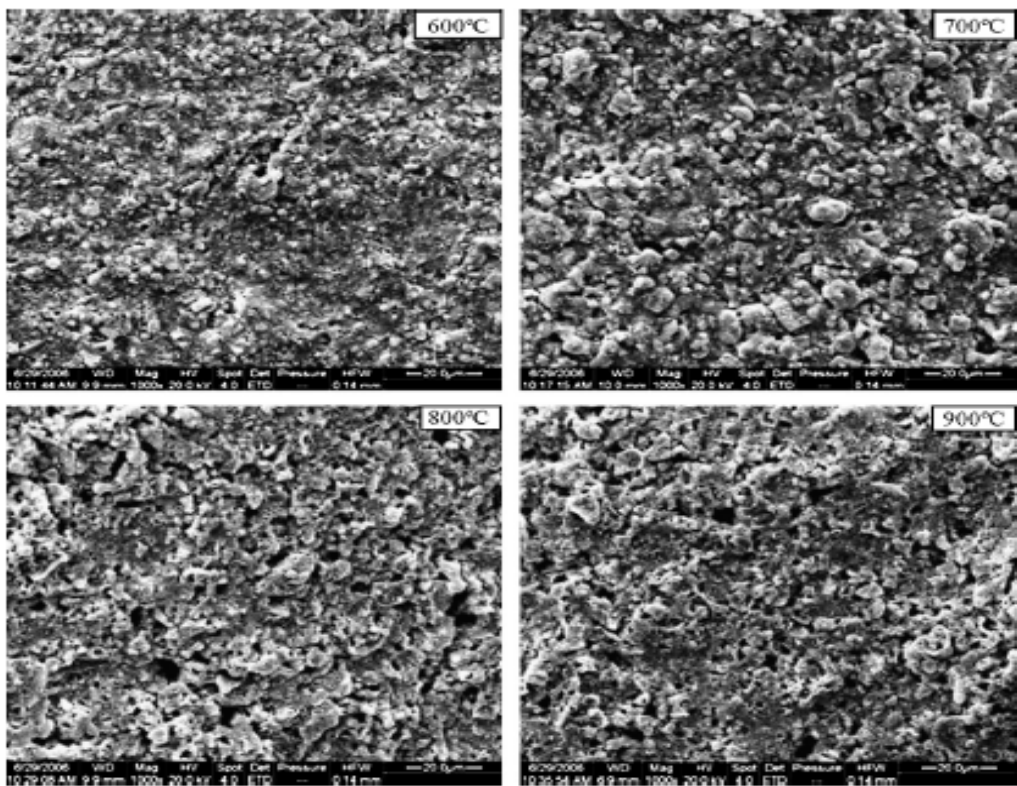
شکل (۳-۸) طرح پراش پرتو X ماده را قبل و بعد از خشک سازی در دماهای مختلف نشان می دهد. با توجه به شکل مشخص است که در دماهای زیر $\square\text{C}$ ، فاز CdO ، CdIn_2O_4 علاوه بر فاز C ، In_2O_3 نیز وجود دارد و در دمای 850°C تنها فاز موجود CdIn_2O_4 بوده است.



شکل (۳-۸) - طیف XRD ترکیب اکسید کادمیوم با اکسید ایندیوم پس از بازپخت در دماهای متفاوت به مدت ۲ ساعت.

۴-۳-۲- بررسی تصاویر SEM در لایه های CdIn_2O_4

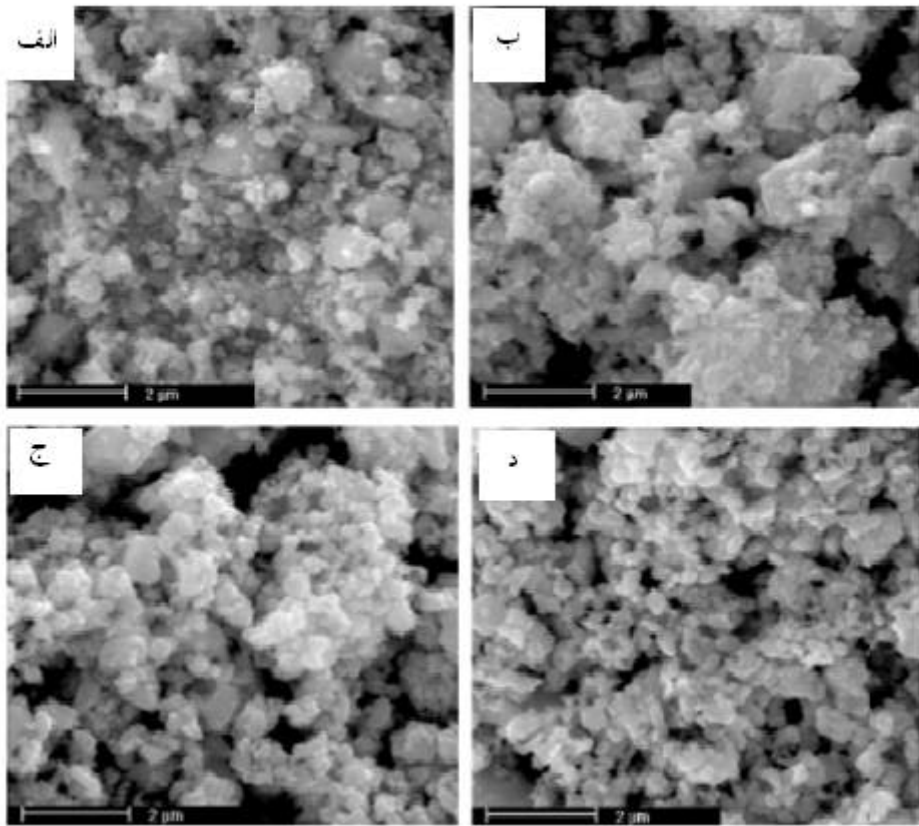
شکل (۹-۳) تصاویر مربوط به سطح نمونه های تهیه شده توسط زی یانگ دونگ و همکارانش می باشد [۴۷]. این تصاویر برای همه نمونه ها سطحی متخلخل و سوراخ دار را نشان می دهد که با افزایش دما تخلخل ها نیز افزایش می یابد و ذرات روی سطح مربوط به نمونه $\square\text{C}$ CdIn_2O_4 (600°C) بزرگتر از ذرات روی سطح نمونه $\square\text{C}$ CdIn_2O_4 (700°C) بوده و روی سطح نمونه های $\square\text{C}$ CdIn_2O_4 (800°C) و $\square\text{C}$ CdIn_2O_4 (900°C) بصورت کلوخه و بهم فشرده می باشد.



شکل (۳-۹) تصاویر SEM سطح نمونه های بازپخت شده در دماهای ۶۰۰، ۷۰۰، ۸۰۰ و ۹۰۰ درجه سانتی گراد [۴۷].

تصاویر SEM مربوط به گزارش تینگ و همکارانش در شکل (۱۰-۳) نشان داده شده است [۴۸].

این تصاویر مربوط به پودر های CdIn_2O_4 بدست آمده از ترکیب پودر CdO و پودر In_2O_3 قبل و بعد از خشک سازی در دماهای 650°C و 700°C می باشد.



شکل (۳-۱۰) - تصاویر SEM پودر CdO آمیخته با پودر In_2O_3 (الف) قبل از خشک سازی و بعد از خشک سازی در دماهای (ب) 650°C (ج) 700°C و (د) 850°C

ساختار موپولوژیکی نشان می دهد که اندازه دانه ها با افزایش دمای خشک سازی افزایش می یابند و این اندازه در بازه 100 تا 500 نانومتر می باشد. زیر دمای بحرانی 700 ذرات بصورت آبدار و توده هی هستند. برای نمونه ها ای خشک سازی شده در 650°C ، ذرات بصورت کروی و در اندازه متحوالشکل بوده و خوب پراکنده شده اند.

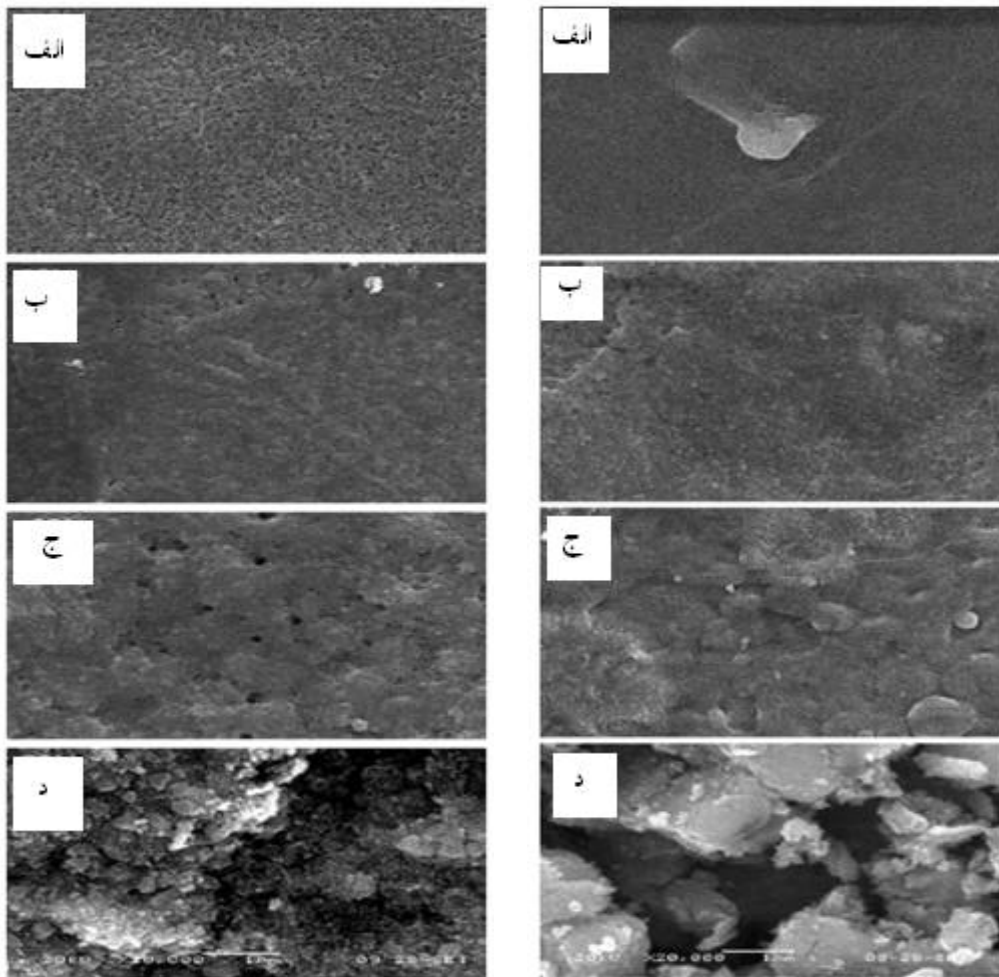
دووکات^۱ و همکارانش در سال 2010 لایه نازک CdIn_2O_4 را به روش اسپری پایرولیزیز تهیه کردند [۴۹]. 100 سی سی محلول حاصل شامل نسبت حجمی 1 به 2 استات کادمیوم به استات ایندیوم با حلحل آب تهیه شده و بر روی زیر لایه شیشه با دمای 325°C اسپری شده اند که فاصله

^۱ R.J.Deokate

نازول تا زیر لایه به عنوان پارامتر مقدماتی بین ۲۶ سانتی متر تا ۳۲ سانتی متر انتخاب شده است.

تصاویر (۱۱-الف) و (۱۱-ب) تصاویر SEM مربوط به نمونه های قبل و بعد از بازپخت در دمای

۴۰۰ به مدت ۲ ساعت را نشان می‌دهد. □C



(۱۱-۳) - الف) تصاویر SEM نمونه های بودن بازپخت شده (۱۱-۳-ب) تصاویر SEM نمونه های بازپخت شده با فاصله نازل تا زیر لایه (الف) ۲۸ cm (ب) ۲۶ cm با فاصله نازل تا زیر لایه (الف) ۲۶ cm (ب) ۲۸ cm (ج) ۳۰ cm (د) ۳۲ cm . (ج) ۳۰ cm (د) ۳۲ cm

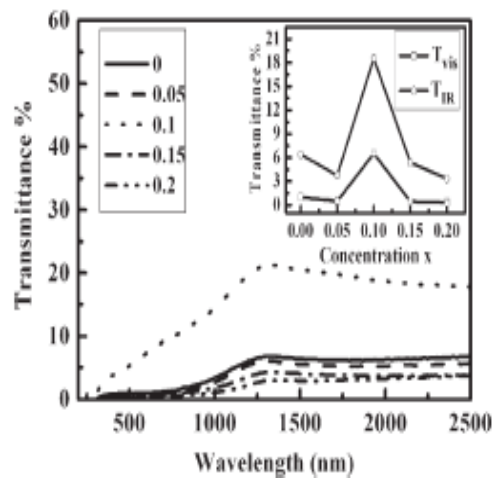
شکل (الف) وابستگی فاصله نازل از زیر لایه را با رفتار دمایی به خوبی نشان می دهد.

هرگاه فاصله افزایش می یابد بلورینگی نیز در شرایط بهینه افزایش می یابد. برای نمونه ای که فاصله نازل تا زیر لایه ۲۶ cm است. نمونه (الف) از شکل (۱۱-الف) سطح نسبتاً صاف و همواری را با اندازه دانه های ریزی که بطور یکنواخت روی تمام سطح توزیع شده اند نشان می دهد. برای نمونه

نمونه (ب) از شکل (۱۱-۳-الف) رشد خوب اندازه دانه ها مشاهده می شود و نمونه (ج) از شکل (۱۱-۳-الف) ساختار کاملاً بلوری و یکنواختی را نشان می دهد. مجدداً برای نمونه ای که فاصله نازل تا زیر لایه 30 cm است و در دمای 400°C به مدت ۲ ساعت بازپخت شده است. نمونه (ج) از شکل (۱۱-۳-ب) بعد از بازپخت سطح نسبتاً خلل و فرج دار مشاهده شده است. نمونه های نمونه (د) از شکل (۱۱-۳-الف) و نمونه (د) از شکل (۱۱-۳-ب) سطح مورفولوژیکی نسبتاً ناهموار و پر خلل و فرجی را نشان می دهند.

۳-۴-۳- بررسی خواص اپتیکی لایه های CdIn_2O_4

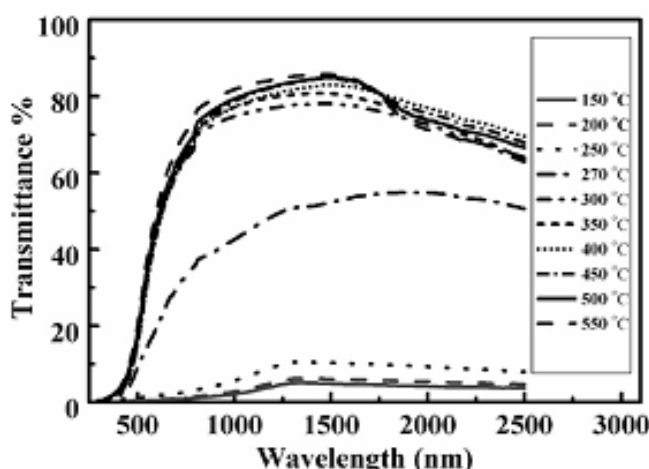
شکل (۱۲-۳) از گزارش مربوط به واک کاد و همکارانش گرفته شده است [۴۵]. نمودار عبور بر حسب طول موج ذره در بازه 200 nm تا 2500 nm را برای درصد های مختلف ایندیوم در محلول و نمودار داخلی آن میانگین عبور برای نور مرئی و فرابنفش را نشان می دهد.



شکل (۱۲-۳) - طیف تراگسیل نمونه های $\text{CdO}_{1-x}\text{In}_2\text{O}_3$ با x های متفاوت (در شکل ضمیمه میانگین عبور در ناحیه نور مرئی و مادون قرمز نشان داده شده است [۴۵].

مشاهده می شود که همه لایه ها عبور اپتیکی ناچیزی را در ناحیه مرئی یا نزدیک ناحیه فرابخش نشان می دهند و همچنین شکل داخل نشان می دهد با افزایش مقدار درصد ایندیوم از $x=0/1$ به بعد میزان عبور کاهش می یابد.

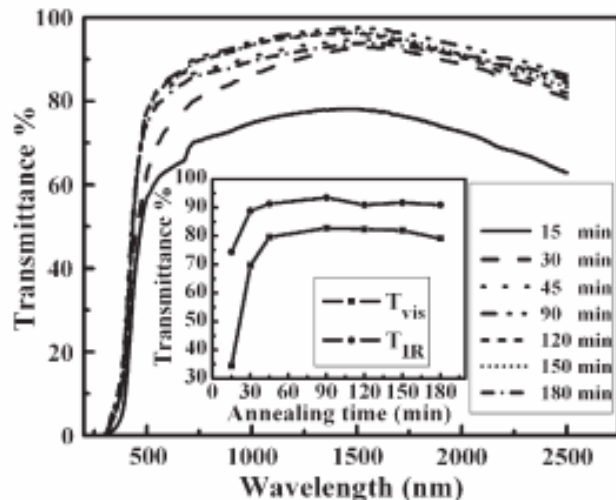
شکل (۱۳-۳) میزان عبور برحسب طول موج برای لایه های با نسبت ایندیوم $1/0$ بازپخت شده در ۱۵ دقیقه و دماهای مختلف را نشان می دهد . به نظر می رسد که میزان عبور به طور معنی داری بهبود یافته است . بعد از بازپخت لبه جذب به طول موجهای پایین تر شیب پیدا می کند. برای لایه های بازپخت شده در دمای 300°C و یا بالاتر به مدت ۱۵ دقیقه ، میانگین عبور در حدود 34% در ناحیه مرئی افزایش می یابد.



شکل (۱۳-۳)- طیف تراگسیل اپتیکی نمونه های اکسید کادمیوم ایندیوم بازپخت شده در دماهای متفاوت به مدت ۱۵ دقیقه [۴۵].

شکل (۱۴-۳) میزان عبور برحسب طول موج برای لایه های با نسبت ایندیوم $1/0$ بازپخت شده در دمای 300°C و زمانهای مختلف را نشان می دهد و در این شکل به وضوح دیده می شود که با افزایش زمان بازپخت میزان عبور در ناحیه نور مرئی و فرابنفش به طور چشمگیری زیاد می شود و

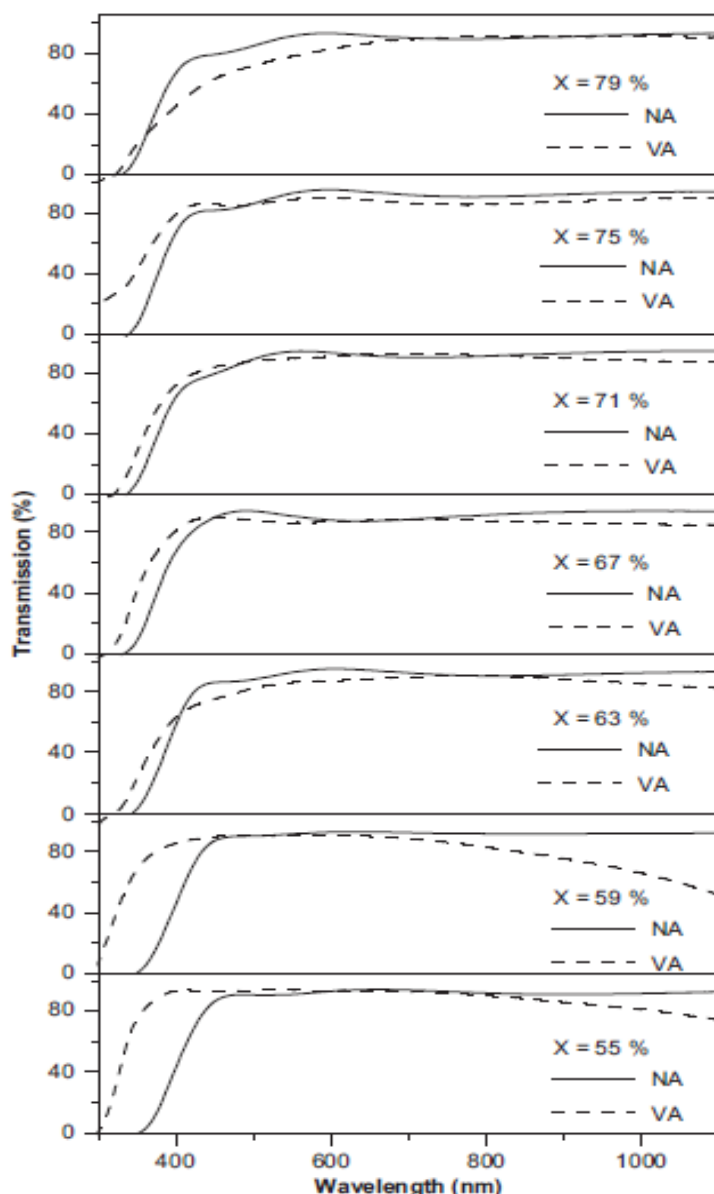
مقدار افزایش برای ناحیه مرئی تا ۸۲٪ و برای ناحیه فرابنفش تا ۹۲٪ می‌باشد و این عبور بالا در ناحیه نور مرئی امکان استفاده این لایه‌ها را به عنوان مواد لعاب دار براق^۱ فراهم می‌کند.



شکل (۱۴-۳) - طیف تراگسیل اپتیکی نمونه‌های اکسید کادمیوم ایندیوم بازپخت شده

در دمای 300°C به مدت ۱۵ دقیقه [۴۵].

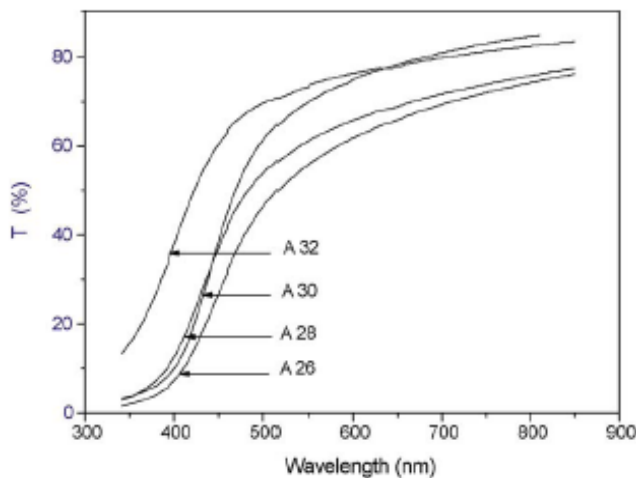
در گزارش مندوza و همکارانش [۴۳] شکل (۱۵-۳) نشان می‌دهد که لایه‌ها از میزان عبور بالایی برخودارند و برای لایه‌های بازپخت شده در خلاء لبه جذب به سمت انرژی‌های بالاتر شیب پیدا می‌کند که با محاسبه گاف نواری اپتیکی مستقیم این امر بدیهی می‌باشد.



شکل (۱۵-۳) - طیف عبور نمونه های اکسید کادمیوم ایندیوم بدون بازپخت (NA) و بازپخت شده در خلا (VA)

[۴۲]

شکل (۱۶-۳) میزان عبور بر حسب طول موج مربوط به گزارش دووکات و همکارانش [۴۹] که برای لایه های بازپخت شده می باشد آنها در این کار به بررسی تغییر فاصله نازل تا زیر لایه پرداخته اند که در شکل (۱۶-۳) مربوط به لایه های بازپخت شده می باشد.



شکل (۱۶-۳) - منحنی های میزان عبور بر حسب طول موج نمونه های تهیه شده با فاصله های مختلف نازل از زیر لایه [۴۹].

نتایج مربوط به آن نشان می دهد که با افزایش فاصله نازل تا زیر لایه عبور مربوط به نور مرئی اندکی تغییر می کند. میانگین میزان عبور در طول موج ۵۵۰ nm در حدود ۵۶٪ تا ۷۳٪ می باشد.

فصل چهارم

بررسی خواص فنرکلی نموزهای سنتز شده اکسید کادمیوم ایندیوم

۱-۴ - مقدمه

در این پایان نامه به منظور تهیه لایه های نازک اکسید کادمیوم ایندیوم (CdIn_2O_4) به روش سل-ژل از تکنیک بهینه سازی گام به گام^۱ در ساخت سل اولیه استفاده گردید. به این ترتیب که برای بدست آوردن دقیق‌تر مواد بکار رفته در پیش ماده‌های اصلی برای تهیه سل مورد نظر، ابتدا اندازه یک ماده را متغیر و سایر مواد را ثابت فرض می‌کنیم تا شکل ظاهری محلول حاصل به صورت محلول معرفی شده در مقالات و گزارشات موجود باشد. این عمل را برای سایر مواد بکار رفته در پیش ماده اصلی نیز تکرار کردیم. این روش به عنوان یکی از تکنیک‌های نسبتاً مناسب در تهیه محلول‌های شیمیایی معرفی شده است [۷]. در این پایان نامه این روش در تهیه محلول (CdO) و (In_2O_3) که به عنوان پیش ماده‌های اصلی می‌باشند اجرا شد و سپس تأثیر پارامترهای فیزیکی در خواص ساختاری و اپتیکی لایه ها مورد بررسی قرار گرفت.

۲-۴ - رشد لایه های نازک اکسید کادمیوم ایندیوم(CdIn_2O_4)

۱-۲-۴ - نقش زیرلایه در تهیه لایه های نازک و نحوه آماده سازی آن

از زیرلایه لایه های نازک انتظاراتی داریم که ناشی از کاربردهای آن است. زیرلایه در کاربردهای الکترونیکی معمولاً نقش عایق را نیز دارد. نیاز به پایداری طولانی مدت زیرلایه های لایه نازک ایجاد می کند که هیچ نوع واکنش شیمیایی که قادر به تغییر خواص لایه نازک باشد اتفاق نیفتد. بنابراین زیرلایه باید مقاومت مکانیکی کافی داشته و نه تنها در دمای عادی بلکه در خلال تغییرات نسبتاً زیاد دما نیز چسبندگی خود را به لایه حفظ نماید. علاوه براین برای تهیه لایه هایی با پارامتر های قابل باز تولید و مشخص الکتریکی و غیر الکتریکی سطح زیرلایه باید تخت و صاف باشد. در برخی از کاربردها حتی وزن زیرلایه نیز عامل مهمی است. البته در همه موارد عدم حضور آلودگی و

^۱ step by step optimization

چربی امری ضروری است. در واقع برای ثابت بودن خواص لایه و چسبندگی مناسب لایه‌ها لازم است که سطح زیرلایه مطلقاً تمیز و عاری از هرگونه آلودگی باشد. این شرط برای سطوح تک بلورهایی که در خلا تهیه می‌شوند، قابل تحقق است، اما در موارد دیگر نمی‌توان به آسانی به آن دست یافت. سطح شیشه پس از شسته شدن نسبتاً تمیز است اما امکان دست‌یابی به درجه مطلق تمیزی پس از آلوده شدن شیشه وجود ندارد (به جز ذوب کردن مجدد آن که اساس صیقلی کردن آتشی شیشه است).

در این پایان نامه یک فرایند ۵ مرحله‌ای به شرح ذیل جهت تمیز کردن زیرلایه‌های شیشه مورد استفاده قرار گرفت.

مرحله اول: به منظور از بین بردن چربی‌ها و ناخالصی‌های اولیه زیرلایه شیشه‌ای توسط آب و مواد شوینده (مایع ظرفشویی) کاملاً شسته شدند.

مرحله دوم: زیرلایه‌ها در مخلوطی از آب و مواد شوینده به مدت ۲۰ دقیقه قرار داده شدند به طوریکه با افزایش تدریجی دما (برای جلوگیری از شوک حرارتی) محلول فوق به جوش آید.

مرحله سوم: زیرلایه‌ها را داخل بشر حاوی آب مقطر با دمای کمتر از دمای جوش (تقریباً ۴۰ یا ۵۰ درجه سانتی گراد) قرار می‌دهیم و پس از ۱۰ دقیقه آنرا به درون بشری که شامل آب مقطر در دمای اتاق است منتقل می‌کنیم.

مرحله چهارم: زیرلایه‌ها را درون محلول حاوی آب و استون قرار داده و به مدت حدود ۲۰ دقیقه در دستگاه تمیز کننده مافق صوت^۱ قرار می‌دهیم.

^۱ Ulterasonic

مرحله پنجم: زیرلایه ها را ابتدا توسط سشور و سپس با یک پارچه نرم خشک کرده و در صورت وجود پرز بر روی زیرلایه ها، آنها را با استفاده از گاز ازت تمیز می کنیم.

۴-۲-۲- نحوه محلول سازی و تهیه سل اولیه

برای تهیه سل مورد نظر از ترکیب محلول اکسید کادمیوم (CdO) و محلول اکسید ایندیوم (In_2O_3) که هر کدام در دمای اتاق از طریق پیش ماده های مشخص تهیه شده اند، استفاده شد. عملیات لایه نشانی پس از گذشت ۲۴ ساعت از تهیه سل مناسب انجام پذیرفت.

الف) تهیه محلول اکسید کادمیوم (CdO):

برای تهیه محلول اکسید کادمیوم (CdO) از پیش ماده های استات کادمیوم^۱، متانول^۲، گلیسیروл^۳ و تری اتیل آمین^۴ استفاده کردیم. در این فرایند ابتدا استات کادمیوم را در نیمی از متانول در حالی اضافه کردیم که این محلول با سرعت ثابت توسط همزن مغناطیسی هم می خورد تا زمانی که کاملاً شفاف شد. سپس گلیسیرول به محلول اضافه شد و این محلول با محلولی که شامل ترکیب تری اتیل آمین و متانول بود آمیخته شد.

ب) تهیه محلول اکسید ایندیوم (In_2O_3):

برای تهیه محلول اکسید ایندیوم (In_2O_3) از پیش ماده های استات ایندیوم^۵، اسید لاکتیک^۶، پروپانول^۷ و آب دوبار یونیزه^۸ استفاده کردیم. در این فرایند ابتدا اسید لاکتیک به استات ایندیوم اضافه شد و سپس آنها به محلولی که شامل ۱- پروپانول و آب دوبار یونیزه بود اضافه شدند و این عمل در

¹Cadmium acetate (Cd (CH_3COO_2)₃)

²Methanol (CH_3COOH)

³Glycerol Wasserfrei ($\text{C}_3\text{H}_8\text{O}_3$)

⁴Triethylamin

⁵Indium acetate (In (CH_3COO_2)₃)

⁶Lactic acid

⁷1-Propanol

⁸Diagnosed Water

حالی صورت گرفت که این محلول در دمای اتاق توسط یک همزن مغناطیسی به طور یکنواخت برای مدت ۳ ساعت هم می خورد تا اینکه محلولی شفاف حاصل شد.

۴-۲-۳- روش تهیه لایه های نازک اکسید کادمیوم ایندیوم (CdIn_2O_4)

روش های متفاوتی جهت رشد لایه های نازک وجود دارد که در این میان برخی از این روشها مرسوم تر بوده و کاربردهای گسترده تری نسبت به بقیه دارند. از آنجایی که کلیه خواص لایه های نازک اعم از خواص ساختاری و اپتیکی و غیره وابسته به نوع ساختار ماده و میزان ناخالصی موجود در آن و حتی ضخامت لایه ها می باشد، لذا هر تکنیک لایه نشانی به همراه پارامترهای وابسته به آن، خواص متفاوتی را در لایه ها ایجاد می کند. از این رو ما در آزمایشگاه رشد بلور واقع در دانشگاه صنعتی شاهroud و به کمک روش های سل-ژل با تکنیک چرخشی و غوطه وری به شرح ذیل اقدام به تولید و آنالیز لایه های نازک اکسید کادمیوم ایندیوم (CdIn_2O_4) کردیم. در روش سل-ژل با تکنیک چرخشی ابتدا یک قطره از سل تهیه شده در بخش(۴-۲-۲) را روی زیر لایه شیشه چکانیده و سپس آن را تحت چرخش با سرعت ۲۰۰۰ RPM به مدت ۲۰ ثانیه قرار داده ایم . به دلیل وجود نیروی گریز از مرکز سل مورد نظر به طور یکنواخت بر روی زیر لایه پخش می شود و چون دارای ویسکوزیته بوده لذا تقابل این دو باعث یکنواخت شدن لایه می گردد.

سپس نمونه تهیه شده را تحت عملیات خشک سازی و سپس بازپخت قرار می دهیم. در روش سل-ژل با تکنیک غوطه وری، زیر لایه را با سرعت ۱۰ سانتی متر بر دقیقه به درون سل تهیه شده در بخش(۲-۲-۴) منتقل کرده و سپس آن را با همین سرعت به بیرون می کشیم، سرعت انتقال زیر لایه به درون سل و بیرون کشیدن آن روی ضخامت و در نتیجه روی خواص لایه تأثیر بسزایی دارد.

سپس نمونه تهیه شده را تحت عملیات خشک سازی و سپس بازپخت قرار می دهیم.

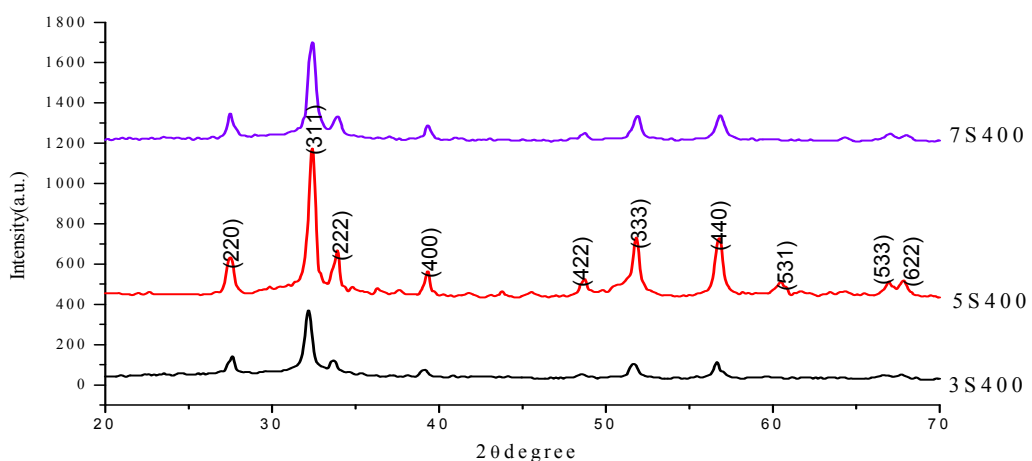
برای کسب اطلاعات بیشتر در مورد دو تکنیک چرخشی و غوطه وری می‌توان به بخش‌های (۱-۸) و (۲-۸-۱) مراجعه نمود.

۳-۴- مطالعه خواص فیزیکی لایه‌های نازک CdIn_2O_4 تهیه شده به روش

چرخشی

۳-۴-۱- بررسی خواص ساختاری

شکل (۱-۴) طیف پرتو ایکس مربوط به سه نمونه از لایه‌های نازک CdIn_2O_4 تهیه شده به روش سل-ژل با تکنیک چرخشی را نشان می‌دهد که آنها را با ۳S400 و ۵S400 و ۷S400 نامگذاری کردیم. تعداد دفعات لایه نشانی برای نمونه‌های ۳S400 و ۵S400 و ۷S400 به ترتیب ۳ و ۵ و ۷ بار بوده است. هر سه نمونه مطالعه شده در هر بار لایه نشانی با سرعت ۲۰۰۰ RPM و به مدت ۲۰ ثانیه چرخانده شدند. قابل ذکر است که پس از هر بار لایه نشانی، عملیات خشک سازی نمونه‌ها در دمای 110°C به مدت ده دقیقه انجام می‌شد و در انتهای پس از پایان لایه نشانی تمام نمونه‌ها در دمای 400°C بازپخت شده‌اند.

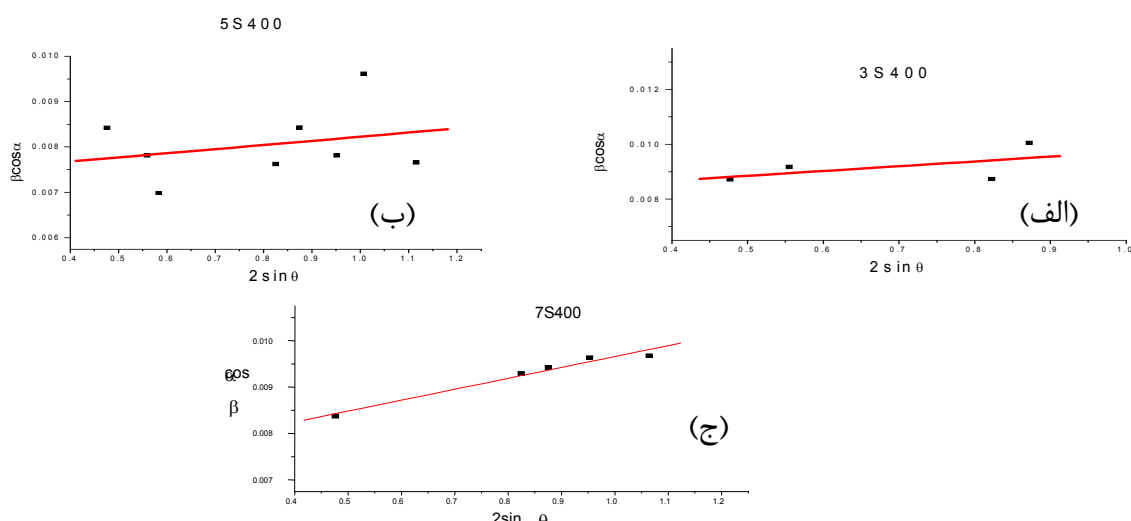


شکل (۱-۴)- طیف‌های پرتو ایکس نمونه‌های ۳S400 ، ۵S400 و ۷S400

الگوهای پراش ثبت شده برای تمام نمونه‌ها تشکیل یک ساختار مکعبی مرکز وجهی (FCC) چند بلوری با قله‌های پراش متعدد را نشان می‌دهند. در تمامی نمونه‌ها شدت قله ناشی از پراش از صفحات (۳۱۱) از سایر صفحات بیشتر است که این می‌تواند معرف راستای ترجیحی تشکیل بلور باشد. علت سمتگیری در این راستا می‌تواند به پایین تر بودن انرژی سطح در این راستا در مقایسه با دیگر راستاهای مربوط باشد. زیرا اکثر اتمها در حین لایه نشانی بروی سطحی که از کمترین انرژی آزاد برخوردار باشند، پخش می‌گردند.

مقایسه طیف‌های XRD این سه نمونه نشان می‌دهد تعداد دفعات لایه نشانی در روش چرخشی بر روی شدت قله ماقزیم اثر داشته است به طوریکه برای نمونه 5S400 در راستای ترجیحی (۳۱۱) از بیشترین شدت برخوردار است. سایر قله‌ها نیز در نمونه‌های 3S400 و 7S400 نسبت به نمونه 5S400 از شدت کمتری برخوردار می‌باشند که این می‌تواند به خاطر بیشتر بودن انرژی آزاد سطح در این نمونه‌ها نسبت به نمونه 5S400 باشد.

اندازه متوسط بلورکها و کرنش در نمونه‌ها با استفاده از رابطه ویلیامسون-هال (رابطه ۲-۲) محاسبه شده‌اند. بر اساس این رابطه بایستی بهترین خط گذرانده از نقاط مربوط به $\beta \cos\alpha$ بر حسب $2\sin\theta$ ترسیم شده (شکل ۲-۴) و با استفاده از شبیه و عرض از مبدأ آن مقادیر اندازه بلورکها و کرنش در نمونه‌ها قابل تخمین می‌باشد. این نتایج در جدول ۱-۴ گزارش شده است.



شکل (۲-۴)- نمودار ویلیامسون-هال برای نمونه‌های (الف) 3S400 (ب) 5S400 (ج) 7S400

جدول (۱-۴)- اندازه بلورکها و کرنش در نمونه ها که با استفاده از رابطه ویلیامسون- هال محاسبه شده است.

نمونه	اندازه متوسط بلورک (nm)	مقدار کرنش
3S400	۱۷	۰/۰۰۱۷۵
5S400	۱۹	۰/۰۰۱۹۲
7S400	۱۹	۰/۰۰۲۳۵

همان طور که این مقادیر نشان می دهد اندازه بلورکها و مقدار کرنش با افزایش تعداد دفعات اسپین و در نتیجه افزایش ضخامت اندکی افزایش یافته است. می توان ثابت شبکه نمونه ها را با توجه به فرمول برآگ (۱-۲) و رابطه (۲-۲-الف) محاسبه نمود. نتایج این محاسبه در جدول (۲-۴) ذکر شده است. مقادیر بدست آمده برای نمونه ها با مقادیر گزارش شده در کارتھای استاندارد (JCPDS) در تطابق می باشد.

جدول (۲-۴)- ثابت شبکه نمونه ها که با استفاده از روابط (۱-۲) و (۲-۲-الف) محاسبه شده است.

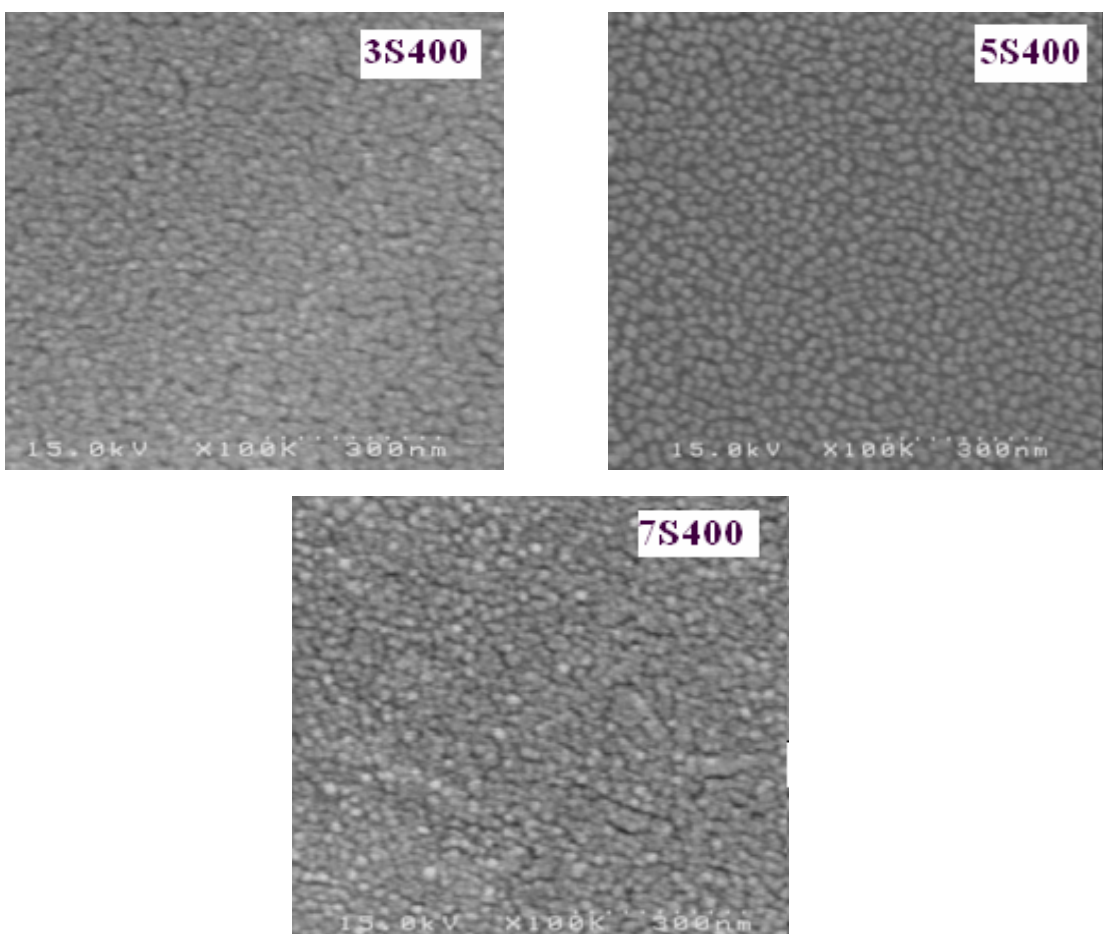
نمونه	3S400	5S400	7S400
a (nm)	۹/۲۰۰	۹/۱۴۱	۹/۱۱۳

۴-۳-۲- مورفولوژی نمونه ها

مورفولوژی سطح هر لایه نازکی متأثر از عوامل مختلفی می باشد که به روش لایه نشانی وابسته است . برای مثال در روش سل-ژل به عواملی مانند نوع زیرلایه ، غلظت، طول عمر سل، مدت زمان

بازپخت و یا دمای بازپخت و غیره بستگی دارد. پس برای هر نمونه ای بررسی مورفولوژی سطح از اهمیت ویژه ای برخوردار است.

شکل (۳-۴) تصاویر FESEM مربوط به این نمونه ها را نشان می‌دهد. همان طور که این شکل نشان می‌دهد، نمونه 5S400 از یکنواختی بهتری نسبت به دو نمونه دیگر برخوردار است. همچنین 5S400 تشکیل بلورکهایی با اندازه متوسطی در حدود ۲۵ nm در مقیاس FESEM مربوط به نمونه 5S400 کاملاً مشهود می‌باشد. تصویر FESEM گرفته شده از از نمونه 7S400 نشان می‌دهد که یکنواختی این نمونه از دو نمونه دیگر کمتر است، این نتیجه با نتایج حاصل از اندازه گیری طیف تراگسیل نمونه ها در توافق می‌باشد.

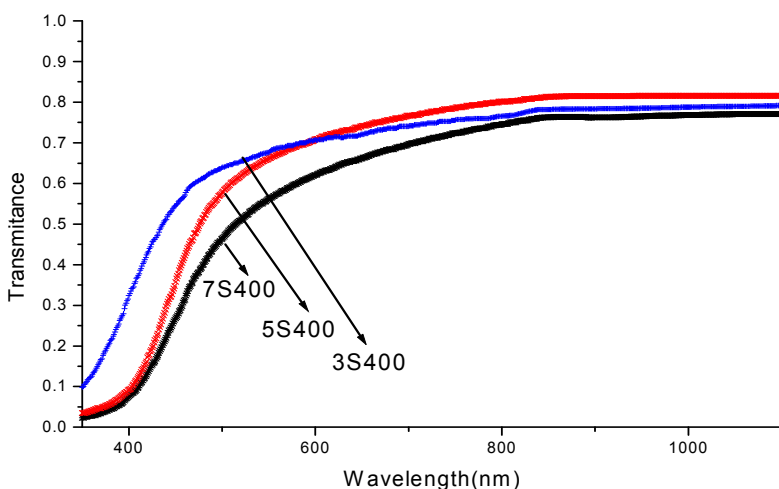


(شکل ۳-۴)- تصاویر FESEM نمونه ها.

۴-۳-۴- بررسی خواص اپتیکی نمونه ها

شکل (۴-۴) طیف تراگسیل اپتیکی نمونه ها در بازه طول موجی ۳۵۰ تا ۱۱۰۰ نانومتر را نشان

می دهد.



(شکل ۴-۴)- طیف تراگسیل اپتیکی نمونه ها در بازه طول موجی ۳۵۰ تا ۱۱۰۰ نانومتر

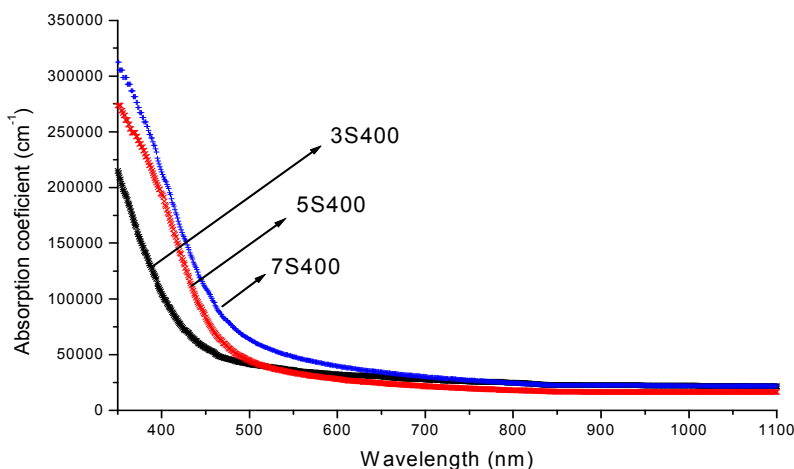
روند کلی تغییرات کاهش عبور با افزایش تعداد دفعات لایه نشانی می باشد. مثلاً برای طول موج ۵۵۰ نانومتر مقدار عبور متوسط از ۷۰٪ برای نمونه 3S400 به ۵۵٪ برای نمونه 7S400 کاهش می یابد. با توجه به اندازه بلورکها (جدول ۱-۴) با افزایش دفعات لایه نشانی اندازه بلورکها نیز افزایش یافته است بنابراین علت کاهش عبور بایستی مربوط به افزایش ضخامت نمونه ها که منطقی نیز هست، باشد.

برای بدست آوردن ضریب جذب نمونه ها (α) با توجه به معادله (۴-۲) به طیف عبور و ضخامت نمونه ها احتیاج است که ضخامت نمونه ها با توجه به طیف عبور و با استفاده از نرم افزار پوما برای نمونه های 3S400 ، 5S400 ، 7S400 در جدول (۳-۴) ذکر شده است.

جدول (۳-۴)- مقدار ضخامت (t) برای نمونه ها.

نمونه	3S400	5S400	7S400
t (nm)	۱۱۰	۱۲۳	۱۲۸

شکل (۵-۴) نمودار ضریب جذب (α) برحسب طول موج (λ) را نشان می‌دهد.



شکل (۵-۴)- ضریب جذب برای نمونه ها.

با توجه به شکل با افزایش تعداد دفعات لایه نشانی منحنی جذب به مقدار اندکی رو به بالا منتقل شده است و لبه جذب نیز به طرف طول موج های بلندتر جابجا شده است.

حال با داشتن ضریب جذب و با توجه به رابطه زیر [۵۴ و ۵۸]

$$(\alpha h\nu)^r = A (h\nu - E_g) \quad (2-4)$$

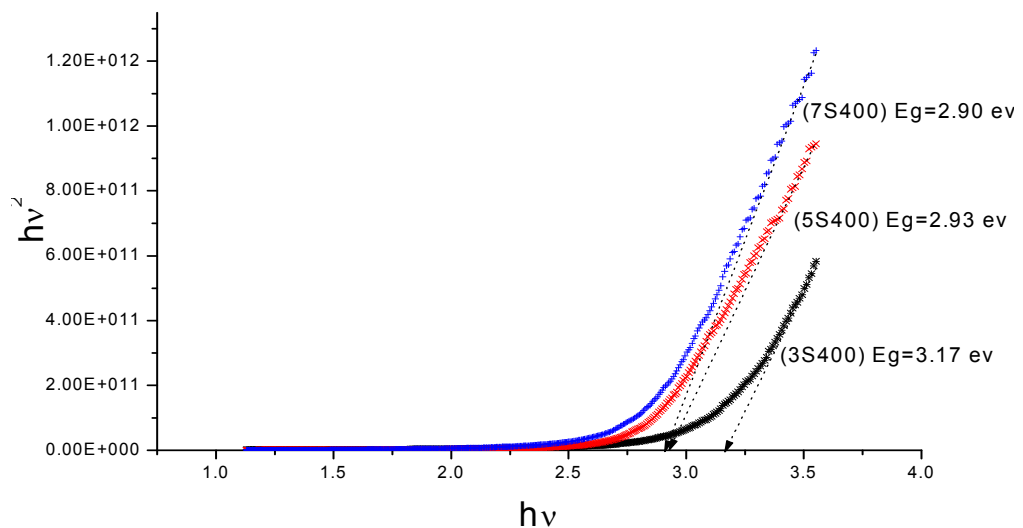
که در آن $h\nu$ انرژی فوتون فروپی، E_g گاف نواری نمونه و A یک مقدار ثابت بین 10^5 (Cmev) $^{-1}$ و 10^6 (Cmev) $^{-1}$ می‌باشد [۵۵]. در صورتی که گاف نواری نمونه مورد نظر مستقیم

باشد $r = 2$ و اگر غیر مستقیم باشد $r = 0.5$ خواهد بود، می‌توان اندازه گاف نواری اپتیکی نمونه هارا بدست آورده.

از آنجایی که گاف نواری اکسید کادمیوم ایندیوم مستقیم است مقدار $\alpha = 2$ انتخاب می‌شود [۴۳، ۵۰ و ۵۳]، برای بدست آوردن گاف نواری ابتدا نمودار $(\alpha h\nu)^2$ را بر حسب انرژی رسم کرده و سپس قسمت خطی نمودار در طول موج‌های بلند را برونویابی کرده و نقطه تلاقی آن با محور $h\nu = 0$ همان مقدار E_g خواهد بود.

شکل (۶-۴) نمودار $(\alpha h\nu)^2$ بر حسب $h\nu$ و مقادیر گاف نواری برونویابی شده برای نمونه‌های ۳S400، ۵S400، ۷S400 را نشان می‌دهد که مقادیر گاف نواری با گزارشات بابو^۱ و همکارانش [۴۵] و نیز گروه واک کاد [۴۵] در توافق است. با توجه به مقادیر بدست آمده مشاهده می‌شود که با افزایش تعداد دفعات لایه نشانی مقدار گاف نواری از حدود $3/17 \text{ eV}$ به مقدار $2/90 \text{ eV}$ (حدود ۱۰٪) کاهش یافته است، همانطور که نتایج اندازه گیری‌های XRD نشان دادند با افزایش دفعات لایه نشانی اندازه متوسط بلور کها افزایش می‌یابد، لذا کاهش گاف نواری مشاهده شده در اندازه گیریهای طیف تراگسیل با آن در توافق است.

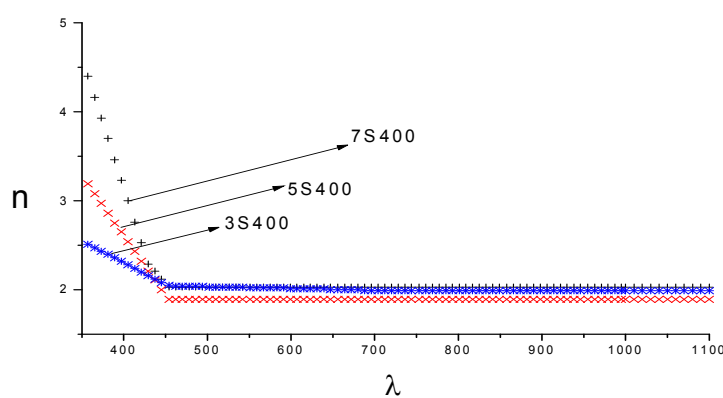
¹ P.Mohan Babu



شکل (۶-۴)- تغییرات گاف نواری بر حسب انرژی فوتون برای نمونه های ۵S400, ۳S400 و ۷S400.

با استفاده از نرم افزار پوما علاوه بر ضخامت لایه ها می توان ضریب شکست آنها را نیز محاسبه کرد.

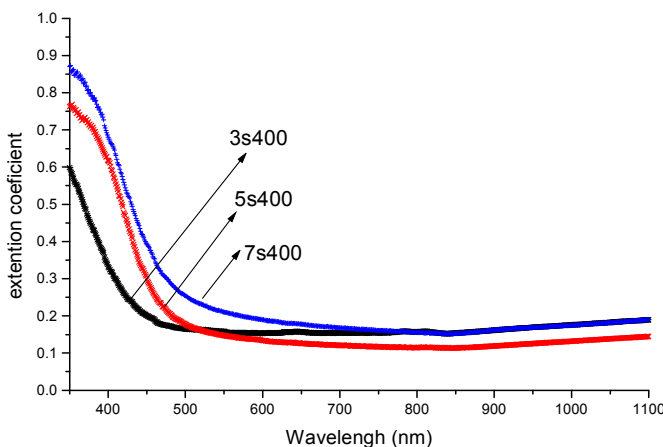
شکل (۷-۴) نمودار تغییرات ضریب شکست بر حسب طول موج مربوط به نمونه های بالا را نشان می دهد.



شکل (۷-۴)- نمودار تغییرات ضریب شکست بر حسب طول موج مربوط به نمونه های ۵S400, ۳S400 و ۷S400.

با توجه به شکل همان طور که انتظارداریم مشاهده می گردد با افزایش طول موج مقدار ضریب شکست کاهش می یابد تا اینکه تقریباً در حدود مقدار ۲ ثابت می شود. می توان به کمک نتایج مربوط به ضریب جذب و فرمول (۵۹-۲) ضریب خاموشی لایه های تهیه شده را پیدا کرد.

در شکل (۸-۴) تغییرات ضریب خاموشی بر حسب طول موج برای نمونه های ۳S400، ۵S400 و ۷S400 رسم شده است. با توجه به رابطه ضریب بین ضریب جذب و ضریب خاموشی (۵۹-۲) مشاهده می شود که مانند روندتغییرات ضریب جذب با افزایش طول موج ضریب خاموشی ابتدا کاهش یافته (تا حدود طول موج ۵۰۰ nm) و سپس در بازه طول موجی ۵۰۰-۱۱۰۰ nm برای تمام نمونه ها تقریباً ثابت می شود.



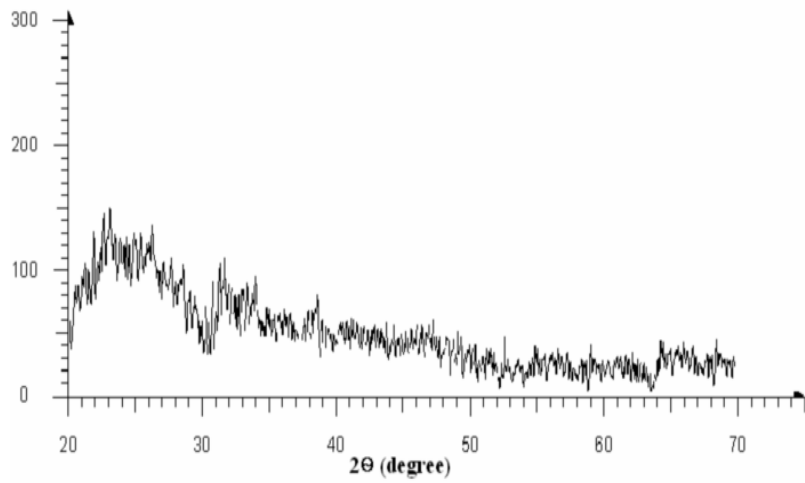
شکل (۸-۴)- تغییرات ضریب خاموشی بر حسب طول موج برای نمونه های ۷S400 ، ۵S400 ، ۳S400 ، ۳S400

۴-۴- مطالعه خواص فیزیکی اثر بازپخت در دماهای متفاوت لایه های نازک

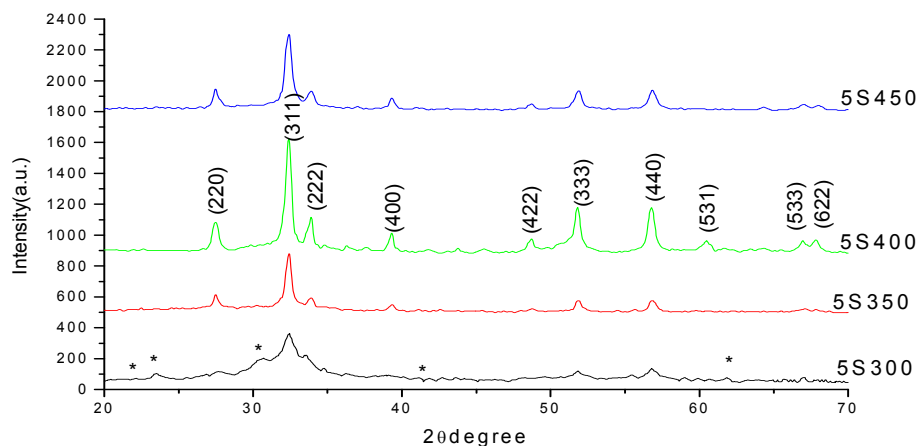
CdIn_2O_4 تهیه شده به روش چرخشی

۱-۴-۴- بررسی خواص ساختاری لایه ها

چون در مرحله قبلی مشخص گردید که ساختار بلوری نمونه 5S400 از کیفیت بهتری برخوردار است لذا تأثیر عملیات بازپخت روی این نمونه در بازه دمایی 300°C تا 450°C بررسی شده است. نمونه بازپخت شده با نمادهای 5S300، 5S350، 5S400 و 5S450 نامگذاری شده است که عدد سمت راست این نماد، نشان دهنده دمای بازپخت نمونه می‌باشد. شکل (۹-۴) طیف پراش پرتو ایکس نمونه‌های بدون بازپخت و بازپخت شده در دماهای 400°C ، 350°C ، 300°C و 450°C را نشان می‌دهد.



(الف)



(ب)

(شکل ۹-۴)- طیف های پراش پرتو ایکس نمونه های (الف) بدون بازپخت و (ب) بازپخت شده.

همان طور که در این شکل دیده می شود نمونه ای که بازپخت روی آن صورت نگرفته است از لحاظ ساختاری تقریباً آمورف است و در حالی که نمونه هایی که تحت عملیات بازپخت در دما های مختلف قرار گرفته اند همگی دارای ساختار چند بلوری می باشند. برای این نمونه ها قله های ناشی از

پراش از صفحات مربوط به ساختار بلوری مکعبی مرکز وجهی (FCC^۱) اکسید کادمیوم ایندیوم با اندیس های میلر مشخص شده‌اند. این نشان می‌دهد که ساختار بلوری تنها پس از عملیات بازپخت ایجاد شده است. برای نمونه 5S300 که در دمای 300°C بازپخت شده است، تشکیل یک ساختار بلوری به خوبی روی طیف XRD قابل مشاهده است. حضور قله های نسبتاً ضعیف که با علامت * مشخص شده‌اند می‌تواند نشانگر تشکیل فازهای ثانویه مربوط به حضور ناخالصی ها در لایه انباست شده باشد.

با افزایش دمای بازپخت تا 400°C ، شدت وابسته به قله های ساختار اکسید کادمیوم ایندیوم افزایش می‌یابند و سپس با افزایش بیشتر دمای بازپخت تا 450°C مجدداً شدت قله ها علی الخصوص قله مربوط به راستای ترجیحی کاهش می‌یابد. این امر می‌تواند نشانگر این واقعیت باشد که دمای بهینه بازپخت برای بهبود ساختار بلوری این ترکیب دمای 400°C است. با استفاده از رابطه ویلیامسون – هال (رابطه ۲-۳) مقادیر اندازه متوسط بلورکها و کرنش نمونه ها، برای نمونه های بازپخت شده در دماهای متفاوت بدست آمده اند و در جدول (۴-۴) گزارش شده‌اند. این مقادیر نشان می‌دهند که با افزایش دمای بازپخت تا 400°C اندازه متوسط بلورکها قدری افزایش می‌یابد و سپس با افزایش بیشتر دما تا 450°C کاهش می‌یابند.

(جدول ۴-۴)- اندازه بلورکها و کرنش با استفاده از رابطه ویلیامسون- هال برای نمونه های بازپخت شده.

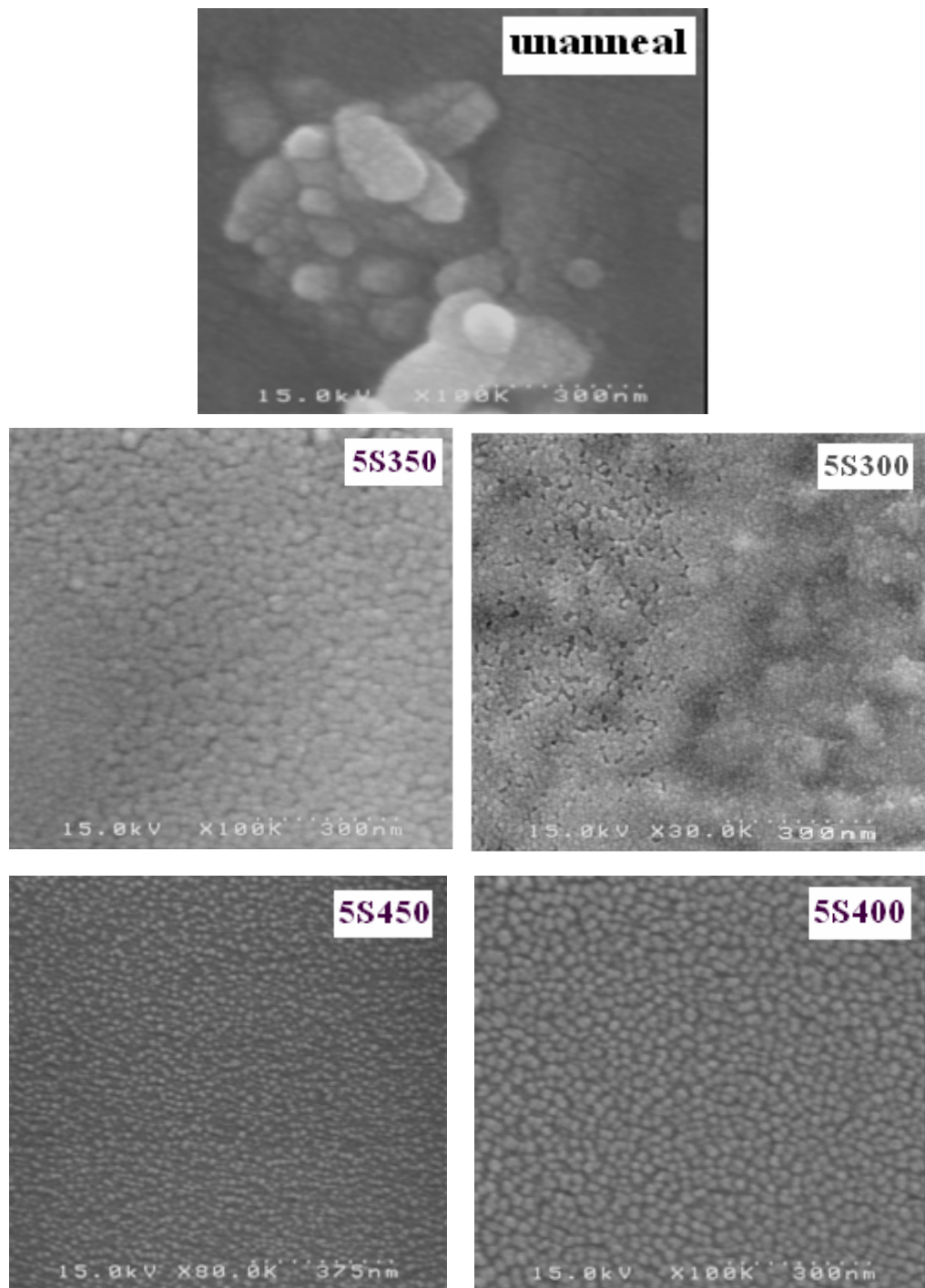
نمونه	5S300	5S350	5S400	5S450
اندازه بلورک (nm)	۸	۱۶	۱۹	۱۵
مقدار کرنش	۰/۰۰۵۰۴	۰/۰۰۱۵۹	۰/۰۰۱۹۲	۰/۰۰۲۳۱

^۱ Face Center Cubic

۴-۲-۴- بررسی مورفولوژی نمونه ها

به منظور بررسی بیشتر خواص ساختاری نمونه ها تصاویر FESEM آنها ثبت شده و با یکدیگر مقایسه شده اند شکل (۴-۱۰) تصاویر FESEM ثبت شده از نمونه ها را نشان می دهد. در این تصاویر مراحل تشکیل ساختار بلوری اکسید کادمیوم ایندیوم ($CdIn_2O_4$) بخوبی دیده می شود.

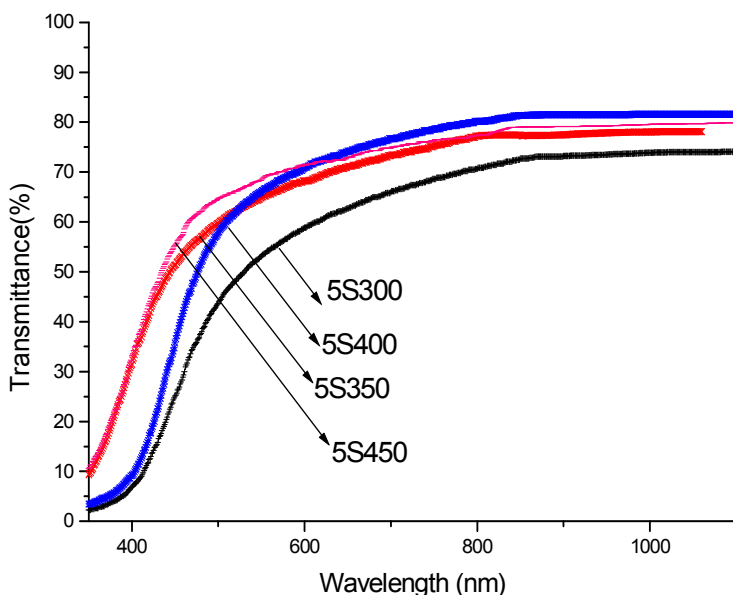
در نمونه بازپخت نشده هیچ نظم بلوری مشخصی دیده نمی شود و در واقع به نظر می رسد که این نمونه آمورف باشد چنانچه تصاویر مربوط به پراش پرتوایکس نیز مؤید این واقعیت بود. اما برای نمونه بازپخت شده در دمای $300^{\circ}C$ هرچند که هنوز فاز خالص از اکسید کادمیوم ایندیوم تشکیل نشده و ذرات موجود بر روی سطح به هم چسبیده بوده و قابل تفکیک نمی باشند ولی به نظر می رسد ساختار بلوری در حال شکل گرفتن است. با افزایش دمای بازپخت تا $350^{\circ}C$ مشاهده می شود که ساختار بلوری تقریباً شکل گرفته است و توزیع دانه ها تقریباً بطور یکنواخت است اما مرز واضح و مشخصی بین ذرات آن وجود ندارد. با ادامه افزایش دمای بازپخت تا $400^{\circ}C$ مشاهده می گردد که اندازه دانه ها قدری بزرگتر و یکنواخت تر شده و مرز بین دانه ها نیز به خوبی قابل تشخیص است. با افزایش دمای بازپخت تا $450^{\circ}C$ مشاهده می گردد که یکنواختی لایه حفظ شده ولی اندازه دانه ها نسبت به نمونه بازپخت شده در دمای $400^{\circ}C$ کوچکتر می شود. این مشاهدات با نتایج حاصل از طیف پراش پرتو X (جدول ۴-۴) کاملاً در توافق می باشد.



(شکل ۱۰-۴)- تصاویر FESEM نمونه های بازپخت نشده(unannealed) و بازپخت شده در دماهای متفاوت.

۴-۳-۴- بررسی خواص اپتیکی

شکل (۱۱-۴) طیف تراگسیل اپتیکی نمونه های تهیه شده را نشان می دهد.



شکل (۱۱-۴)- طیف تراگسیل اپتیکی نمونه های بازپخت شده

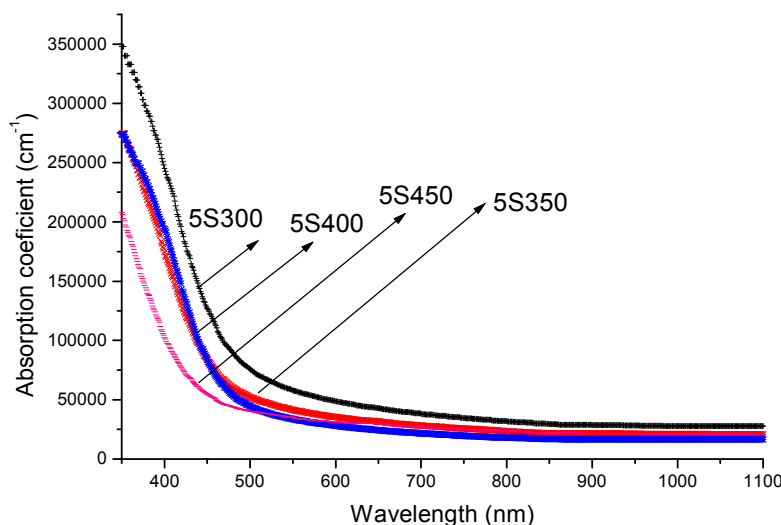
همان طور که در شکل دیده می شود درصد عبور در نمونه بازپخت شده در 300°C از همه نمونه ها کمتر است و درصد عبور در نمونه بازپخت شده در 450°C از همه نمونه ها بیشتر است و لبه جذب در همه نمونه های بازپخت شده به سمت طول موجهای کوچکتر جابجا شده اند. که بنتایج تحقیق واک کادوه مکارانش در راستای روند افزایش عبور با افزایش دمای بازپخت همخوانی دارد [۴۵].

این نتیجه با نتایج حاصل از اندازه گیری XRD در توافق است. با توجه به اینکه همه نمونه ها به تعداد مساوی لایه نشانی شده اند لذا ضخامت آنها یکسان می باشد اما همانطور که طیف XRD این نمونه ها نشان داده اند با افزایش دمای بازپخت ساختار بلوری بهبود می یابد و اندازه متوسط بلور که ایجاد شده از این نتایج حاصل است برابر با 10.8 nm می باشد.

افزایش می یابد لذا با افزایش اندازه بلورکها پراکندگی از مرز دانه ها کاهش یافته بنابراین عبور افزایش می یابد.

ضخامت لایه ها برای نمونه های بازپخت شده در دماهای 300°C و 350°C و 400°C و 450°C با استفاده از نرم افزار پوما به طور متوسط $t=116\pm 10\text{ nm}$ تخمین زده شده است.

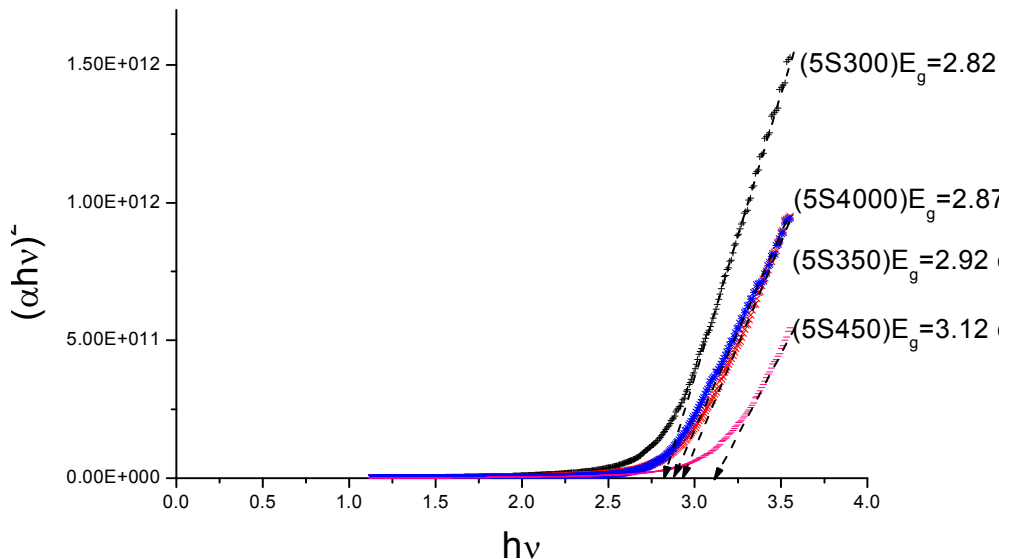
با داشتن مقادیر مربوط به ضخامت و با استفاده از رابطه (۴-۲) می توان ضریب جذب α این نمونه ها را پیدا کرد . شکل (۱۲-۴) نمودار ضریب جذب این نمونه ها را بر حسب طول موج نشان می دهد.



شکل (۱۲-۴) نمودار ضریب جذب نمونه های بازپخت شده

همان طور که در شکل (۱۲-۴) دیده می شود با افزایش دمای بازپخت لبه جذب به سمت انرژیهای بیشتر (طول موجهای کمتر) جابجا شده است.

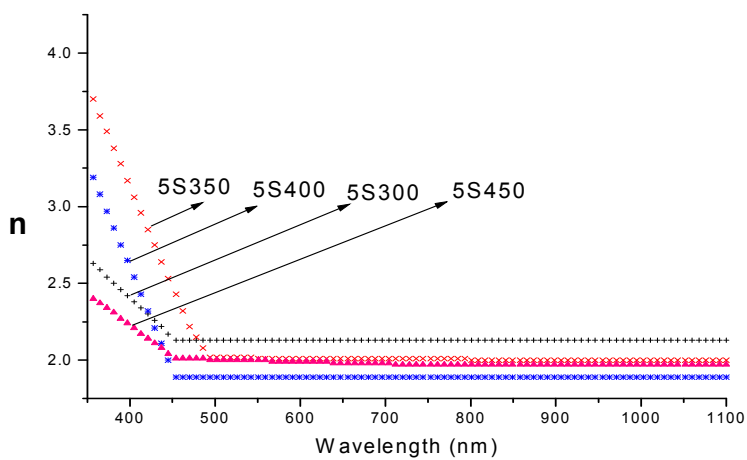
برای تخمین اندازه گاف نواری اپتیکی نیز می توان از رابطه (۲-۴) و استفاده نمود. نتایج محاسبه در شکل (۱۲-۴) نشان داده شده است.



شکل (۱۳-۴)- تغییرات و مقادیر گاف نواری بر حسب انرژی فوتون برای نمونه های بازپخت شده

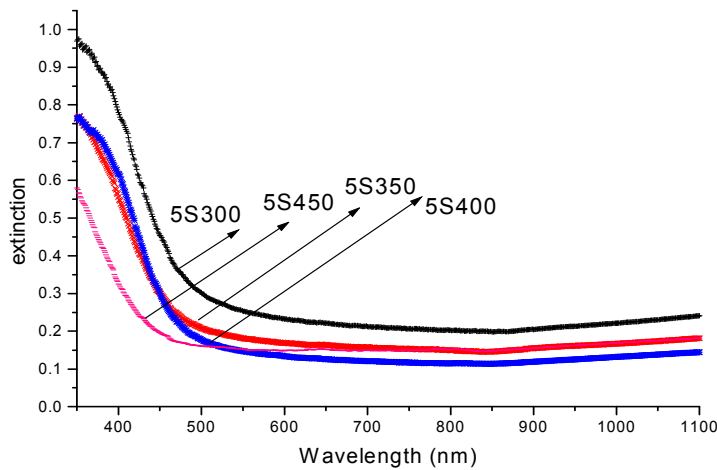
همان طور که در این شکل گزارش شده است به طور کلی با افزایش دمای بازپخت گاف نواری اپتیکی از مقدار حدود $2/8 \text{ eV}$ به مقدار حدود $3/1 \text{ eV}$ افزایش می یابد که این افزایش ممکن است بخارتر کاهش تراکم حاملها باشد مطابق با گزارشی از تحقیق گروه واک کاد و همکارانش [۴۵].

در شکل (۱۴-۴) که نشانگر چگونگی رفتار ضریب شکست بر حسب طول موج برای نمونه های ۵S450 ، ۵S400 ، ۵S350 و ۵S300 می باشد ، مشاهده می گردد که با افزایش طول موج ، ضریب شکست کاهش یافته و سپس ثابت شده است که یک رفتار کاملاً طبیعی است. لیکن مقدار ضریب شکست برای نمونه های مختلف بین $1/25$ تا $1/75$ متغیر است و همان طور که قبلاً بیان شد نمونه ۵S400 از ساختار بهتری برخوردار است، لذا این نمونه باید دارای ضریب شکست کمتری نسبت به بقیه نمونه ها باشد که در شکل (۱۴-۴) در محدوده طول موج مرئی این نمونه کمترین مقدار ضریب شکست (در حدود $1/8$) را دارد.



شکل (۱۴-۴)- تغییرات ضریب شکست برای نمونه های ۵S450، ۵S400، ۵S350، ۵S300 و ۵S400.

همچنین رفتار ضریب خاموشی برای این نمونه ها بررسی شده است و نتایج آن در شکل (۱۵-۴) امده است. همان طور که در این شکل دیده می شود با افزایش دمای بازپخت ضریب خاموشی نمونه ها کاهش می یابد و این مسئله می تواند ناشی از کاهش میزان جذب با افزایش دمای بازپخت باشد.



شکل (۱۵-۴)- میزان تغییرات ضریب خاموشی نمونه های ۵S450، ۵S350، ۵S300، ۵S400 و ۵S400.

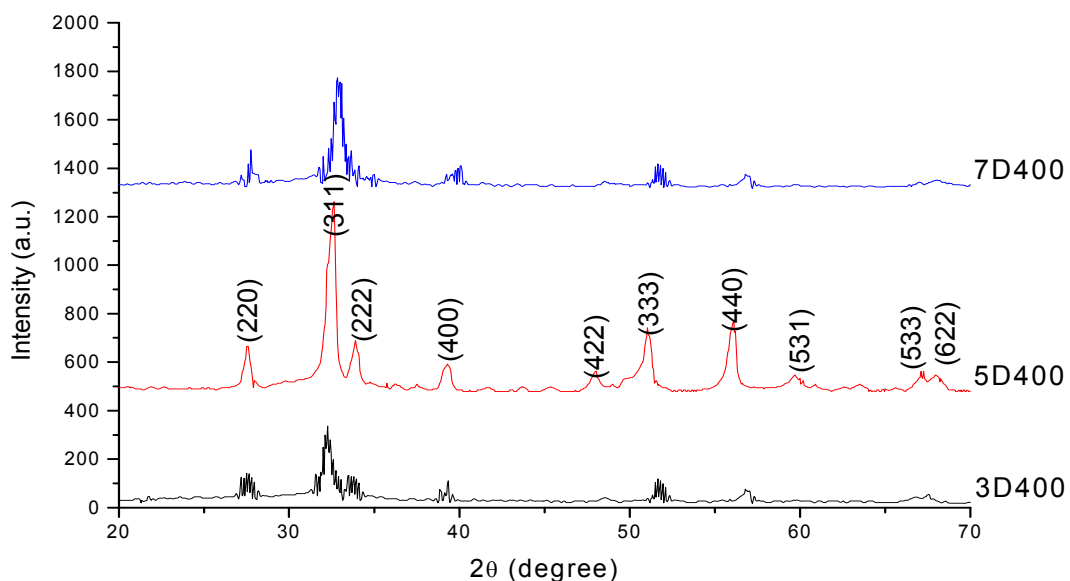
۴-۵- مطالعه خواص فیزیکی لایه های نازک $CdIn_2O_4$ تهیه شده به روش

غوطه وری

نمونه های مطالعه شده در این قسمت با روش سل-ژل و تکنیک غوطه وری آماده شدند. ابتدا سل مورد نیاز به روش اشاره شده در بخش (۲-۴) تهیه شد و سپس سه نمونه با تعداً دفعات لایه نشانی متفاوت آماده شدند. نمونه ها پس از هربار لایه نشانی به مدت ۱۰ دقیقه در دمای $110^{\circ}C$ تحت عملیات خشک سازی قرار گرفتند. نمونه با شماره 3D400 با سه بار غوطه وری و نمونه با شماره 5D400 با پنج بار غوطه وری و نمونه با شماره 7D400 با هفت بار غوطه وری تهیه شدند. تمامی نمونه ها در دمای $400^{\circ}C$ به مدت یک ساعت تحت عملیات بازپخت قرار گرفتند.

۴-۵-۱- بررسی خواص ساختاری لایه ها

برای بررسی خواص ساختاری نمونه ها، اندازه گیری XRD سری آنها انجام شد. طیف پراش اشعه ایکس این نمونه ها در شکل (۴-۱۶) نشان داده شده است.



شکل(۱۶-۴)- طیف های پراش پرتو ایکس نمونه های 3D400، 5D400 و 7D400.

همان طور که در این شکل دیده می شود نمونه شماره 5D400 ۵ دارای بیشترین تعداد قله پراش می باشد که شدت قله های آن نسبت به دو نمونه دیگر بیشتر و همچنین در تمامی نمونه ها شدت قله ناشی از پراش از صفحات (۳۱۱) از سایر صفحات بیشتر است. بنابراین می توان این راستا را به عنوان راستای ترجیحی تشکیل بلور در نظر گفت. برای این نمونه ها اندازه بلورکها را با استفاده از رابطه دبای شر برای قله ناشی از پراش صفحات (۳۱۱) (که پارامترهای آن دربخش ۲-۲-۱ معرفی شده اند) بدست آورده ایم [۵۰].

$$\beta \cos\theta = k\lambda / D \quad (4-4)$$

نتایج بدست آمده در جدول (۵-۴) گزارش شده است.

جدول (۵-۴)- اندازه بلورکها با استفاده از رابطه دبای شر برای قله ناشی از پراش صفحات (۳۱۱) برای نمونه ها

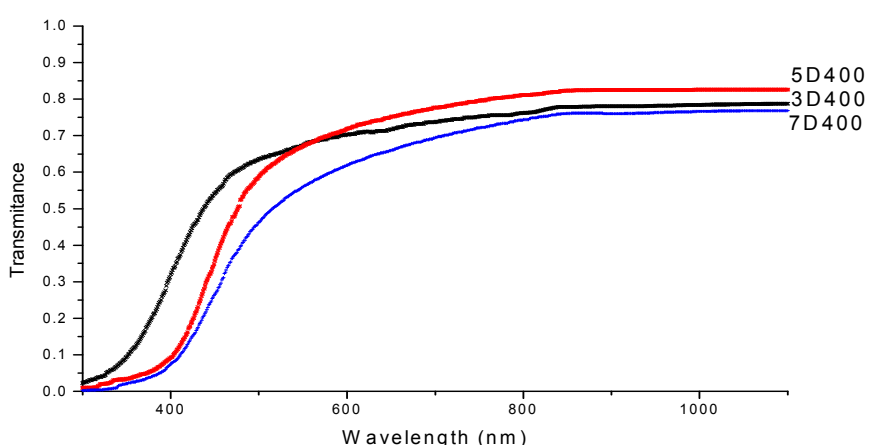
نمونه	3D400	5D400	7D400
اندازه بلورک (nm)	۱۵	۱۹	۱۷

همان طور که این نتایج نشان می‌دهد با افزایش تعداد دفعات غوطه وری از سه بار به پنج بار، اندازه بلورکها افزایش می‌یابد و سپس برای نمونه‌ای که تحت هفت بار عمل لایه نشانی قرار گرفته است دوباره قدری کاهش یافته است. این نتایج نشان می‌دهد که نمونه 5D400 از نظر ساختاری نسبت به دو نمونه دیگر از کیفیت بهتری برخوردار است.

با استفاده از فرمول برآگ (۱-۲) و رابطه (۲-۲-الف) ثابت‌های شبکه این نمونه‌ها را می‌توان محاسبه نمود. این محاسبه نشان می‌دهد که مقدار متوسط ثابت شبکه نمونه‌ها $a = ۹/۱۱۵\text{ nm}$ است که در توافق بسیار خوبی با مقادیر گزارش شده از کارت‌های استاندارد JCPDS ($a = ۹/۱۶۱\text{ nm}$) می‌باشد.

۴-۵-۲-بررسی خواص اپتیکی نمونه‌ها

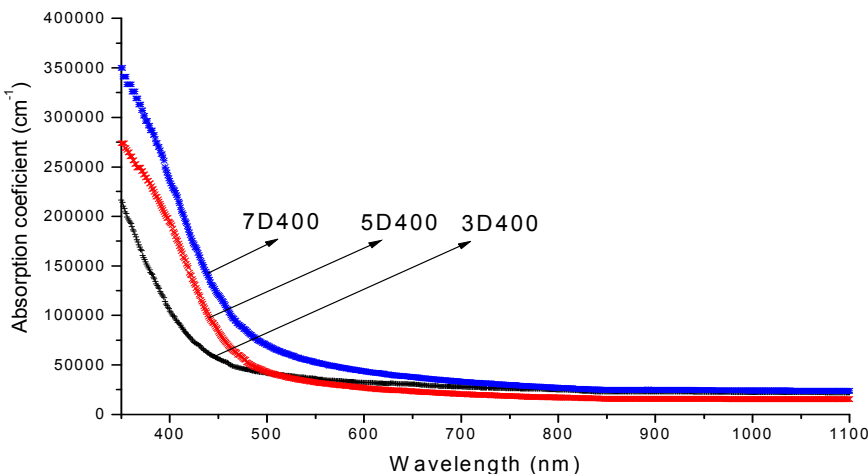
برای بررسی خواص اپتیکی نمونه‌ها، ابتدا طیف تراگسیل اپتیکی نمونه‌های مورد نظر در بازه طول موجی 300 nm تا 1100 nm اندازه گیری شد که در شکل (۱۷-۴) نشان داده شده است.



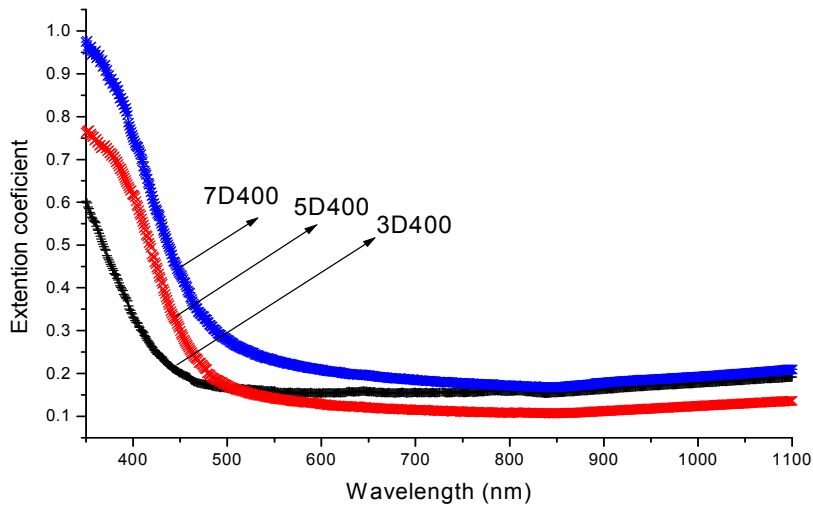
شکل (۱۷-۴)-طیف تراگسیل اپتیکی نمونه‌های 5D400, 3D400 و 7D400

همان طور که در این شکل مشاهده می‌شود با افزایش تعداد دفعات غوطه وری میزان عبور کاهش یافته (حدوداً به میزان ۱۷٪) و لبه جذب به سمت انرژی های کمتر جابجا می‌شود. چون افزایش دفعات غوطه وری می‌تواند منجر به افزایش ضخامت لایه های انباشت شده گردد، لذا کاهش میزان طیف تراگسیل ممکن است ناشی از افزایش ضخامت لایه باشد. از سوی دیگر همان طور که نتایج اندازه گیری های XRD نشان داد اندازه بلورکهای نمونه ۵D400 از سایر نمونه ها اندکی بزرگتر است، بنابراین انتظار داریم برای این نمونه پراکندگی موج الکترومغناطیسی از سایر نمونه ها بیشتر بوده و بنابراین درصد عبور برای آن نیز بیشتر شود.

با استفاده از داده های عبور ، ضریب جذب و ضریب خاموشی برای این نمونه ها بدست آمده است و نتایج آن در شکل های (۱۸-۴) و (۱۹-۴) نشان داده شده است.

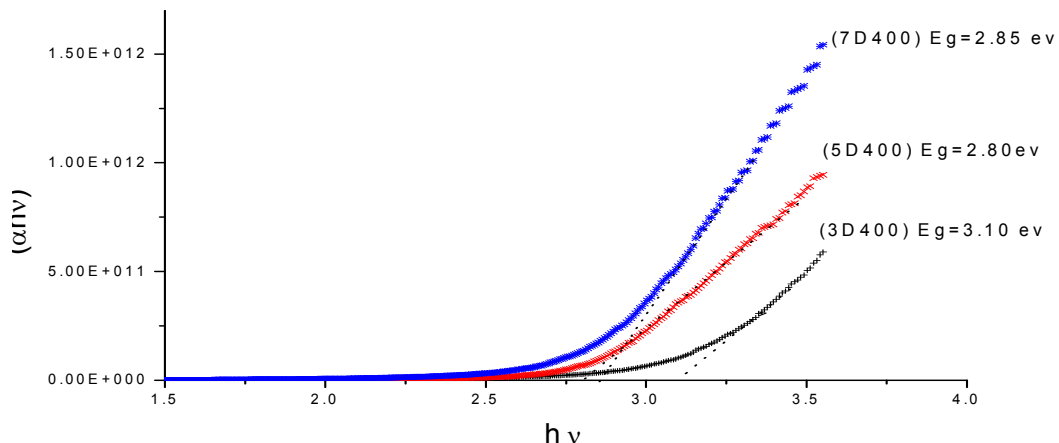


شکل (۱۸-۴)- ضریب جذب لایه های انباشت شده به روش غوطه وری با تعداد دفعات متفاوت.



شکل(۱۹-۴)- ضریب خاموشی لایه های انباشت شده به روش غوطه وری با تعداد دفعات متفاوت.

همچنین با استفاده از مقادیر ضریب جذب نمونه ها، گاف نواری نمونه ها با استفاده از برون یابی خطی منحنی $(\alpha h\nu)^2$ بر حسب انرژی تخمین زده شده است که مقادیر بدست آمده با گاف نواری گزارش شده در مقالات [۵۹و ۴۵] در توافق است. همان طور که نتایج اندازه گیری های طیف پراش پرتو X نشان داد اندازه بلور کها برای نمونه 5D400 ۵ اندکی بزرگتر بود و در نتیجه انتظار داریم گاف نواری اپتیکی آن نسبت به دو نمونه دیگر نیز قدری کوچکتر باشد.



شکل (۲۰-۴)- مقادیر گاف نواری لایه های انباشت شده به روش غوطه وری با تعداد دفعات متفاوت.

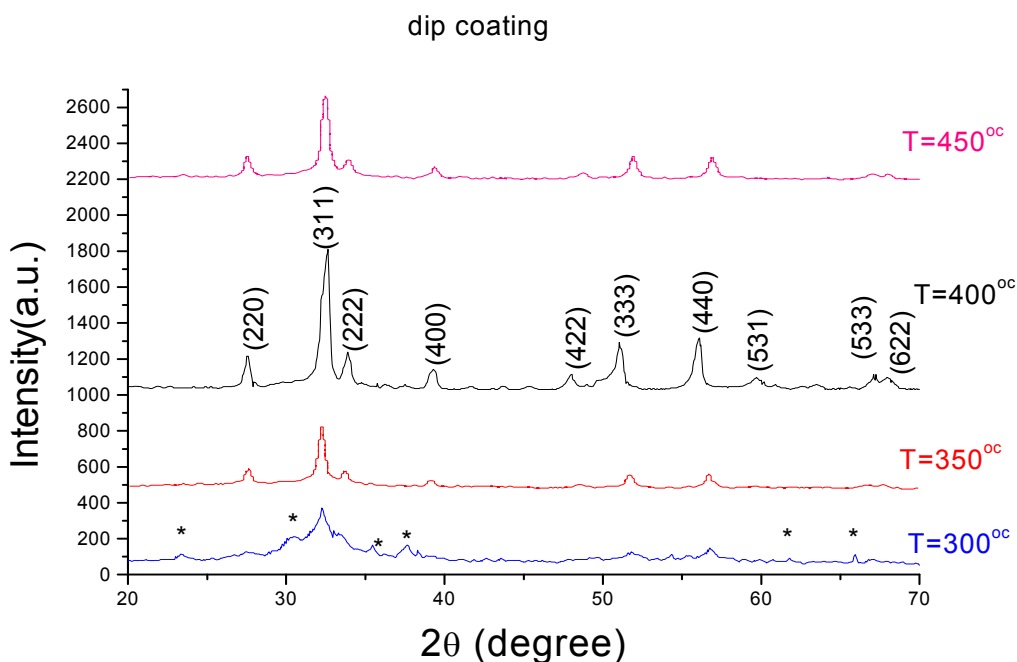
۶-۴- مطالعه خواص فیزیکی اثر بازپخت در دماهای متفاوت لایه های نازک

CdIn₂O₄ تهیه شده به روش غوطه وری

در این قسمت ابتدا چهار نمونه به روش اشاره شده در قسمت قبل (۵-۴) تهیه شدند . تعداد دفعات غوطه وری در این نمونه ها ۵ بار بوده است و سپس هر کدام از این نمونه ها در دماهای °C (5D450) ۴۵۰ °C، (5D400) ۴۰۰ °C، (5D30050) ۳۵۰ °C ، (5D300) ۳۰۰ تحت عملیات بازپخت قرار گرفته اند و خواص ساختاری و اپتیکی آنها مورد بررسی قرار گرفته است.

۱-۶-۴- بررسی خواص ساختاری نمونه ها

برای بررسی خواص ساختاری نمونه ها طیف های پراش پرتو ایکس آنها در بازه ۲۰-۷۰ درجه ثبت گردید و نتایج آن در شکل (۲۱-۴) نشان داده شده است.



شکل ۴-۲۱-۴- طیف پراش پرتو ایکس برای نمونه های بازپخت شده در دماهای 300°C ، 350°C ، 400°C و 450°C

همان گونه که در این شکل مشاهده می شود، تمامی نمونه های بازپخت شده دارای ساختار چند بلوری می باشند و راستای ترجیحی تشکیل بلورها ، راستای (۳۱۱) است . طیف XRD ثبت شده برای نمونه بازپخت 5D300 نشانگر تشکیل فازهای ناخالصی در این نمونه است که روی طیف پراش اشعه ایکس ، آنها را با علامت * مشخص کرده ایم. الگوی طیف XRD نمونه ها نشان می دهد که ابتدا با افزایش دمای بازپخت تا 400°C ساختار بلوری دارای کیفیت بهتری نسبت به نمونه های بازپخت شده در دماهای 300°C و 350°C دارد. همن طور که در شکل (۴-۲۱) دیده می شود با افزایش بیشتر دمای بازپخت تا 450°C مجدداً شدت قله های پراش کاهش می یابد. این نتایج نشان می دهد که تشکیل ساختار بلوری کاملاً به عملیات بازپخت و نیز دمای بازپخت وابسته است. اندازه متوسط بلورکها و همچنین مقادیر کرنش مربوط به این نمونه ها را با استفاده از رابطه ویلیامسون-هال (۳-۶) بدست آورده و نتایج را در جدول (۶-۴) گزارش کرده ایم. این نتایج نشان می دهد که با

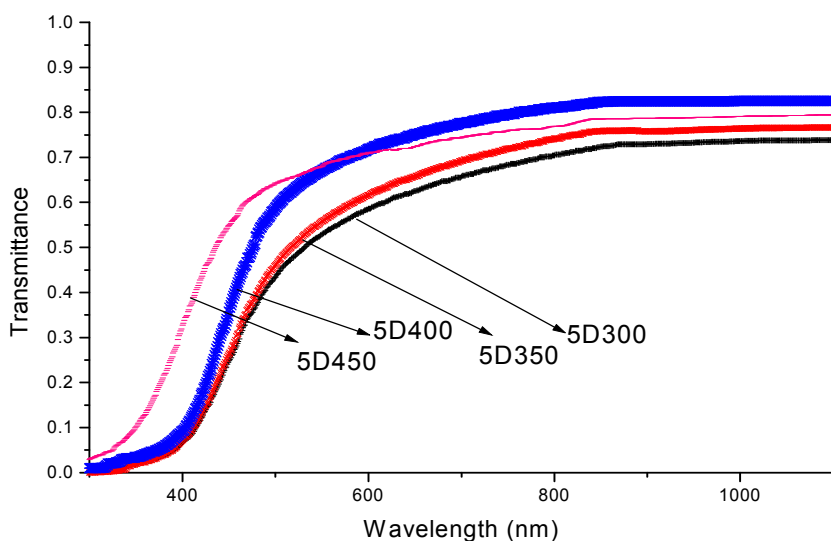
افزایش دمای بازپخت تا 400°C اندازه متوسط بلورکها و کرنش موجود در لایه ها افزایش و سپس با افزایش دما تا 450°C این مقادیر کاهش یافته می یابند.

جدول (۶-۴)- اندازه متوسط بلورکها و میزان کرنش با استفاده از رابطه ویلیامسون- هال برای نمونه های بازپخت شده در درجه های 300°C ، 350°C و 400°C درجه سانتی گراد.

نمونه	اندازه متوسط بلورک (nm)	مقدار کرنش
5D300	۱۵	۰/۰۰۱۸۸
5D350	۱۷	۰/۰۰۱۹۳
5D400	۲۰	۰/۰۰۴۱۶
5D450	۱۹	۰/۰۰۲۴۴

۶-۴-۲- بررسی خواص اپتیکی نمونه ها

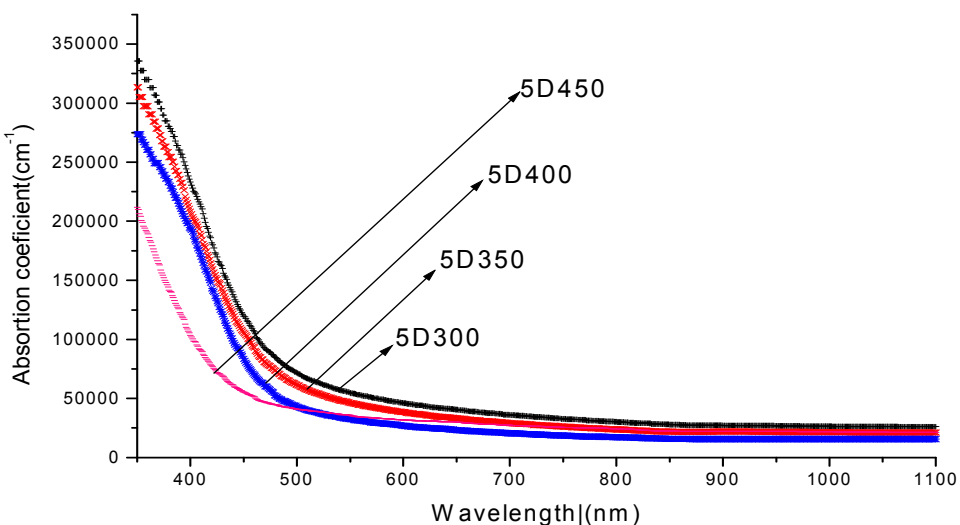
شکل (۲۲-۴) طیف تراگسیل اپتیکی نمونه ها را پس از عملیات بازپخت نشان می دهد.



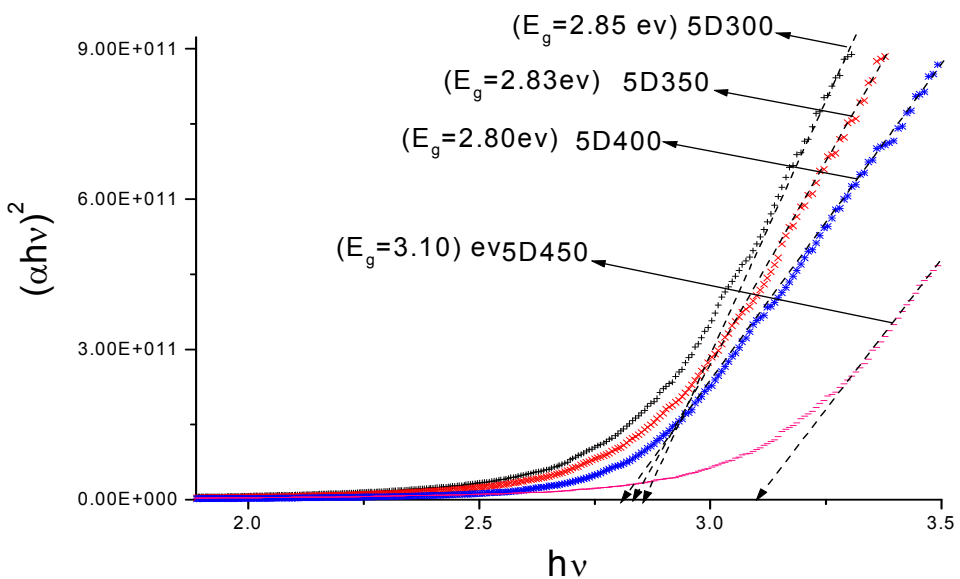
شکل (۲۲-۴)- طیف تراگسیل اپتیکی نمونه های 5D450, 5D400, 5D350, 5D300

همان طور که مشاهده می گردد عبور متوسط نمونه ها در ناحیه طول موجی nm ۵۰۰ تا nm ۱۱۰۰ در حدود ۵۰٪ تا ۸۵٪ می باشد. درصد عبور برای نمونه بازپخت شده در دمای 300°C از همه کمتر و برای نمونه بازپخت شده در دمای 400°C از همه بیشتر است. این نتیجه با نتایج حاصل از اندازه گیری های XRD در توافق می باشد. همچنین منحنی های طیف تراگسیل نشان می دهند که با افزایش دمای بازپخت لبه جذب به سمت انرژی های بیشتر جابجا شده است از سوی دیگر کاهش طیف عبور برای نمونه بازپخت در دمای 450°C ممکن است بیانگر افزایش زیری سطح این نمونه نیز باشد که برای بررسی بیشتر آن نیاز به مقادیر مربوط به AFM می باشد.

با استفاده از داده های عبور، ضریب جذب نمونه ها نیز محاسبه گردید و از آنجا گاف نواری نمونه ها بدست آمد. شکل (۲۳-۴-الف) نمودار ضریب جذب بر حسب طول موج و شکل (۲۳-۴-ب) نمودار تغییرات $(\alpha h\nu)$ را بر حسب انرژی فوتون فروودی برای مقادیر مختلف دمای بازپخت نمونه های مذکور همراه با مقادیر گاف نواری نشان می دهد.



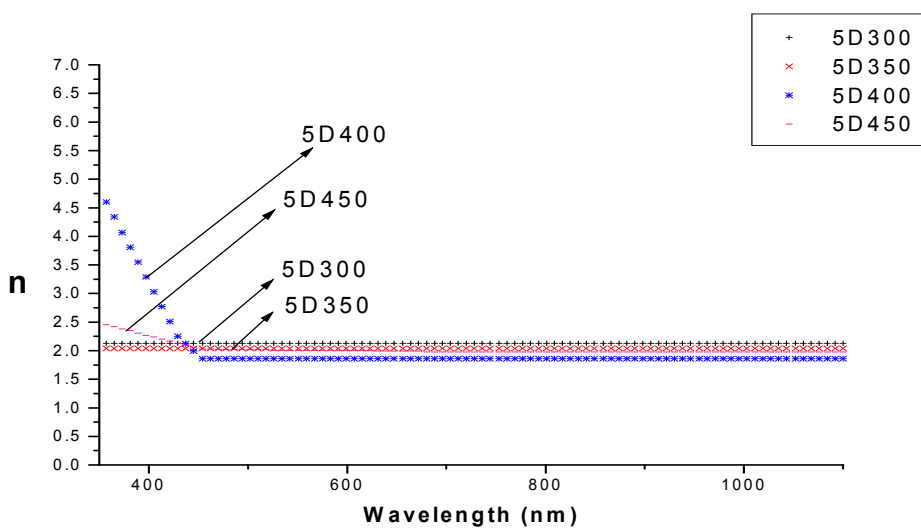
شکل (۲۳-۴-الف)- ضریب جذب بر حسب طول موج نمونه های 5D450.5D400.5D350.5D300



شکل (۲۳-۴-ب) $(\alpha h\nu)^2$ بر حسب انرژی نمونه های ۵D450, ۵D400, ۵D350, ۵D300 و ۵D200

همان طور که از شکل (۲۳-۴-الف) پیداست لبه جذب برای دماهای 300°C تا 400°C به مقدار اندکی به سمت طول موجهای کمتر جابجا شده و این امر باعث کاهش دراندازه گاف نواری می شود ولی از دماهای 400°C تا 450°C گاف نواری افزایش یافته است و این امر شاید به دلیل کاهش تراکم حاملها باشد، ذکر این دلیل بنا به گزارش گروه واک کاد و همکارانش [۴۵] می باشد.

شکل (۲۴-۴) که رفتار ضریب شکست بر حسب طول موج را برای نمونه های ۵D350, ۵D300, ۵D450, ۵D400 و ۵D200 نشان می دهد، حاکی از آن است که در بازه طول موجی 500 nm تا 1100 nm نمونه ۵D400 که از ساختار بهتری نسبت به دیگر نمونه ها برخوردار است، ضریب شکست کمتری داشته و در این بازه طول موجی، مقدار ثابت تقریباً برابر $n=1/80$ را دارا می باشد.



شکل (۷-۴)- منحنی ضریب شکست بر حسب طول موج برای نمونه های 5D450.5D400.5D350.5D300

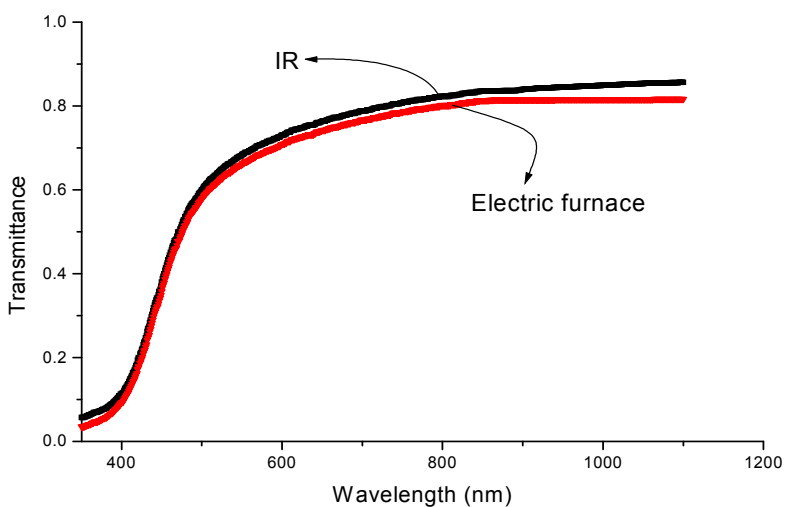
۷-۴- بررسی اثر فرایند خشک سازی بر کیفیت اپتیکی و مورفولوژی نمونه ها

یکی از مهمترین فرایندهای حاکم در روش سل-ژل عملیات خشک سازی است . پس از هر بار لایه نشانی به منظور شکل گیری ساختار بلوری یک لایه و عملیات لایه نشانی بعدی، فرایند خشک سازی انجام می گیرد. در واقع اگر لایه ابتدائی به طور کامل خشک نشود، دومین لایه، لایه بعدی را به سمت پایین کشیده و سب کاهش ضخامت می شود و یا ممکن است باعث از بین رفتن یکنواختی لایه ها گردد. همچنین در مرحله خشک سازی، بسیاری از پیش ماده ها، تبخیر می شوند. حتی در این مرحله آب و بخشی از حللا ها نیز تا حدودی از بین می روند؛ بنابراین در حین عملیات بازپخت، ناخالصی کمتری در لایه وجود داشته و این مسئله باعث می شود که لایه یکنواختی خود را حفظ کند زیرا اگر ناخالصی ها در طی فرایند خشک سازی کمتر نشده باشند، در حین عملیات بازپخت ممکن است هنگامی که برای خارج شدن به سمت سطح لایه می آیند، حفره هایی را در سطح ایجاد کنند

که وجود این حفره ها ممکن است موجب تغییر در خواص لایه ها گردد. بنابراین فرایند خشک سازی یکی از عواملی است که در بالا بردن کیفیت لایه ها موثر است.

لذا در این قسمت به بررسی خواص اپتیکی نمونه هایی می پردازیم که با دو روش کوره الکتریکی و لامپ IR تحت عملیات خشک سازی واقع شده‌اند.

به منظور بررسی اثر فرایند خشک سازی روی خواص اپتیکی نمونه ها، طیف های تراگسیل آنها را در بازه طول موجی nm ۳۵۰ تا ۱۱۰۰ ثبت شده است و نتایج آن در شکل (۲۴-۴) نشان داده شده است.



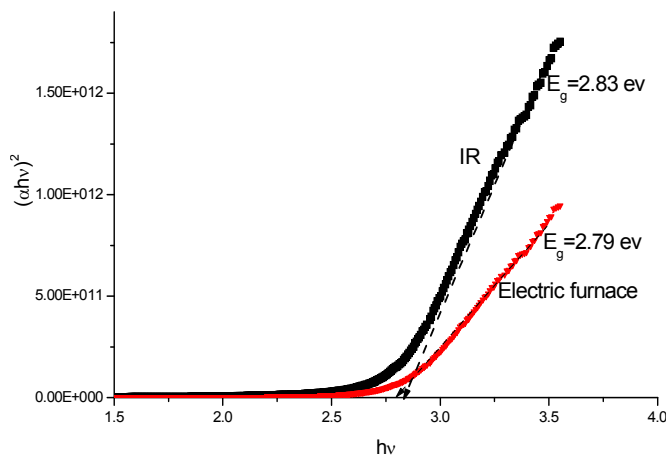
شکل (۲۵-۴)- طیف تراگسیل عبوری مربوط به دو نمونه خشک سازی شده به روش لامپ IR و کوره

همان طور که در این شکل (۲۵-۴) دیده می‌شود میزان عبور در نمونه ای که با لامپ IR خشک سازی شده است نسبت به نمونه ای که از طریق کوره خشک سازی شده است، اندکی افزایش یافته است. این امر ممکن است به دلیل بهتر بودن فرایند خشک سازی با لامپ IR در مقایسه با خشک سازی در کوره الکتریکی باشد زیرا ممکن است در حین انتقال لایه ها به محل کوره الکتریکی،

ناخالصی های موجود در اتمسفر جو روی سطح لایه چسبیده و این امر باعث افزایش زبری سطح نمونه گردد و در نتیجه پراکندگی نور از سطح آن افزایش یافته و درنتیجه عبور قدری کاهش می یابد. همچنین لبه جذب برای نمونه خشک شده با لامپ IR اندکی به سمت طول موجهای کوچکتر جابجا شده است.

ضخامت نمونه ها که از طریق نرم افزار پوما و طیف عبور محاسبه گردید برای نمونه خشک سازی شده به روش لامپ IR مقدار متوسط $5S400\text{ nm}$ و برای نمونه 80 nm مقدار متوسط 123 nm را تخمین زده است.

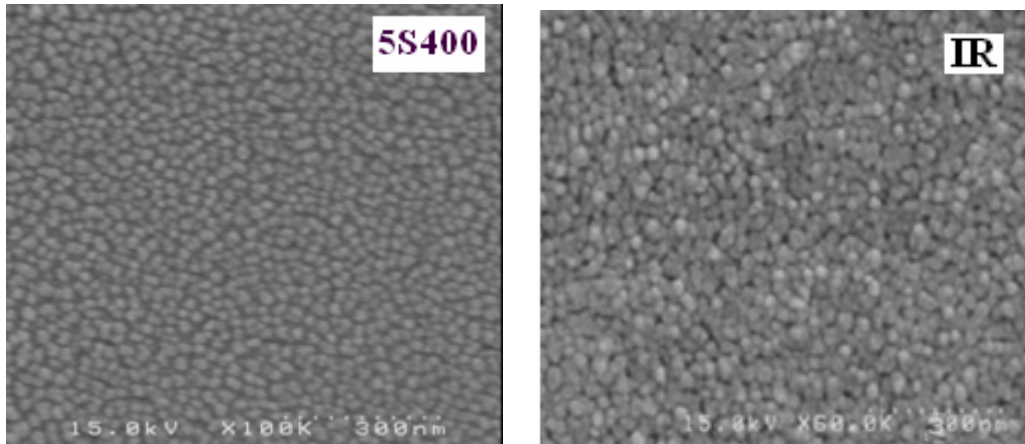
در شکل (۲۶-۴) گاف نواری اپتیکی با برون یابی خط موجود در طول موجهای بلند در منحنی $(\alpha h\nu)^2$ بر حسب $h\nu$ در محل $h\nu = 0$ بدست آمده است. که مشابه گزارشی در مقاله [۴۴] می باشد. گاف نواری اپتیکی در روش خشک سازی توسط لامپ IR به میزان تقریبی (40 mev) بیشتر از حالتی شده است که توسط کوره خشک سازی صورت گرفته است.



شکل (۲۶-۴)- مقادیر گاف نواری نمونه های خشک سازی شده با روش لامپ IR و کوره الکتریکی

همچنین به منظور بررسی ساختار این نمونه ها تصاویر FESEM از آنها تهیه شده است که در

شکل (۲۴-۴) این نشان داده شده است. همانطور که در این دو شکل دیده می‌شود هر دو نمونه دارای ساختار دانه‌ای یکنواختی بوده که اندازه متوسط این دانه‌ها در حدود 30 nm می‌باشد. این دانه‌ها احتمالاً همان بلورکهای سازنده ساختار بلوری می‌باشند که در سراسر سطح زیر لایه به طور یکنواخت توزیع شده‌اند. برای بزرگسازی راستای تشکیل این بلورکها اندازه گیری‌های XRD مورد نیاز می‌باشد که متناسب‌انه فرست انجام آن میسر نشده است.



شکل (۲۷-۴)- تصاویر FESEM مربوط به نمونه‌های خشک سازی شده با روش لامپ IR و کوره الکتریکی.

در ادامه برای بررسی بیشتر اکسید کادمیوم ایندیوم (CdIn_2O_4) اقدام به تهیه پودرهای این اکسید نموده ایم.

۸-۴- چگونگی تهیه پودرهای اکسید کادمیوم ایندیوم (CdIn_2O_4)

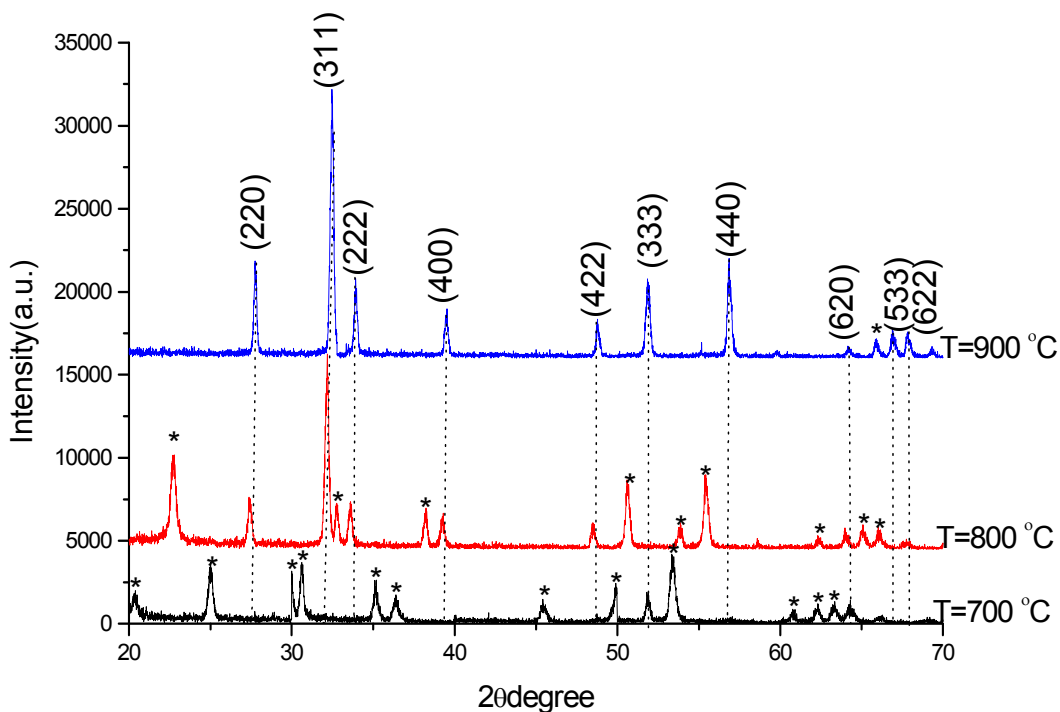
به منظور تهیه پودر، سل مورد نظر را که در بخش (۲-۲-۴) چگونگی تهیه آن بیان شده است. جهت تبدیل سل به ژل برای مدت دو ماه در دمای اتاق در محیط آزمایشگاه قرارداده ایم. در این هنگام سل به آرامی به یک ماده ژلاتینی نیمه جامد که ژل نامیده می‌شود تبدیل شد. سپس ژل حاصل را در دمای 110°C درون کوره الکتریکی قرارداده ایم تا اینکه ماده ای جامد متخلخل با خلل و

فرج زیاد و چگالی بسیار پایین به نام آیروژل ایجاد شد. سپس آنرا برای مدت ۴ ساعت در دمای 700°C تحت عملیات خشک سازی قرار دادیم. سپس پودرهای تهیه شده، در دماهای 800 و 900 درجه سانتی گراد بازپخت شدند که در ادامه خواص ساختاری پودرهای تهیه شده مورد بررسی قرار گرفته است.

۴-۸-۱- بررسی خواص ساختاری پودرهای اکسید کادمیوم ایندیوم (CdIn_2O_4)

جهت بررسی خواص ساختاری نمونه های پودری، طیف پراش پرتو ایکس آنها ثبت شده است. در شکل (۲۹-۴) طیف های نوعی ثبت شده برای سه نمونه پودری اشاره شده نشان داده شده است. وجود قله های پراش متعدد در این طیفها گویای چند بلوری بودن نمونه ها است. همانطور که در این شکل دیده می شود، در دمای 700°C بجز دو قله ضعیف در راستاهای (۳۳۳) و (۶۲۰)، هیچ قله دیگری که مربوط به راستای چند بلوری (CdIn_2O_4) باشد، مشاهده نمی شود و قله های پراش مربوط به تشکیل فازهای ثانوی قابل رویت هستند. اگرچه با افزایش دمای بازپخت تا 800°C ، ساختار مکعبی اکسید کادمیوم ایندیوم (CdIn_2O_4)، باراستای ترجیحی (۳۱۱) شکل می گیرد لیکن هنوز قله های مربوط به فازهای ناخالص قابل رویت است که فازهای ناخالصی روی الگوی پراش با علامت * نشان داده شده اند. با افزایش بیشتر دمای بازپخت تا 900°C مشاهده می شود که قله های پراش مربوط به ساختار مکعبی (CdIn_2O_4) کاملاً آشکار شده و فازهای ثانوی که تا پیش از این دما قابل رویت بودند، ناپدید می شوند. در واقع مشاهده می شود که با افزایش دمای بازپخت شدت قله های پراش وابسته به ساختار چند بلوری اکسید کادمیوم ایندیوم به طور قابل توجهی افزایش یافته است و در نتیجه پهنازی قله های حاصل از پراش پرتو ایکس در نیمه ماکزیمم علی الخصوص در راستای ترجیحی تشکیل بلور کاهش یافته است که این امر با توجه به رابطه دبای - شرر (۴-۴) می تواند بیانگر افزایش اندازه بلور کها و در نتیجه افزایش کیفیت ساختاری ماده باشد.

مقادیر مربوط به اندازه بلورکها برای راستای ارجح (۳۱۱) باتوجه به رابطه دبای - شر برای پودر بازپخت شده برای 800°C این مقدار برابر $D=33/714 \text{ nm}$ و برای پودر بازپخت شده در دمای C° این مقدار برابر $D=37/947 \text{ nm}$ تخمین زده شده است. با توجه به روابط (۱-۲) و (۲-۲-الف) مقدار ثابت شبکه برای آن دو نمونه به ترتیب برابر $a=9/218 \text{ nm}$ و $a=9/134 \text{ nm}$ محاسبه گردید.

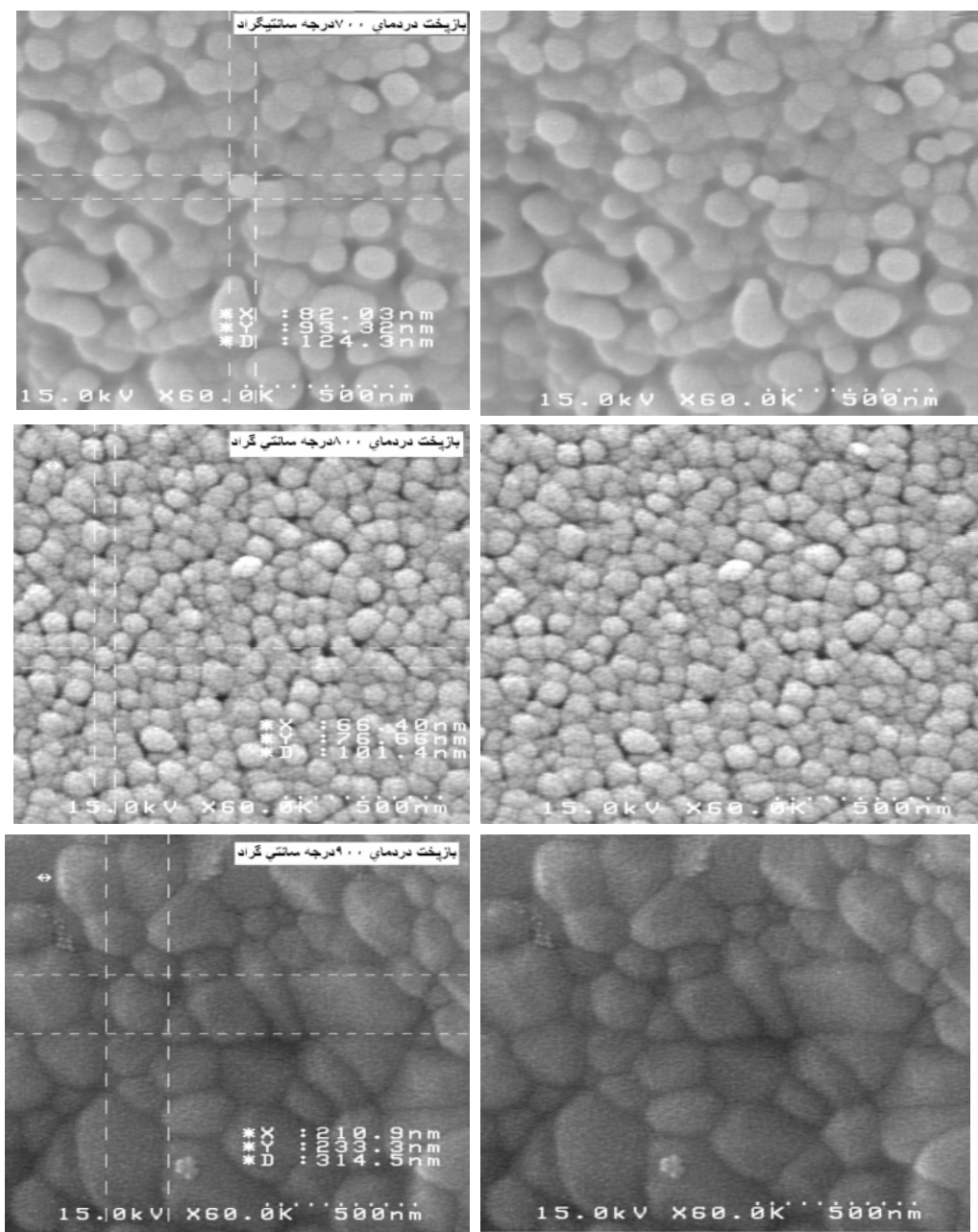


شکل (۴-۲۹)- طیف های پراش پرتو ایکس نمونه های پودری بازپخت شده در دماهای 700°C ، 800°C و 900°C .

۲-۸-۴- بررسی مورفولوژی پودرهای تهیه شده به روش سل-ژل

برای بررسی بیشتر ساختار نمونه های بازپخت شده از آنها تصاویر FESEM تهیه شد. این تصاویر برای نمونه های بازپخت شده در دماهای 700 ، 800 و 900 درجه سانتی گراد در شکل (۴-۳۰) نشان داده شده است. همانطور که در این تصاویر دیده می شود، در نمونه بازپخت شده در دمای C° ذراتی با اندازه های کاملاً متفاوت و نامنظم دیده می شود. با توجه به قدرت تفکیک $T=700$ انجام شده، اندازه ه متوسط این رذات بین حدود 80 تا 200 نانومتر می باشد که غالباً

مربوط به تشکیل فازهای ثانویه می باشد. با افزایش دمای بازپخت تا $T=800^{\circ}\text{C}$ ، کیفیت تصویر کاملاً تغییر کرده و ذرات نسبتاً کروی شکل و منظمی سراسر منطقه تصویر برداری شده را در بر گرفته اند. اندازه متوسط این دانه ها در حدود 65 nm می باشد. البته در لابلای این دانه ها هنوز ذرات غیر یکنواخت نیز مشاهده می شود که مربوط به تشکیل فازهای ثانویه دیگری غیر از اکسید کادمیوم ایندیوم (نظیر اکسید کادمیوم و اکسید ایندیوم) می باشند. در تصاویر بین ذرات حفره هایی نیز قابل مشاهده هستند. بالفزایش بیشتر دمای بازپخت تا $T=900^{\circ}\text{C}$ رشد دانه ها کاملاً قابل مشاهده می باشد. در این تصاویر دانه های به هم چسبیده با اندازه های متوسطی در حدود 200 nm تا 400 nm نیز دیده می شود و هیچ حفره ای بین دانه ها وجود ندارد. آنچه در این تصاویر دیده می شود با نتایج حاصل از اندازه گیری های طیف پراش اشعه X کاملاً در توافق می باشد.



شکل(۴)- تصاویر FESEM نمونه های پودری بازپخت شده در دمای ۳۰۰°C، ۴۰۰°C، ۵۰۰°C، ۶۰۰°C، ۷۰۰°C و ۸۰۰°C.

۴-۹- تهیه لایه های نازک اکسید کادمیوم ایندیوم ($CdIn_2O_4$) به روش تجزیه

گرمای افشاره ای

با توجه به اینکه روش رشد نمونه یکی از مواردی است که می‌تواند روی کیفیت و در نتیجه خواص فیزیکی آن تأثیر قابل توجهی داشته باشد، لذا در این پایان نامه بر آن شدیم که علاوه بر رشد

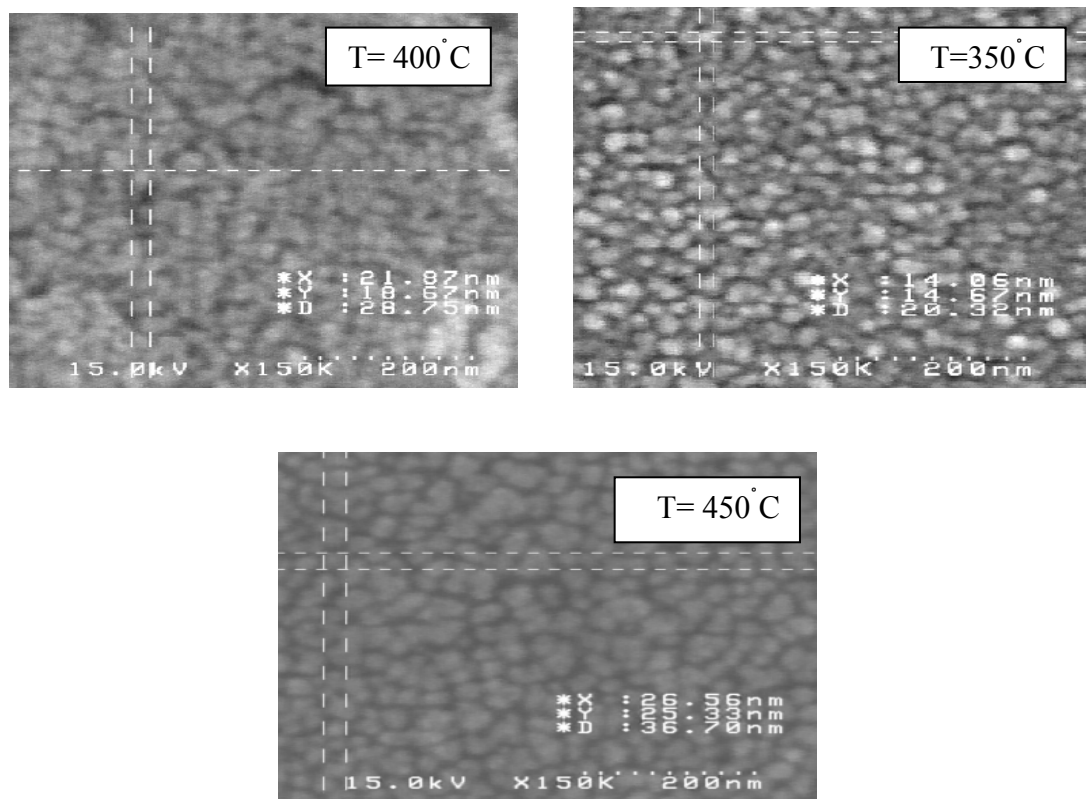
لایه های اکسید کادمیوم ایندیوم به روش سل-ژل، نمونه هایی نیز به روش تجزیه گرمایی افشاره ای رشد داده و سپس خواص فیزیکی آنها را بررسی و مقایسه نماییم. در این روش برای تهیه محلول اولیه، ابتدا مقدار $3331 \text{ gr} / 0.03331 \text{ mol}$ از استات کادمیوم (0.0250 مولار) با جرم مولی $266/52 \text{ gr/mol}$ را در 50 ml آب دوبار یونیزه حل شد تا کاملاً شفاف شد و سپس آن، با محلول دیگری که از حل 0.07299 mol ایندیوم (0.0250 مولار) با جرم مولی $291/95 \text{ gr/mol}$ و در 100 ml آب دوبار یونیزه بdest آمد، مخلوط گردید. محلول حاصل به مدت 4 ساعت توسط همزن مغناطیسی هم زده شد تا اینکه کاملاً شفاف شد. قبل از عمل لایه نشانی پارامتر های مربوط به دستگاه اسپری نیز تنظیم شدند. در سنتز نمونه های تهیه شده به این روش، فاصله نازل تا زیر لایه 35 cm ، سرعت دوران صفحه داغ دستگاه اسپری 10 دور بر دقیقه، آهنگ اسپری 5 میلی لیتر بر دقیقه، فشار گاز حامل ($2/5$ بار و دمای زیرلایه 325°C انتخاب شدند. با انتخاب زیرلایه از جنس شیشه و قرار دادن آن بر روی صفحه داغ دستگاه اسپری، هر بار 25 میلی لیتر از این محلول را درون مخزن مربوطه ریخته و عملیات اسپری طی شش مرحله پشت سر هم تکرار شد تا نمونه های مورد نظر آماده شدند.

سپس نمونه های تهیه شده در دماهای مختلف 450°C ، 400°C ، 350°C ، 450°C برای مدت 2 ساعت تحت عملیات بازپخت قرار گرفتند و سپس در ادامه خواص ساختاری و اپتیکی نمونه ها با استفاده از اندازه گیری های طیف تراگسیل و تصاویر FESEM ثبت شده مورد بررسی قرار گرفته است.

۴-۹-۱- بررسی خواص ساختاری نمونه ها با استفاده از تصاویر FESEM

جهت بررسی ساختار نمونه ها از تصاویر FESEM ثبت شده استفاده شد، که نتایج آن در شکل (۳۱-۴) نشان داده شده است. همان طور که در این تصاویر دیده می شود، شکل و ابعاد دانه ها به طور محسوسی تحت تأثیر دمای بازپخت قرار می گیرند. مثلاً برای نمونه بازپخت شده در دمای 350°C دانه هایی تقریباً هم شکل با مقطع دایروی و اندازه متوسط در حدود 15 nm قابل رویت است

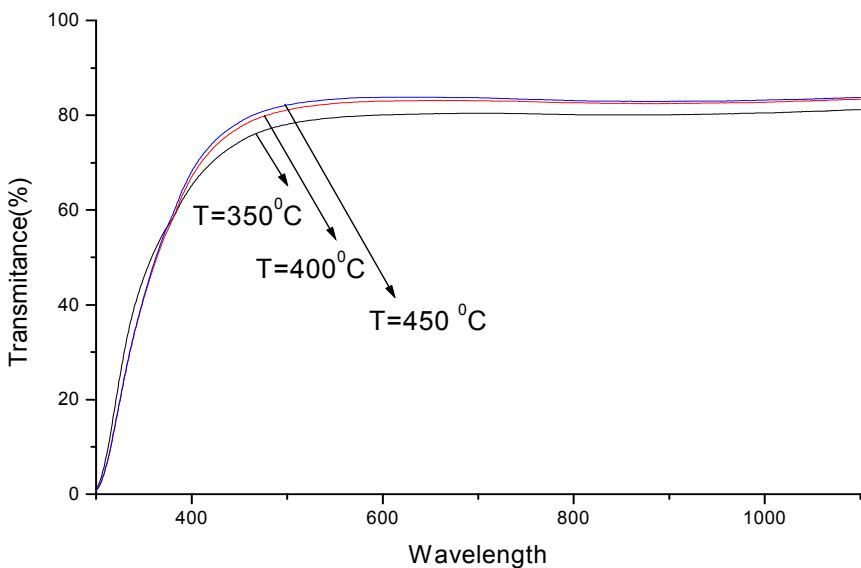
که به نظر می رسد چگالی دانه ها در واحد سطح در این نمونه از دو نمونه دیگر بیشتر باشد. این دانه ها تقریباً تمام سطح زیرلایه را به طور یکنواخت پوشش داده اند. با توجه به تغییر رنگ این دانه ها حضور فازهای ثانوی در این نمونه نسبت به نمونه های دیگر محتمل تر می باشد که البته برای بررسی صحت آن به اندازه گیری های دیگری نظیر طیف پراش اشعه ایکس نیاز می باشد. برای نمونه بازپخت شده در دمای 400°C یکنواختی دانه ها از بین رفته و به نظر می رسد که در اثر چسبندگی به یکدیگر کیفیت ساختاری بلور دچار نقصان شده و فضاهای خالی در بین دانه ها ایجاد شده است. برای نمونه بازپخت شده در دمای 450°C گمان می رود با ساختار خالص تری روبرو می باشیم، به گونه ای که شامل دانه های تقریباً یکنواختی با ابعاد متوسط 30 nm می باشد که احتمالاً این دانه ها همان بلور کها می باشد که ساختار بلوری نمونه را تشکیل می دهند. در بعضی قسمت ها این بلور کها به هم چسبیده و دانه ای با ابعاد بزرگتر را ایجاد نموده اند.



شکل (۴-۳۱) تصاویر FESEM نمونه های بازپخت شده در دماهای متفاوت.

۴-۹-۲-بررسی خواص اپتیکی نمونه ها

برای بررسی خواص اپتیکی نمونه ها ، طیف تراگسیل آنها در بازه طول موجی ۳۰۰ تا ۱۱۰۰ نانومتر اندازه گیری شد. شکل (۳۲-۴) طیف تراگسیل اپتیکی نمونه های بازپخت شده در دماهای 350°C ، 400°C و 450°C را نشان می دهد.



شکل (۳۲-۴)-طیف تراگسیل نمونه های تهیه شده به روش تجزیه گرمایی افسانه ای پس از بازپخت.

همان گونه که این نتایج نشان می دهد، عبور متوسط این نمونه ها حدود 80% می باشد و عملیات بازپخت باعث افزایش اندکی (حدود 5%) در میزان عبور در ناحیه اندازه گیری طیف تراگسیل شده است. بنا بر این از نظر اپتیکی درصد عبور نمونه ها قابل توجه می باشد. این نتیجه با نتایج گروه دووکات برای نمونه بازپخت شده که با همین روش تهیه شده بود مطابقت داشت [۵۰]. همچنانی نتایج حاصل کار میندوزا و همکارانش [۴۳] و گروه واک کاد [۴۵] با این نتیجه مطابقت می کن . میزان عبور از 78% در نمونه بازپخت شده در دمای 350°C تا 83% برای نمونه بازپخت شده در دمای

450°C تغییر می کند. ممکن است به دلیل تفاوت ضخامت لایه های مطالعه شده باشد. مقادیر تخمین ضخامت لایه که با استفاده از نرم افزار پوما تعیین شده است در جدول (۷-۴) آمده است.

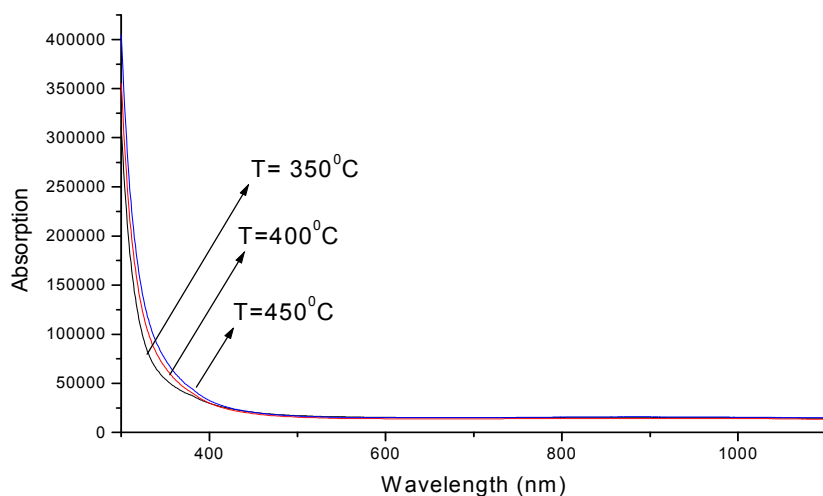
با توجه به شکل (۴-۳۲) به نظر می رسد لبه جذب نیز برای همه نمونه ها در نزدیکی طول موج

حدود 380 nm رخ می دهد.

جدول (۷-۴)- میزان ضخامت نمونه های تهیه شده به روش تجزیه گرمایی افشاره ای پس از بازپخت.

دما (درجه سانتی گراد)	ضخامت (nm)	۳۵۰	۴۰۰	۴۵۰
۱۲۵	۱۳۰	۱۴۰	۱۳۰	۱۲۵

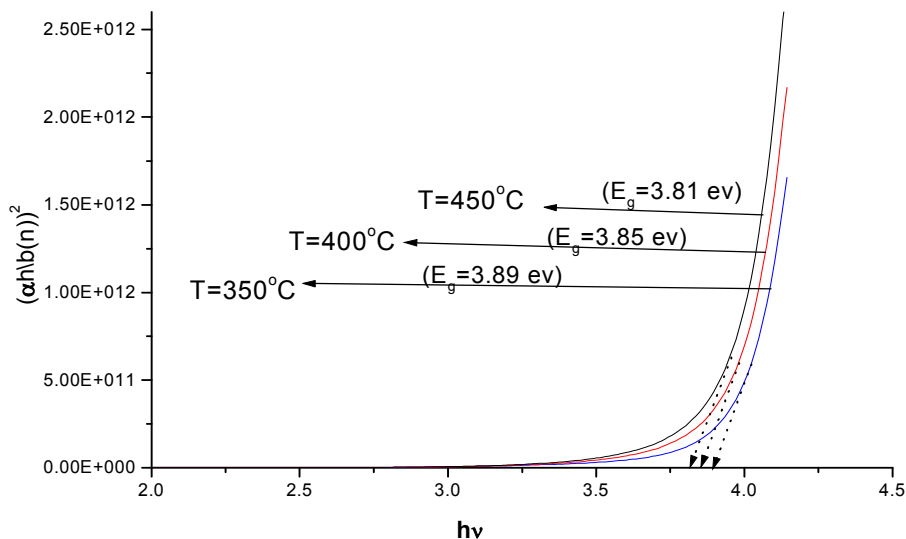
در ادامه با استفاده از داده های طیف تراگسیل ضریب جذب نمونه ها به کمک رابطه (۴-۲) تعیین شده است که نتایج آن در شکل (۳۳-۴) نشان داده شده است.



شکل (۳۳-۴)- ضریب جذب نمونه های تهیه شده به روش تجزیه گرمایی افشاره ای پس از بازپخت.

همان طور که در این شکل دیده می‌شود جذب در نزدیکی لبه جذب به طور ناگهانی کاهش می‌یابد و در انرژی‌های کوچکتر از لبه جذب برای تمام نمونه‌ها به حداقل رسیده و ثابت می‌شود.

با استفاده از داده‌های جذب و رابطه (۴-۲) مقادیر گاف نواری مستقیم نمونه‌ها بدست آمده است. تغییرات گاف نواری با تغییر دمای بازپخت حدود 80 mev می‌باشد. گاف نواری بدست آمده برای این نمونه‌ها (نزدیک 4 ev) با گزارشات گروه سان و همکارانش [۵۴] همخوانی دارد. کاهش گاف نواری با افزایش دمای بازپخت ممکن است به دلیل افزایش اندازه بلورک‌ها باشد. شکل (۳۴-۴) مقدار گاف نواری برای این نمونه‌ها را نشان می‌دهد.



شکل (۳۴-۴)- منحنی $(\alpha h\nu)^2$ بر حسب انرژی و مقادیر گاف نواری نمونه‌های تهیه شده

به روش تجزیه گرمایی افشاره‌ای پس از بازپخت.

۴-۹-۲- بررسی اثر تغییر غلظت بر خواص لایه‌های نازک اکسید کادمیوم ایندیوم

به طور کلی رابطه $\eta = pt$ میان غلظت و یسکوزیته برقرار است.

که در آن η ویسکوزیته، ρ چگالی و t زمان گرانزوی^۱ است. با توجه به این رابطه با افزایش غلظت (چگالی همان جرم واحد حجم است که معادل با غلظت می باشد) افزایش ویسکوزیته را خواهیم داشت. به این ترتیب با افزایش ویسکوزیته افزایش چسبندگی و در نتیجه افزایش ضخامت را در نمونه ها خواهیم داشت. علی رغم رابطه فوق که نشان دهنده تغییرات غلظت با گرانزوی است، ساختار پلیمری سل ها نیز در افزایش گرانزوی بسیار موثر می باشند. با افزایش غلظت طول زنجیره های پلیمری بلندتر شده و در نتیجه گرانزوی نیز افزایش می یابد. بنابراین در این بخش به بررسی اثر غلظت پرداخته ایم.

در این قسمت محلول مورد استفاده به همان روشی که در بخش (۴-۹) ذکر شد در حجم ۷۵ ml تهیه گردید. به منظور این بررسی با تغییر غلظت استات کادمیوم و استات ایندیوم به طور یکسان در محلول نهایی، به بررسی اثر تغییر پارامتر غلظت پرداختیم. نسبت های به کار گرفته شده در این آنالیز عبارت بودند از : غلظت $M = 0.0125$ ، $M = 0.025$ و $M = 0.050$. با غلظتهای موجود مقادیر استات کادمیوم و استات ایندیوم به نسبت حجمی ۱ به ۲ در جدول (۴-۸) داده شده است.

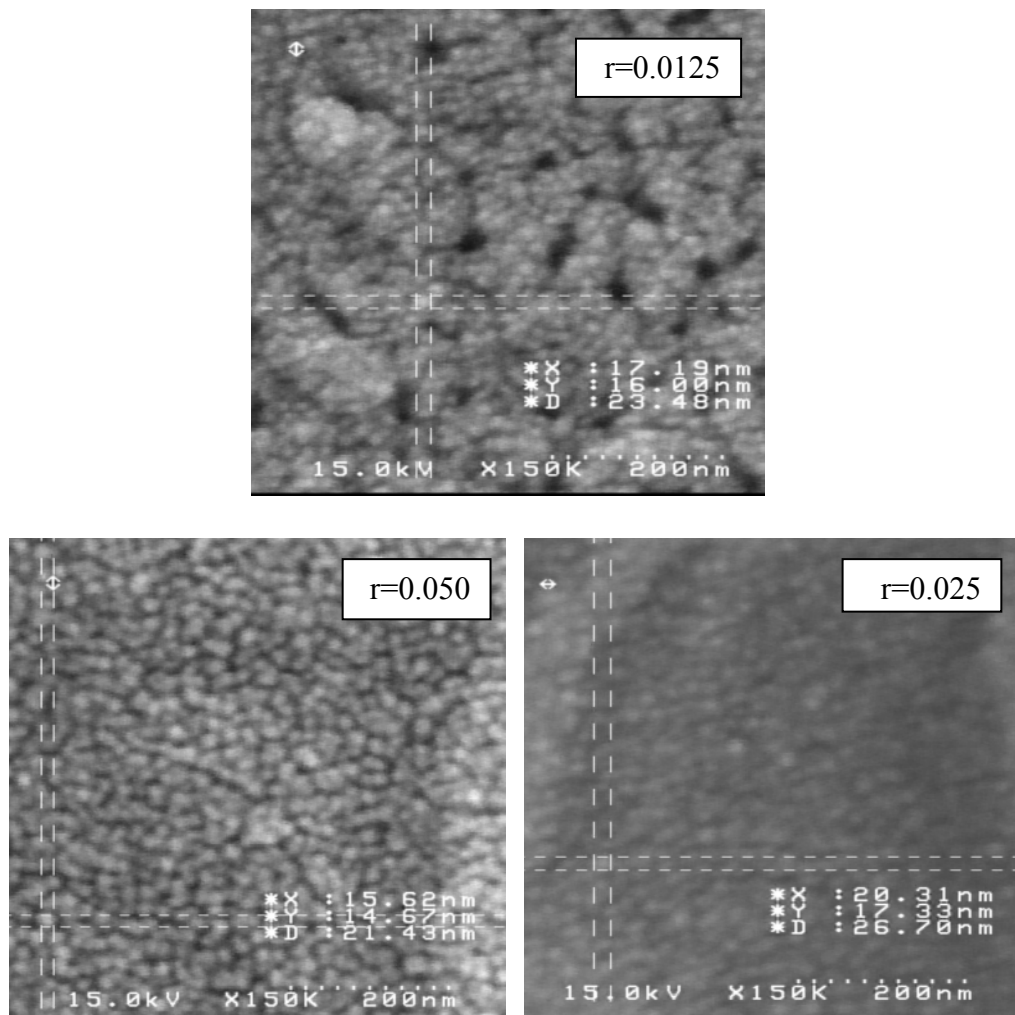
جدول (۴-۸)- مقادیر استات کادمیوم و استات ایندیوم با غلظتهای متفاوت در محلول $CdIn_2O_4$.

نمونه	مقدار استات کادمیوم (gr)	مقدار استات کادمیوم (gr)
$r = 0.0125$	۰/۰۸۳	۰/۱۸۲
$r = 0.025$	۰/۱۶۷	۰/۳۶۵
$r = 0.050$	۰/۳۳۳	۰/۷۲۹

^۱ Viscosity time

۴-۹-۱- مورفولوژی سطح لایه ها

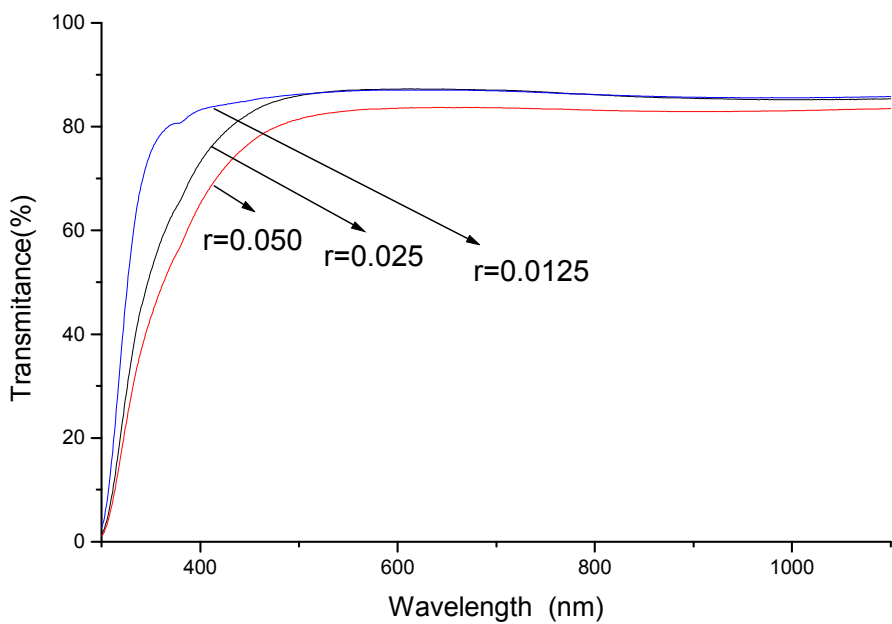
جهت بررسی مورفولوژی نمونه ها تصاویر FESEM آنها ثبت گردید که در شکل (۳۵-۴) نشان داده شده‌اند. در نمونه $t=0/0\text{--}125$ تصاویر حکایت از تشکیل مجموعه دانه‌هایی با حدود ابعاد 18 nm دارد که به هم چسبیده اند و توده‌های را بوجود آورده اند. در این تصاویر مشخص است که سح زیرلایه پوشانیده شده و فضاهای خالی بین آنها وجود دارد. تصاویر FESEM نمونه های با $t=0/0\text{--}25$ نشان می‌دهد که این نمونه در پس زمینه خود نشانگر تشکیل دانه‌هایی است که اندازه دانه متوسط آنها حدود 20 nm است که به طور غیر یکنواخت سطح زیرلایه را پوشانیده اند. تصاویر مربوط به نمونه $t=0/0\text{--}50$ مؤید تشکیل دانه‌های تقریباً یکنواخت و یک شکل با ابعاد متوسط در حدود 16 nm می‌باشد که به طور یکنواخت سراسر سطح زیرلایه توزیع شده‌اند. مقایسه این تصاویر نشان می‌دهد که نمونه آماده شده با غلظت $t=0/0\text{--}50/2$ از نظر ساختاری کیفیت بهتری نسبت به نمونه های دیگر داشته باشد. این تصاویر می‌تواند حاکی از تشکیل یک ساختار چند بلوری مربوط به ترکیب $(\text{CdIn}_2\text{O}_4)$ باشد که با افزایش غلظت به نظر می‌رسد ساختار بلوری از کیفیت بهتری برخوردار باشد. البته این مسئله نیاز به بررسی و اندازه گیری های بیشتری نظیر اندازه گیری طیف پراش اشعه ایکس دارد.



شکل (۳۵-۴)- تصاویر FESEM نمونه ها پس از بازپخت با غلظتهای مختلف

۲-۲-۹-۴- بررسی خواص اپتیکی نمونه ها

شکل (۳۶-۴) طیف تراگسیل نمونه های بازپخت شده را نشان می دهد.



شکل (۴-۳۶)- طیف تراگسیل نمونه های تهیه شده به روش تجزیه گرمایی افشاره ای

باغلظتهای متفاوت پس از بازپخت.

همان طور که در شکل دیده می شود پس از بازپخت نمونه ها، با افزایش غلظت، عبور در بازه طول موج نور از 300 nm تا 1100 nm کاهش یافته و به طور کل عبور متوسط در حدود ۸۰٪ می باشد و این امر بخاطر افزایش ضخامت در اثر افزایش غلظت (همانطور که در جدول (۹-۴) ذکر شد) است که نتیجه آن کاهش عبور از نمونه ها رادر بر می گیرد.

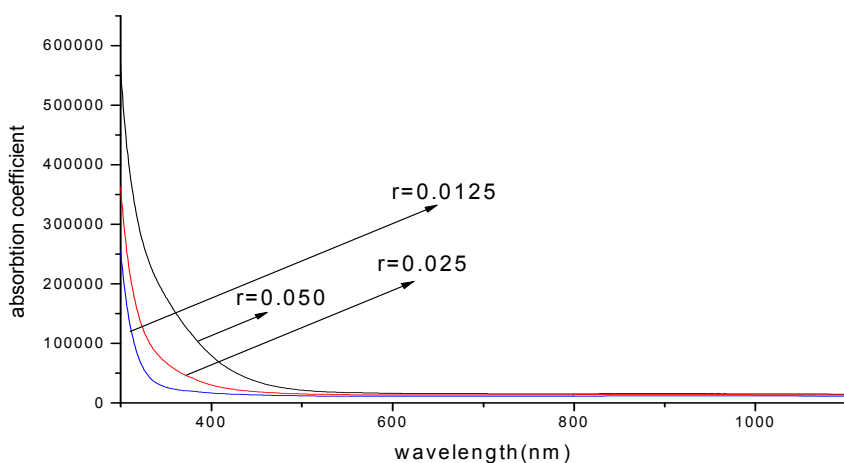
در ادامه با توجه به طیف تراگسیل اپتیکی نمونه های با غلظت متفاوت پس از بازپخت و استفاده از نرم افزار پوما ضخامت آنها به شرح جدول (۹-۴) محاسبه گردیده است.

جدول (۹-۴) - ضخامت نمونه های بازیخت شده ا غلظت های متفاوت.

$r=0.050$	$r=0.025$	$r=0.0125$	غلظت
۱۴۰	۱۳۰	۱۲۰	ضخامت (nm)

مشاهده می گردد که با افزایش غلظت ، ضخامت لایه ها افزایش یافته و با توجه به اینکه محلول موجود دارای ساختار کلوئیدی می باشد، این افزایش ضخامت همانطور که درابتدا بخش (۲-۹-۴) توضیح داده شد، می تواند به دلیل بالا رفتن ویسکوزیته و همچنین رشد ذرات کلوئیدی سل باشد.

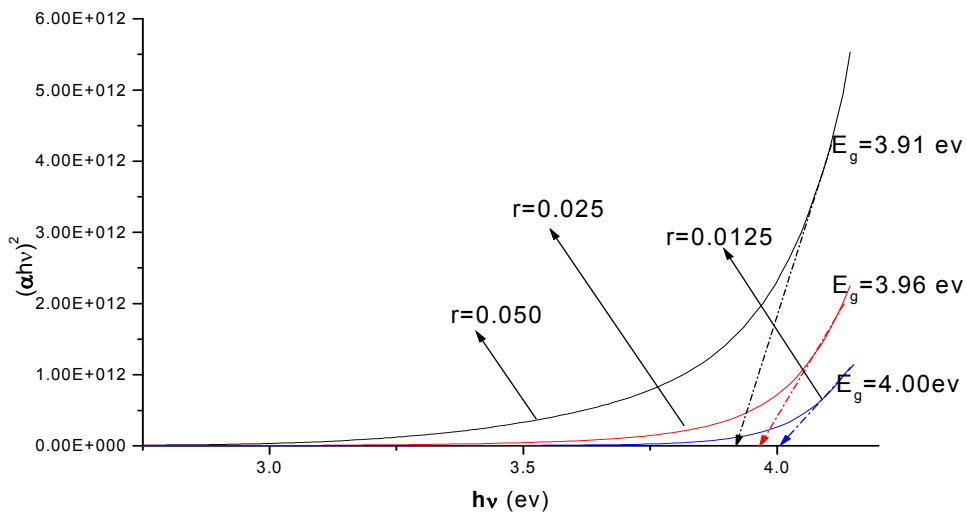
با داشتن مقادیر عبور و ضخامت هر لایه ضریب جذب بنا به (۵۲-۲) قابل محاسبه است. شکل (۳۷-۴) منحنی تغییرات ضریب جذب نمونه ها را بر حسب طول موج نشان می دهد. آنچه در شکل مشاهده می گردد این است که با افزایش میزان غلظت لبه جذب به سمت انرژیهای کمتر جابجا شده و همه منحنی های جذب نیز با افزایش غلظت به سمت بالا کشیده شده و این امر نشان می دهد که با افزایش غلظت ، جذب بیشتر شده است و علت آن اثر غلظت بر ضخامت و درنتیجه بر جذب ویابور نمونه دارد.



شکل (۳۷-۴)- ضریب جذب نمونه های تهیه شده به روش تجزیه گرمایی افسانه ای

با غلظتهای $r=0.0125$ ، $r=0.025$ و $r=0.050$.

تغییرات گاف نواری اپتیکی این نمونه ها در شکل (۳۸-۴) نشان داده شده است. همان طور که می دانیم به دلیل تغییر پارامتر شیمیایی غلظت، تغییر در گاف نواری امری بدیهی به نظر می رسد و این مسأله به خوبی توسط عدم روی هم افتادگی طیف تراگسیل نمونه ها در ناحیه جذب قوی قابل توضیح است.



شکل (۳۸-۴)- میزان تغییرات گاف نواری در نمونه ها ای تهیه شده به روش تجزیه گرمایی افشاره ای با غلظتهای $r = 0.125$ ، $r = 0.250$ ، $r = 0.500$ و $r = 0.025$

۱۰-۴- نتیجه گیری

در این پایان نامه به منظور تهیه لایه های نازک اکسید کادمیوم ایندیوم ($CdIn_2O_4$) از روش شیمیایی فیزیکی سل-ژل و تجزیه گرمایی افشاره ای و برای تهیه پودر این ماده از روش سل-ژل استفاده گردید. در تهیه لایه های نازک به روش سل-ژل از ترکیب اکسید کادمیوم و اکسید ایندیوم به عنوان محلولهای اولیه استفاده شد. در تهیه لایه های نازک به روش سل-ژل از دو تکنیک غوطه وری و چرخشی بر روی زیر لایه شیشه استفاده شد. در سنتز نمونه ها در این دو تکنیک پارامتر های فیزیکی تعداد دفعات انباست و به تبع آن تغییر در ضخامت لایه ها و نیز دمای بازپخت نمونه ها و فرایند روش خشک سازی مورد بررسی قرار گرفته و اثر آنها بر خواص ساختاری و اپتیکی لایه های اکسید کادمیوم ایندیوم تحقیق شد. طرح پراش پرتو X ثبت شده از نمونه هایی که با تکنیک چرخشی و با تعداد دفعات متفاوت تهیه شده و سپس در دمای $40^{\circ}C$ بازپخت شدن، یک ساختار مکعبی مرکز وجهی چند بلوری با قله های پراش متعدد را نشان داد که در تمامی نمونه ها شدت قله ناشی از پراش از صفحات (۳۱۱) از سایر صفحات بیشتر است و همچنین شدت قله از صفحات (۳۱۱) در نمونه ای که با ۵ بار لایه نشانی تهیه شده است، بیشترین مقدار را دارد.

با ثبت تصاویر FESEM مشاهده شد که نمونه 5S400 از یکنواختی بهتری نسبت به دو نمونه دیگر برخوردار است. روند کلی طیف تراگسیل نمونه در تغییرات کاهش عبور با افزایش تعداد دفعات لایه نشانی می باشد و این میزان در طول موج 550 nm از 55% برای نمونه 5s400 به 70% برای نمونه 7S400 می باشد. همچنین منحنی ضریب جذب نمونه ها بر حسب طول موج اندکی به سمت بالا و لبه جذب به سمت طول موجهای بلند تر جابجا می شوند. در لبه جذب، تغییرات ضریب شکست زیاد بوده و به طور ناگهانی کاهش می یابد تا اینکه در حدود مقدار ۲ ثابت می شود. چون نمونه 5S400 از کیفیت بهتری برخوردار بود لذا تاثیر عملیات حرارتی بازپخت روی این نمونه در بازه دمایی $300^{\circ}C$ تا $450^{\circ}C$ بررسی شد.

طیف پراش پرتو X نشان داد نمونه بازپخت نشده از لحاظ ساختاری تقریباً آمورف بوده در حالی که نمونه های بازپخت شده همگی دارای ساختار چند بلوری می باشند. با آنکه نمونه 5S300 یک ساختار بلوری را نشان می دهد ولی حضور قله هایی که نشانگر تشکیل فازهای ثانویه می باشد در آن رویت می شود که این ناخالصی در هیچکدام از نمونه های دیگر مشاهده نشد. با توجه به تصاویر FESEM ثبت شده، مراحل تشکیل ساختار بلوری نمونه ها با افزایش دمای بازپخت به خوبی نشان داده می شود. طیف تراگسیل اپتیکی نمونه ها با افزایش دمای بازپخت افزایش یافته است. با توجه به اینکه همه نمونه های بازپخت شده به تعداد مساوی لایه نشانی شده اند لذا ضخامت آنها تقریباً یکسان بوده، بنابراین افزایش عبور بدلیل افزایش اندازه بلور کها می باشد. لب جذب در این نمونه ها به سمت انرژی های بیشتر جابجا شده و به طور کلی گاف نواری اپتیکی نمونه ها از حدود $2/8 \text{ ev}$ به $2/1 \text{ ev}$ افزایش می یابد و همچنین ضریب شکست نمونه های مذکور برای طول موجهای 450 nm به بالا، بین $1/75$ تا $2/25$ متغیر است.

در ادامه جهت مقایسه بین روش های لایه نشانی همان پارامتر های مورد بررسی در تکنیک چرخشی را برای تکنیک غوطه وری نیز بررسی نمودیم. نتایج حاصل از مشخصه یابی نمونه ها در طیف پراش پرتو X آنها نشان داد که در همه موارد شدت قله ناشی از پراش از صفحات (۳۱۱) از سایر صفحات بیشتر است و در این میان نمونه 5D400 دارای بیشترین تعداد قله پراش بوده و شدت قله هایش از بقیه بیشتر بوده است. بررسی طیف ترگسیل اپتیکی نمونه ها نشان داد با افزایش تعداد دفعات غوطه وری، میزان عبور در حدود 17% کاهش یافته و نمونه 5D400 از بیشترین درصد عبور برخوردار است و گاف نواری قدری کوچکتر می شود. ضریب شکست محاسبه شده برای نمونه ها برای نمونه 5D400 در بازه طول موجی 500 nm تا 1100 nm کمترین بوده و نشان می دهد که این نمونه از کیفیت ساختاری بهتری برخوردار است.

یکی از پارامتر های مهم در رشد لایه های نازک فرایند خشک سازی می باشد. با بررسی روش خشک سازی بر روی نمونه های تهیه شده، نشان داده شد که میزان عبور در نمونه خشک سازی شده با

لامپ IR نسبت به نمونه ای که توسط کوره الکتریکی خشک شد، اندکی افزایش یافته و لبه جذب در منحنی آن به سمت طول موجهای کوچکتر جابجا شده است. ضخامت برای این نمونه ها به ترتیب تقریباً 80 nm و 123 nm محاسبه شده است. گاف نواری آن نیز به میزان تقریبی 40 mev بیشتر بوده است. با بررسی تصاویر ثبت شده FESEM این دو نمونه مشاهده شد هر دو دارای ساختار دانه ای یکنواخت بوده و اندازه متوسط دانه ها حدود 30 nm می باشد.

نمونه های پودری اکسید کادمیوم ایندیوم که در دماهای 700 الی 900 بازپخت شده اند نیز مورد بررسی قرار گرفتند. وجود قله های پراش متعدد در طیف XRD این نمونه ها گویای چند بلوری بودن این نمونه هاست. نمونه بازپخت شده در 700 تقریباً عاری از قله CdIn_2O_4 بوده و بیشترین قله های پراش مربوط به فازهای ثانوی ناخالصی بودند.

نمونه بازپخت شده در 800 نیز همچنان دارای فاز ثانوی بوده، ولی در این دما ساختار مکعبی CdIn_2O_4 با رشد در جهت [٣١١] مشاهده گردید و نمونه بازپخت شده در دمای 900 تقریباً هیچ فاز ناخالصی را نشان نداده است و از بیشترین مقدار شدت قله ها با کمترین پهنا نسبت به نمونه های دیگر برخوردار بوده است و این امر نشان دهنده افزایش اندازه بلورکها و در نتیجه افزایش کیفیت ساختاری ماده می باشد که تصاویر FESEM ثبت شده نیز گویای این مطلب می باشد.

از روش تجزیه گرمایی افشاره ای نیز به عنوان یک روش شیمیایی فیزیکی برای تهیه لایه های نازک اکسید کادمیوم ایندیوم استفاده گردید. تصاویر FESEM ثبت شده برای این نمونه ها نشان داد که شکل و ابعاد دانه ها به طور محسوس تحت تأثیر دمای بازپخت و غلظت محلول قرار می گیرد. در این بررسی، نمونه بازپخت شده در دمای 450 از ساختار خالص تری نسبت به بقیه نمونه ها بر خودار بوده به طوری که نمونه شامل دانه های یکنواختی به اندازه تقریبی 30 nm می باشد. همچنین نمونه ای که از محلول با بیشترین غلظت تهیه شده است از لحاظ ساختاری بهترین کیفیت را نسبت به بقیه داشته است. طیف عبور برای نمونه های بازپخت شده نشان داد تقریباً برای تمام نمونه ها عبور متوسط 80% می باشد و عملیات بازپخت باعث افزایش اندکی در حدود 5% در میزان عبور شده است.

تغییرات گاف نواری با تغییر دمای بازپخت حدود mev ۸۰ می باشد. برای نمونه های با غلظت محلول متفاوت عبور اپتیکی با افزایش غلظت در بازه طول موجی ۳۰۰ تا ۶۰۰ نانومتر کاهش و در بازه ۶۰۰ تا ۱۱۰۰ نانومتر در مقدار تقریبی متوسط ۸۰٪ ثابت می باشد. لبه جذب نیز به سمت انرژیهای کمتر جابجا شده و مقادیر جذب افزایش یافته است و این امر باعث کاهش در گاف نواری شده است، میزان کاهش در حدود mev ۹۰ می باشد.

مراجع

- [1] کاووس میرعباس زاده، تکنولوژی ساخت لایه های نازک و کاربردهای آن، انتشارات دانشگاه امیر کبیر، (۱۳۸۱)
- [2] www.uccs.edu/.../549lectures/optical_cher.html
- [3] علی معتمد اکتسابی، روش های نوین در تکنولوژی ساخت لایه ها، انتشارات سازمان انرژی اتمی، (۱۳۷۴)
- [4] www.goalfinder.com
- [5] B.Godbole, N.Badera, S.B.Shrivastav and V.Ganesan, Jl.of Instrum. Soc. of India, 39(2009).
- [6] www.en.wikipedia.org
- [7] <http://www.solgel.com/articles/Nov00/mennig.htm>
- [8] J. Brinker and G. W. Scherer, Sol-Gel Science, the physics and chemistry of sol-gel processing, chapter 13, Academic Press; (1990)
- [9] Antonio. A, S. Alfaya, E. Lauro and T. Kubota, Quim.Nova. 25, 835-841; (2002)
- [10] <http://www.llnl.gov/str/May05/Satcher.html>
- [11] <http://www.chemistry.wustl.edu/~gelb/solgel.html>
- [12] L. E. Scriven in Better Ceramics Through Chemistry III, eds. Mat.Res.Soc. Pittsburgh,Pa, PP.717-729; (1988)
- [13] D. E. Bornside, C. W. Macosko and L. E. Scriven, J. Imaging Tech. 13, 122-129; (1987)
- [14] <http://ssg.epfl.ch/dev-prep.html>
- [15] N. J. Arfsten, A. Eberle, J. Otto, A. Reich, J. Sol-Gel Science and Technology. 8, 1099;(1997)
- [16] H. G. Floch, F. Belleville, J. J. Priotton, Am. Ceram. Soc. Bull. 74, 60-63; (1995)
- [17] H. Dislich, "Sol-Gel Technology for Thin Films, Fiber, Performs, Electronics and Specially Shapes", Noyes, Park Ridge, N.J; (1988)
- [18] www.topac.com/electrophorsis_TV.html.

- [19] J. Brinker and G. W. Scherer, Sol-Gel Science, the physics and chemistry of sol-gel processing, chapter 14, Academic Press; (1990)
- [20] Brent Fultz and James How, Transmission Electron Microscopy and Diffractometry of Materials, Springer(2007)
- [۲۱] کریستوف هاموند، مترجمین رضا ثابت داریانی، اسماعیل نامور، "مقدمه ای بر بلورشناسی" ، دانشگاه الزهراء، (۱۳۸۱)
- [22] S. Quadri, E. Skelton, D. Hsu, A. Dinsmore, J. Yang, H. Gray, B. Ratna, Phys. Rev., B 60 (1999) 9191.
- [۲۳] لودمیلا اکراتوا، "فیزیک لایه های نازک" ، مرکز نشر دانشگاهی، (۱۳۸۶)
- [24] <http://www.tcd.ie/Physics/Surfaces/ellipsometry2.php>
- [25] <http://www.eng.odu.edu/arc/files/electricalandopticaltesting.shtml>
- [26] F. L. Pedrotti ,L. S. Pedrotti," Introductio to Optics sedond Edition " ,Prentice Hall; (1993)
- [۲۷] ناصر پیغمبریان، استفان کوچ، آندره میزیرویچ "مقدمه ای بر نور شناخت نیم رسانا" ،شرکت به نشر، (۱۳۷۶)
- [۲۸] گرانت. آر. فولز، آشنائی با دانش جدید نور، انتسارات آستان قدس رضوی، (۱۳۶۸)
- [29] J. D. Jackson, "Classical Electrodynamics", John Wiley and sons; (1999)
- [۳۰] یوجین هشت، آلفرد زایاک، نور شناخت، مرکز نشر دانشگاهی، (۱۳۷۸)
- [31] F. Abeles, *Optical Society of America – Journal*, 47, 473; (1957)
- [32] R. Swanepoel, J. Phys.E:Sci.Instrum.16, 1214; (1983)
- [33] D. Poelman, P. F. Smet, Methods for the determination of the optical constants of thin films rom single transmission measurements, J. Phys. D:Appl. Phys .36 , 1850-1857; (2003)
- [34] V. Dimitrova, J. Tate, Thin Solid Films. 365, 134-138; (2000)
- [35] I. Chambouleyron, J. M. Martinez ,A. C. Moretti, M. Mulato. Applied physics. 36, 8238-8247; (1997)
- [36] E. G. Birgin, I. Chambouleyron, J. M. Martínez, and S. D. Ventura, Estimation of optical parameters of very thin films, Applied Numerical Mathematics. 47, 109-119; (2003)
- [37] E. G. Birgin, I. Chambouleyron, and J. M. Martínez, Estimation of optical constants of thin films using unconstrained optimization, Journal of Computational Physics. 151, 862-880; (1999)
- [38]<http://ngdir.ir>
- [39]<http://infohost.nmt.edu>

- [40]<http://Fa.wikipedia.org>
- [41]www.civlica.com/paper_cmco8_109_html
- [42] J. M. Khoshman, M. E. Kordesch, Thin Solid Films 515 (2007) 7393–7399.
- [43] M.A. Flores Mendoza , R. Castanedo Perez , G. Torres Delgado , O. Zelaya Angel ,solar energy materials & solar cells 94(20010)80-84.
- [44] F.F Yang , L. Fang , S.F Zhang , K.J Liao , G.B Liu , J.X Dong , L. Li , G.Z Fu , journal of crystal growth 297 (2006) 411-418.
- [45] H.M Ali , H.A Mohamed , M.M Wakkad , M.F Hasaneen , thin solid films 515 (2007) 3024-3029.
- [46] F.F Yang , L. Fang , S.F Zhang , J.S Sun , Q.T Xu , S.Y Wu , J.X Dong , C.Y Kong , Applied surface science 254 (2008) 5481-5486.
- [47] Xiangdong Lou , Dongyang Shi , Shuping Lio , Chuanyun Peng , sensors and actuators B 123 (2007) 114-119.
- [48] Ting Chen , Zhenlai Zhou , Yude Wang , sensors and actuators B 135 (2008) 219-223.
- [49] R.J Deokate , A.V Moholkar , G.L Agawane , S.M Pawar , J.H Kim , K.Y Rajpure , Applied surface science 256 (2010) 3522-3530.
- [50] R.J Deokate , C.H Bhosale , K.Y Rajpure , journal of alloyes and compounds 473(2009) L20-L24.
- [51] R. Ashi , A. Wang , J.R Bobcock , N.L Edleman , A.W Metz , M.A Lane , V.P Dravid , C.R Kannewurf , A.J Freeman , T.J Marks , thin solid films 411(2002) 101-105.
- [52] M.A. Flores Mendoza , R. Castanedo Perez , G. Torres Delgado , O. Zelaya Angel, thin solid films xxx (2009) xxx-xxx.
- [53] p.Mohan Babu , G.Venkata Rao , P.Sreedhara Reddy, S.Uthanna , Materials Letters 60(2006)274-279.
- [54] J. Tauc, Amorphous and Liquid Semiconductors, Plenum Press, New York, 1974.
- [55] M. Dutta, S. Mridha, D. Basak, Applied Surface Science 254 (2008) 2743–2747.
- [56] Haisheng San , Bin Li , Boxu Feng , Yuyang He , Chong Chen , , thin solid films 483 (2005) 245-250.

[۵۷] مرعشی، پیروز کاویانی، سعید سرپولکی، علیرضا حسین ذوقفاری، اصول و کاربرد میکروسکوپهای الکترونی و روش‌های نوین آنالیز، ابزار شناسایی دنیای نانو، تهران، چاپ اول، ۱۳۸۳.

- [58] M.A. Flores Mendoza , R. Castanedo Perez , G. Torres Delgado , S.A. Tomas , J.G. Mendoza-Alvarez , O. Zelaya Angel , journal of luminescence 130 (2010) 2500-2504.
- [59] P. Mohan Babu , G. Vankata Rao , P. Sreedhara Reddy , S. Uthanna , materials letters 60 (2006) 274-279.
- [60] http://elec.blogfa.com/post_11_aspx
- [61] T. L. Chu and Shirley S. Chu (1990). "Degenerate cadmium oxide films for electronic devices". *Journal of Electronic Materials* 19 (9): 1003–1005.
- [62] Aron Walsh, Juarez L. Da Silva, Su-Huai Wei, C. Körber, A. Klein, L. F. Piper, Alex DeMasi, Kevin E. Smith, G. Panaccione, P. Torelli, D. J. Payne, A. Bourlange, and R. G. Egddell, "Nature of the Band Gap of In_2O_3 Revealed by First-Principles Calculations and X-Ray Spectroscopy", Phys. Rev. Lett. 100, 167402 (2008)

Abstract

In this experimental research, cadmium indate (CdIn_2O_4) thin films have been prepared on the glass substrates by sol-gel dip-coating, sol-gel spin-coating and spray pyrolysis techniques. And powder samples have been prepared by sol-gel method.

Structural and optical properties of CdIn_2O_4 thin films and for characterization of thin films and powder samples by X-Ray Diffraction (XRD), UV-Visible spectrophotometer and Field Emission Scanning Electron Microscope (FESEM) measurements have been characterized.

Thin films prepared by sol-gel dip-coating and spin-coating methods were annealed at different temperatures from 300 to 450°C for 1 hour. Powder samples by sol-gel methods, were annealed at various temperatures ($700\text{-}900^\circ\text{C}$) for 2 hours. Also for as grown samples prepared by spray pyrolysis technique. The effects of the annealing temperatures ($350\text{-}400^\circ\text{C}$) and solution concentration were studied.

XRD results show that all layers have a polycrystalline cubic structure with (311) preferred orientation. The transmittance of samples is consistent with the annealing temperature, and also it is clear that with increasing solution concentration of samples has reduced. Also average transmittance of the dried samples by IR lamp was higher than those by electrical oven. FESEM images showed that for grown thin films and powder samples, at the optimum temperature, crystalline and uniformity of the thin films and powder samples improved.

Key words: Cadmium indate (CdIn_2O_4), Thin films, Powder, Sol-gel, Spray pyrolysis



Shahrood University of Technology
Faculty of Physics

Master of Science Thesis

Growth and characterization of CdIn₂O₄

By:
Mahmood Zahedi

Supervisors:
Dr. M. Izadifard
Dr. M. E. Ghazi

Advisor:
Dr. B. Bahramian

September 2011